

624.04  
m-98

Müller-Breslau,

профессоръ политехникума въ Берлинѣ.

Выпускъ IX.

# Графическая статика сооружений.

Переводъ съ послѣдняго немецкаго изданія.

Т. Т. Кривошеинъ,

Военный инженеръ, преподаватель Николаевской Инженерной Академіи и Училища.

П. Н. Казинъ,

Военный инженеръ.

Томъ II.

Содержаніе выпускa IX:

II. Формулы, правила и примеры расчета важнейшихъ статически неопределенныхъ решетокъ (продолженіе).

Издание инженера П. Н. Казина.



О

С.-ПЕТЕРБУРГЪ.

Типо-литографія и переплетная Ю. А. Мансфельда, Малая Морская, № 9.

1900.

11500  
8F.-M

2191

Н

Ч

624, 04  
м-98

Müller-Breslau,  
профессоръ политехникума въ Берлинѣ.

Выпускъ IX.

# Графическая статика сооружений.

Переводъ съ послѣдняго немецкаго изданія.

Т. Т. Кривошеинъ,

П. Н. Казинъ,

Военный инженеръ, преподаватель Николаевской Инженерной Академіи и Училища.

Военный инженеръ.

Томъ II.

СОДЕРЖАНИЕ выпускка IX:

- II. Формулы, правила и примеры расчета важнейшихъ статически неопределенныхъ решетокъ (продолженіе)



Издание инженера П. Н. Казина.



С.-ПЕТЕРБУРГЪ.

Типо-литографія и переплетная Ю. А. Мансфельда, Малая Морская, № 9.

1900.

БЛАНКИ РЕДАКЦИИ  
СООБЩЕНИЙ

БЛАНКИ

Дозволено цензурою, С.-Петербургъ, 27 Июля 1900 года.

# О ГЛАВЛЕНИЕ

## ВЫПУСКА IX.

### ОТДѢЛЪ II.

Формулы, правила и примѣры расчета важнѣйшихъ статически неопредѣлимыхъ рѣшетокъ (продолженіе).

	СТР.
§ 9. Цѣпь, усиленная рѣшетчатой балкой . . . . .	5
§ 10. Простые статически опредѣлимые арочные и цѣпные мосты въ нѣсколько пролетовъ . . . . .	27
§ 11. Рѣшетчатыя арки съ задѣланными концами . . . . .	33
§ 12. Неразрѣзныя балки на трехъ опорахъ . . . . .	55
§ 13. Неразрѣзныя балки на четырехъ опорахъ . . . . .	60
§ 14. Многопролетныя неразрѣзныя балки . . . . .	71
§ 15. Сложныя статически неопредѣлимыя рѣшетчатыя фермы на двухъ опорахъ . . . . .	81
§ 16. Полученіе линіи прогибовъ изъ линіи моментовъ . . . . .	89





## ОТДѢЛЪ II.

# Формулы, правила и примѣры расчета важнѣйшихъ статически неопределѣмыхъ рѣшетокъ.

(Продолженіе).

### § 9.

#### Цѣпь, усиленная рѣшетчатой балкой.

**98.** Одну изъ важнѣйшихъ системъ представляетъ цѣпь, усиленная простой балкой (фиг. 278), расчетъ которой весьма мало отличается отъ изслѣдований, примѣненныхъ къ фермамъ предыдущаго выпуска. Пусть въ точкахъ  $R$  и  $T$  находятся горизонтальная подвижная опоры; подвѣски пусть будутъ вертикальны.

Такъ какъ жесткая балка имѣть назначеніе сопротивляться только дѣйствію подвижной нагрузки, то данную систему необходимо строить какъ нежесткій цѣпной мостъ; треугольники же жесткой балки необходимо замыкать тогда, когда звеня цѣпи и подвѣски уже будутъ имѣть соотвѣтствующія удлиненія, произведенные постоянной нагрузкой.

Изслѣдованіе формы цѣпи, проводимой большою частью черезъ три точки  $R$ ,  $W$ ,  $T$ , и опредѣленіе усилій отъ дѣйствія постоянной нагрузки приведено въ I томѣ (выпускъ V, № 203); здѣсь мы добавимъ, что намъ надо найти по способу, указанному въ выпускѣ V, форму цѣпи, *напряженной* подъ дѣйствиемъ постоянной нагрузки, а не форму *не напряженной* цѣпи, и что длина звеньевъ цѣпей и подвѣскъ, которая должна быть придана при ихъ изготавленіи въ мастерскихъ, должна опредѣляться по выражению  $= s - \frac{S_g s}{EF}$ , если

подъ  $s$  будемъ подразумѣвать длину рассматриваемаго стержня при упомянутомъ опредѣлениіи формы цѣпи, а подъ  $S_g$  усиление отъ постоянной нагрузки.

Само собой разумѣется, что необходимо будетъ еще принять во вниманіе разницу температуръ при установкѣ и при работахъ въ мастерскихъ; точно также при измѣненіи высотъ башенъ необходимо принять въ расчетъ укороченіе ихъ, получаемое отъ дѣйствія постоянной нагрузки.

Если *передъ* замыканіемъ жесткой балки будетъ привѣшена только часть ( $g_r$ ) постоянной нагрузки ( $g$ ), а остальная часть ( $g_n$ ) будетъ подвѣшена *послѣ* замыканія жесткой балки, то въ предыдущемъ изслѣдованіи вместо  $S_g$  надо подставить  $S_{gr}$ . Описанное опредѣлениѣ доставить намъ форму цѣпи, находящейся подъ дѣйствіемъ нагрузки  $g_r$ , вліяніе же нагрузки  $g_n$ , а также и вліяніе подвижной нагрузки опредѣляется по способамъ, описаннымъ въ дальнѣйшемъ изслѣдованіи.

Но съ другой стороны къ нежесткому мосту кромѣ общей постоянной нагрузки ( $g$ ) можно было бы приложить еще добавочную нагрузку  $g'$ , которую послѣ замыканія жесткой балки можно было бы опять удалить. Тогда при изслѣдованіи грузовъ, дѣйствующихъ послѣ замыканія жесткой балки, на нагрузку  $g'$  слѣдовало бы смотрѣть какъ на отрицательную нагрузку.

Подобныя соотношенія могутъ быть приняты конечно при всякой статически неопредѣлимой фермѣ. Такъ напр. двухшарнирную арку можно было бы строить сначала какъ трехшарнирную, а затѣмъ послѣ приложенія полной постоянной нагрузки  $g$  или части  $g$  шарниръ этотъ можно было бы уничтожить<sup>\*</sup>; иногда удаление добавочной нагрузки  $g'$  послѣ замыканія балки можетъ имѣть нѣкоторыя преимущества.

Изслѣдованіе вліянія нагрузки, дѣйствующей на мостъ послѣ замыканія жесткой балки, мы будемъ начинать всегда съ разсмотрѣнія дѣйствія сосредоточенного груза.

**99. Горизонтальное напряженіе  $H$  при дѣйствіи сосредоточенного груза.** Если соединить прямой (замыкающей) точки цѣпи  $A''$  и  $B''$ , лежащія на вертикаляхъ надъ опорами балки  $A$ ,  $B$ , и обозначить буквой  $y_m$  отрѣзокъ, отсѣкаемый цѣпью и замыкающей линіею на той вертикалѣ, которая проходитъ черезъ произвольный узель  $m$  (фиг. 278), то сумма моментовъ всѣхъ силь, взятыхъ по одну сторону, относительно точки  $m$  будетъ равняться:

$$M_m = M_{om} - Hy_m,$$

гдѣ  $M_{om}$  означаетъ величину  $M_m$  для того случая, когда на балку, неподвѣшенную къ цѣпи, а свободно лежащую на опорахъ  $A$  и  $B$ , дѣйствуютъ грузы  $P$ . Для состоянія  $H = 0$  получаемъ  $M'_{om} = y_m$ , а отсюда слѣдуетъ, что вычисленіе горизонтального напряженія  $H$ , вызываемаго дѣйствіемъ одного сосредоточенного груза  $P$ , отличается отъ опредѣлениія величины  $H$  для фермъ, изслѣдованныхъ въ предыдущемъ § (выпускъ VIII) только тѣмъ, что сумма  $\Sigma \frac{S'^2 s}{EF}$ ,

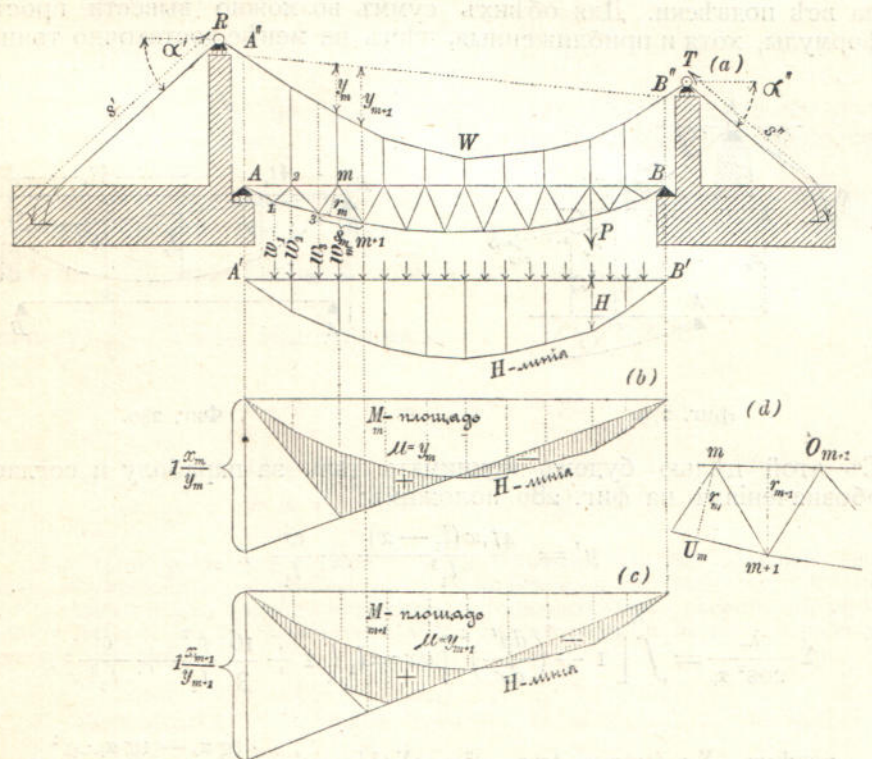
\* ) По этому способу строился желѣзнодорожный мостъ у Мюнгстена съ пролетомъ въ 170 м. (См. Zeitschrift d. Ver. deutsch. Ing. 1898, № 47, 49, 50, и Н. Митинскій. Изв. Собр. Инж. Пут. Сообщ. 1899, № 7.

Примѣчаніе переводчиковъ.

входящая въ знаменатель общаго выражения для  $H$ , будетъ зависѣть отъ вліянія удерживающихъ цѣпей. Усиліе въ лѣвой удерживающей цѣпи, наклоненной къ горизонту подъ угломъ  $\alpha'$ , равно

$$\frac{H}{\cos \alpha'} \text{ и при состояніи } H=1 \text{ принимаетъ значение } S'=-\frac{H}{\cos \alpha'}.$$

Такимъ образомъ, если длина этой цѣпи  $=s'$ , а съченіе ея  $F=F_k \frac{1}{\cos \alpha'}$ , гдѣ  $F_k$  означаетъ съченіе, расчитанное по усилию  $S=H_{max}$  для несущей цѣпи  $RWT$  у вершины, то получимъ  $\frac{S'^2 s}{EF} = \frac{s'}{EF_k \cos \alpha'}$ ; при этомъ предполагается, что всѣ звенья удерживающей цѣпи на-



Фиг. 278.

пряжены одинаково, т. е. что цѣпь имѣеть опоры, показанныя на фиг. 164 (выпускъ VII). Обозначимъ буквами  $s''$  и  $\alpha''$  соотвѣтствующія значения для правой удерживающей цѣпи, тогда предыдущія разсужденія приведутъ къ слѣдующему способу опредѣленія линий вліянія для количества  $H$ .

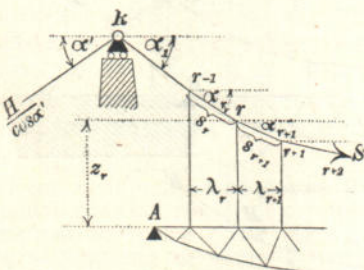
*Вычислимъ изгибающіе моменты  $M_m$  для простой балки  $A'B'$ , находящейся подъ дѣйствиемъ грузовъ  $w_m = \frac{y_m s_m}{r_m^2} \frac{F_c}{F_m}$  (гдѣ*

подъ  $F_c$  предполагается площадь сечения произвольная, но постоянная), и затмъ раздѣлимъ ихъ на количество

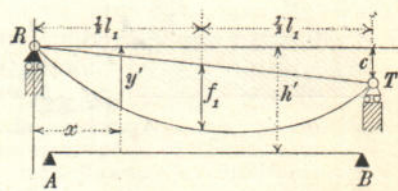
$$(1) \quad \mathfrak{N} = \Sigma z_m + \frac{F_c}{F_k} \left( \Sigma \frac{\lambda_r}{\cos^2 \alpha_r} + \frac{s'}{\cos \alpha'} + \frac{s''}{\cos \alpha''} \right) + \\ + \frac{F_c}{F_z} \Sigma z_r (\tan \alpha_r - \tan \alpha_{r+1})^2,$$

гдѣ  $z_m = y_m w_m$ . Результатъ будетъ таковъ  $H = \frac{M_w}{\mathfrak{N}}$  \*).

Суммированіе во второмъ членѣ уравненія (1) распространяется на всѣ звенья несущей цѣпи, суммированіе же въ третьемъ членѣ— на всѣ подвѣски. Для обѣихъ суммъ возможно вывести простыя формулы, хотя и приближенныя, тѣмъ не менѣе достаточно точныя.



Фиг. 279.



Фиг. 280.

Съ этой цѣлью будемъ принимать цѣпь за параболу и согласно обозначеніямъ на фиг. 280 положимъ:

$$y' = \frac{4f_1 x (l_1 - x)}{l_1^2} + \frac{cx}{l_1} \quad \text{и}$$

$$\Sigma \frac{\lambda_r}{\cos^2 \alpha_r} = \int_0^{l_1} \left[ 1 + \left( \frac{dy'}{dx} \right)^2 \right] dx = l_1 \left( 1 + \frac{16}{3} \frac{f_1^2}{l_1^2} + \frac{c^2}{l_1^2} \right),$$

$$\text{затмъ } \Sigma z_r (\tan \alpha_r - \tan \alpha_{r+1})^2 = \lambda \Sigma (h' - y') \lambda \cdot \left( \frac{\tan \alpha_r - \tan \alpha_{r+1}}{\lambda} \right)^2 =$$

$$\begin{aligned} \lambda &= \int_0^{l_1} (h' - y') dx \left( \frac{d^2 y'}{dx^2} \right)^2 = \lambda \left( \frac{8f_1}{l_1^2} \right)^2 \int_0^{l_1} (h' - y') dx \\ &= \lambda \left( \frac{8f_1}{l_1^2} \right)^2 l_1 \left( h' - \frac{2}{3} f_1 - \frac{c}{2} \right). \end{aligned}$$

\*) Обозначенія здѣсь оставлены тѣже, что и въ предыдущемъ § (см. выпускъ VIII); всѣ эти обозначенія нанесены на фиг. 278 и 279. Узлы балки и цѣпи обозначены номерами, причемъ порядокъ номеровъ для узловъ балки таковъ . . .  $m-1, m, m+1, \dots$  а для узловъ цѣпи . . .  $r-1, r, r+1, \dots$

Тогда получимъ

$$(2) \quad \mathfrak{N} = \Sigma z_m + \frac{F_e}{F_k} s_o + \frac{64 f^2_1 (3h' - 2f_1 - 2,5c) \lambda}{3l^3_1} \frac{F_e}{F_z}, \text{ где}$$

$$(3) \quad s_o = l_1 \left( 1 + \frac{16}{3} \frac{f^2_1}{l^2_1} + \frac{c^2}{l^2_1} \right) + \frac{s'}{\cos \alpha'} + \frac{s''}{\cos \alpha''}.$$

Послѣднимъ членомъ въ выражениі для  $\mathfrak{N}$ , зависящимъ отъ размѣровъ подвѣсокъ, обыкновенно пренебрегаютъ, такъ какъ влияніе его ничтожно. При вычисленіи количествъ  $w_m$  и  $z_m$  можно принять одно и то же сѣченіе для всѣхъ стержней поясовъ. Поэтому положимъ

$$(4) \quad w_m = \frac{y_m s_m}{r_m^2},$$

и подъ значеніемъ  $F_e$ , которое считалось до сихъ поръ произвольнымъ, будемъ понимать среднее значеніе площади поперечныхъ сѣченій поясовъ.

Если усиленіе цѣпи сдѣлано при помощи фермы съ параллельными поясами, высота которой  $h$  (см. фиг. 287—стр. 19), то выраженіе  $\frac{s_m}{r_m^2}$  при равныхъ панеляхъ будетъ имѣть постоянную величину  $\frac{\lambda}{h^2}$ . Тогда надо принять

$$(5) \quad w_m = y_m \quad \text{и} \quad z_m = y_m w_m = y^2 m,$$

$$(6) \quad \mathfrak{N} = \Sigma y^2 m + \frac{h^2}{\lambda} \left[ \frac{F_e}{F_k} s_o + \frac{64 f^2_1 (3h' - 2f_1 - 1,5c) \lambda}{3l^3_1} \frac{F_e}{F_z} \right].$$

Для цѣпи, усиленной фермой съ параллельными поясами, возможно еще нѣкоторое упрощеніе, которое состоитъ въ примѣненіи параболической  $H$ -линиіи. Изслѣдованіе это подобно опредѣленію горизонтального распора въ двухшарнирной аркѣ, см. № 82 (выпускъ VIII). Разсмотримъ цѣпь какъ параболу, уравненіе которой

$$y = \frac{4fx(l-x)}{l^2}$$

(фиг. 281), и замѣнимъ сосредоточенные грузы  $w$  непрерывной нагрузкой, но такъ что элементъ балки  $dx$  былъ бы нагруженъ грузомъ  $2ydx$ ; при этомъ цифра 2 выражаетъ, что въ элементѣ  $dx$  принимаются во вниманіе нагрузки двухъ узловъ (одного верхняго и другаго нижняго). Тогда въ точкѣ приложения силы  $P$  получимъ моментъ

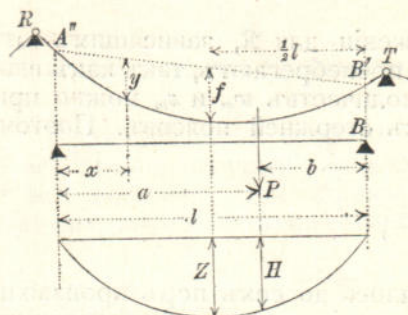
$$M_w = \frac{2f}{3l^2} (al^3 - 2la^3 + a^4)^*$$

\* Ср. выраженіе для  $M_w$  въ № 82 (стр. 20, выпускъ VIII). Вместо  $x$  здѣсь находится  $a$ ;  $f$  замѣнено черезъ  $2f$ ; члены  $\frac{F_o}{F_u}$  и  $\frac{1}{2} \left( h_0 \frac{F_o}{F_u} - h_u \right) \cdot x(l-x)$  отброшены.

а затѣмъ найдемъ:

$$H = \frac{PM_x}{\mathfrak{N}}, \text{ гдѣ}$$

$$\mathfrak{N} = 2 \int_0^l y^2 dx + h^2 \frac{F_c}{F_k} s_0 = 2 \frac{8}{15} f^2 l + \frac{h^2 F_c}{F_k} s_0.$$



Фиг. 281.

Несущественнымъ вліяніемъ подвѣсокъ здѣсь пренебрежено. Если полученную такимъ образомъ  $H$ -линию замѣнить параболой (см стр. 20, № 82, выпускъ VIII), то стрѣлка послѣдней будетъ равняться:

$$(7) \quad Z = \frac{3Pl^2}{16f}, \text{ гдѣ}$$

$$(8) \quad v = \frac{l}{1 + \frac{15}{16} \frac{h^2}{f^2} \cdot \frac{s_0}{l} \cdot \frac{F_c}{F_k}}.$$

Уравненіе параболы напишется такъ:

$$(9) \quad H = \frac{3Pal^2}{4fl}.$$

Количество  $s_0$  надо вычислить по уравненію (3).  $F_c$  — значитъ среднюю площадь поперечного сѣченія поясовъ,  $F_k$  — сѣченіе цѣпи въ вершинѣ.

**100. Горизонтальное напряженіе отъ измѣненія температуры.** Равномѣрное измѣненіе температуры установки моста на  $t^0$  вызываетъ

$$(10) \quad H_t = \frac{\varepsilon t \Sigma S' s}{\Sigma S'^2 s} = \frac{\varepsilon E F_e t \Sigma S' s}{\Sigma S'^2 s \frac{F_e}{F}} = \frac{s E F_e t \Sigma S' s}{\mathfrak{N}},$$

гдѣ  $\mathfrak{N}$  представляетъ количество, опредѣляемое по уравн. (1), стр. 8. Численныя вычисленія показываютъ, что вліяніе усилий  $S'$  въ стержняхъ балки на сумму  $\Sigma S' s$  совершенно ничтожно и что достаточно будетъ подставить въ числительѣ уравн. (10) значенія  $S' s$ , соотвѣтствующія только звеньямъ цѣпи и подвѣскамъ.

Подставимъ:

для несущей цѣпи:

$$\Sigma S' s = - \Sigma \frac{s}{\cos \alpha'} = \Sigma \frac{\lambda}{\cos^2 \alpha} =$$

$$= -l_1 \left( 1 + \frac{16}{3} \frac{f_1^2}{l_1^2} + \frac{c^2}{l_1^2} \right);$$

для удерживающихъ цѣпей:  $\Sigma S' s = - \left( \frac{s'}{\cos \alpha} + \frac{s''}{\cos \alpha''} \right);$

для подвѣсокъ:

$$\begin{aligned} \Sigma S' s &= -\Sigma \varepsilon_r (\operatorname{tg} \alpha_r - \operatorname{tg} \alpha_{r+1}) = \\ &= -\Sigma (h' - y') \lambda \left( \frac{\operatorname{tg} \alpha_r - \operatorname{tg} \alpha_{r+1}}{\lambda} \right) = + \int_a^b (h' - y') \frac{d^2 y}{dx^2} dx = \\ &= -\left( \frac{8f_1}{l^2} \right) \int_a^{l_1} (h' - y') dx = -\frac{8f_1}{l^2} l_1 \left( h' - \frac{2}{3} f_1 - \frac{c}{2} \right) \end{aligned}$$

и получимъ:

$$(11) \quad H_t = -\frac{\varepsilon E F_c t}{\mathfrak{N}} \left[ s_0 + \frac{8f_1(3h' - 2f_1 - 1,5c)}{3l_1} \right],$$

гдѣ  $\mathfrak{N}$  и  $s_0$  надо вычислить по уравн. (2) и (3).

Знакъ указываетъ на то, что при возвышеніи температуры установки моста горизонтальное напряженіе цѣпи уменьшается.

Если цѣпь усиливается фермой съ параллельными поясами, то уравн. (11) возможно значительно упростить. Не принимая во вниманіе несущественного влиянія подвѣсокъ и введя среднее сѣченіе для поясовъ, мы замѣнимъ количество

$$\mathfrak{N} = \Sigma \frac{y^2 m s_m}{r^2 m} + \frac{F_c}{F_k} s_0$$

количество

$$\mathfrak{N} = 2 \int_a^l \frac{y^2 dx}{h^2} + \frac{F_c}{F_k} s_0 = \frac{16}{15} \frac{f^2 l}{h^2} + \frac{F_c}{F_k} s_0$$

и тогда получимъ:

$$H_t = -\varepsilon E F_k t \frac{15}{16} \frac{h^2}{f^2} \frac{s_0}{l} \frac{F_c}{F_k} \frac{1}{1 + \frac{15}{16} \frac{h^2}{f^2} \frac{s_0}{l} \frac{F_c}{F_k}}$$

или послѣ простаго преобразованія

$$(12) \quad H_t = -\varepsilon E F_k t (1 - v),$$

гдѣ  $v$  опредѣляется по уравн. 8 (стр. 10).

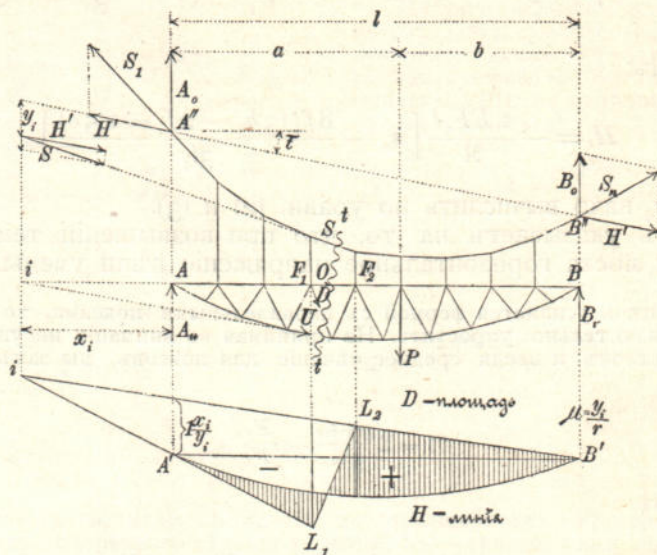
### 101. Площади вліянія. Площади вліянія для моментовъ

$$M_m = M_{om} - H y_m \text{ и } M_{m+1} = M_{om+1} - H y_{m+1}$$

построены на фиг. 278 b и 278 c (для того случая, когда грузы приложены къ узламъ верхняго пояса). Способъ построенія этихъ площадей не требуетъ никакихъ поясненій, такъ какъ это построеніе производится по правиламъ построенія  $M$ —площадей, описанныхъ въ §§ 7 и 8 (выпускъ VIII). Послѣ вычисленія моментовъ  $M_m$ ,  $M_{m+1}$  легко найдутся усилия въ поясахъ:

$$U_m = +\frac{M_m}{r_m}; \quad O_{m+1} = -\frac{M_{m+1}}{r_{m+1}} \text{ (ср. фиг. 278 d).}$$

Точно также определение усилий въ промежуточныхъ стержняхъ производится подобно тому, какъ это было сдѣлано при изслѣдовании двухшарнирныхъ арокъ и другихъ фермъ, описанныхъ въ § 9 (выпускъ III). Проводимъ черезъ  $A$  и  $B$  (фиг. 282) вертикальные сѣченія, которыя пересѣкаютъ несущую цѣнь въ соответствующихъ точкахъ  $A''$  и  $B''$ , разлагаемъ усилия  $S_1$  и  $S_n$  во вѣнчикахъ



Фиг. 282.

звеньяхъ цѣпи на составляющія вертикальныя  $A_0$ ,  $B_0$  и на составляющія  $H'$ , совпадающія съ замыкающей линіею, и изъ уравненія моментовъ, взятыхъ относительно точки  $B''$ ,

$$(A_0 + A_u)l - Pb = 0,$$

находимъ, что  $A_0 + A_u$  равняется сопротивлению опоры  $A = \frac{Pb}{l}$   
простой балки  $AB$  и что  $B_0 + B_u = B = \frac{Pa}{l}$ . Затѣмъ для опредѣленія  
усилія  $D$  проводимъ сѣченіе  $tt$ , выбираемъ  $i$ -точку пересѣченія  
 $O$  и  $U$  за полюсъ, опредѣляемъ отрѣзокъ  $y_i$ , отсѣкаемый продолженіемъ звена цѣпи  $S$  и замыкающей линіею  $A''B''$  на вертикали  
точки  $i$ , разлагаемъ усиліе  $S$  (перенесенное по его направлению,  
какъ показано на фиг. 282) на составляющую вертикальную и другую  
 $H' = \frac{H}{\cos \tau}$ , параллельную замыкающей линіи (гдѣ  $\tau$  означаетъ  
уголъ наклоненія замыкающей линіи) и затѣмъ получаемъ уравненіе  
моментовъ

$$(13) \quad M_{0i} - Hy_i + Dr_i = 0.$$

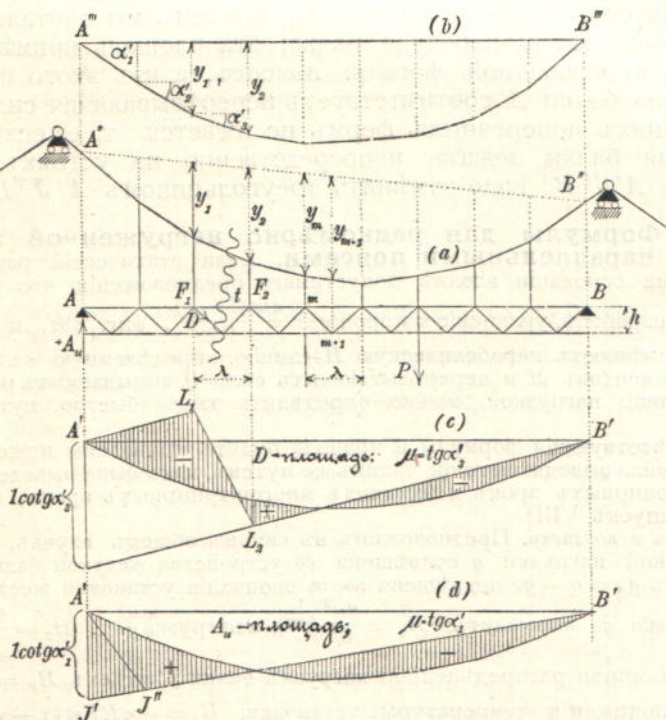
Здесь  $M_{oi}$  означает изгибающий момент, взятый относительно точки  $i$ , для того случая, когда  $AB$  представляет простую балку,

не подвѣшенную къ цѣпи, т. е. балку, сопротивленія опоръ которой равны  $A_0 + A_u = A$  и  $B_0 + B_u + B$ ;  $r_i$  — означаетъ плечо стержня  $D$  относительно точки  $i$ . Уравненіе (13) имѣть ту же форму, что и уравн. 34 на стр. 22 (выпускъ VIII); а отсюда уже легко понять способъ опредѣленія на фиг. 282 площиади вліянія для количества  $D$ . Слѣдуетъ сравнить для этого фигуры 223 до 226 (стр. 27, выпускъ VIII); относительно установления знака надо замѣтить, что при принятомъ на фиг. 282 положеніи точки  $i$  вліяніе количества  $H$  на  $D$  выражается членомъ  $+ H \frac{y_i}{r_i}$  (т. е. положительно), а въ случаѣ  $H = 0$  уравненіе моментовъ

$$-(A_0 + A_u)x_i + Dr_i = 0$$

доставило бы также положительное значеніе:

$$D = + A \frac{x_i}{r_i}.$$



Фиг. 283.

Отсюда заключаемъ, что и другіе способы опредѣленія  $D$ —площиадей, описанные въ § 7 (выпускъ VIII), примѣнимы также и въ данномъ случаѣ; здѣсь мы этого не цѣлаемъ, а предоставляемъ каждому самому исполнить эту легкую работу; укажемъ же только на одну важнѣйшую систему жесткой балки съ параллельными поясами, см. фиг. 283. Здѣсь усилия въ промежуточныхъ стержняхъ

получаются известнымъ образомъ изъ перерѣзывающихъ силъ  $Q$ , поэтому достаточно будемъ показать определеніе площади вліянія для количества  $Q$  въ какой нибудь панели  $F_1 F_2$  \*).

Если  $M_1$  и  $M_2$  представляютъ изгибающіе моменты относительно узловъ  $F_1$ ,  $F_2$ , то при дѣйствіи на балку только вертикальныхъ грузовъ, мы получимъ такое равенство:

$$Q = \frac{M_2 - M_1}{\lambda} = \frac{M_{02} - Hy_2 - M_{01} + Hy_1}{\lambda} = Q_0 - H \frac{y_2 - y_1}{\lambda},$$

гдѣ  $Q_0$  означаетъ перерѣзывающую силу въ панели  $F_1 F_2$  для простой балки  $AB$ , не подвѣшенной къ цѣпи.

Отложивъ ординаты  $y_1 y_2$ , фиг. 283 b, отъ горизонтальной замыкающей линіи и обозначивъ углы наклоненія полученной такимъ образомъ цѣпной линіи черезъ  $\alpha'$ , мы найдемъ уравненіе

$$(14) \quad Q = Q_0 - H t g \alpha' = t g \alpha' (Q_0 \cotg \alpha' - H),$$

которое имѣеть ту же форму, что уравненіе (3) на стр. 55 (выпускъ VIII); это уравненіе указываетъ на способъ построенія  $Q$  — площади, фиг. 283 c. Наконецъ на фиг. 283 d построена площадь вліянія для сопротивленія опоры  $A_u$ , причемъ мы считали, что въ узлѣ  $A$  находится поперечная балка; эта площадь примѣнна для фермъ съ произвольной формой поясовъ, а изъ этого слѣдуетъ, что съченію балки  $A$  соотвѣтствуетъ перерѣзывающая сила  $Q = A_u$ . Если крайнихъ поперечныхъ фермъ не имѣется, т. е. если первая продольная балка лежать непосредственно на устояхъ, то треугольникъ  $A'J'B'$  надо замѣнить треугольникомъ  $A'J''B''$  \*\*).

**102. Формулы для равномѣрно нагруженной жесткой балки съ параллельными поясами.** Если статический расчетъ производится на основаніи вполнѣ допустимаго предположенія, что узлы цѣпнаго парабола, уравненіе которой  $y = \frac{4fx(l-x)}{l^2}$ , фиг. 281, и если при расчетѣ примѣняютъ параболическую  $H$ —линию, опредѣленную на стр. 10, то величины моментовъ  $M$  и перерѣзывающихъ силъ  $Q$ , вызываемыхъ равномѣрно распределенной нагрузкой, можно опредѣлить также быстро путемъ вычислений.

Соответствующія формулы и правила будутъ приведены ниже; эти формулы и правила выводятся точно такимъ же путемъ, какъ были выведены законы для двухшарнирныхъ арокъ и жесткихъ многошарнирныхъ арокъ, стр. 51—52 и 61—63 (выпускъ VIII).

1. *Цѣнь и подвѣски.* Предположимъ въ самомъ общемъ случаѣ, что часть ( $g_e$ ) постоянной нагрузки  $g$  подвѣшена до устройства жесткой балки, осталась же часть  $g_u = g - g_e$  подвѣшена послѣ окончанія установки жесткой балки.

Нагрузка  $g_e$  вызываетъ:  $H_1 = \frac{g_e l^2}{8f}$  \*\*\*), а нагрузка  $g_u \dots H_2 = \frac{g_u l^2}{8f}$ . При полной равномѣрно распределенной нагрузкѣ балки  $p$  имѣемъ  $H_p = \frac{pl^2}{8f}$ , а вслѣдствіе пониженія температуры установки:  $H_t = +\varepsilon E F k t (1 - \nu)$ , поэтому наибольшее значеніе  $H$  равно:

$$(15) \quad H_{max} = \frac{l^2}{8f} [g_e + (g_u + p)\nu] + \varepsilon E F k t (1 - \nu).$$

\*) Если расстояніе  $D$ , пересѣкаемый съченіемъ  $t$ , образуетъ съ горизонтомъ уголъ  $\varphi$ , то  $D \sin \varphi = 0$ .

\*\*) Опоры жесткихъ фермъ и первыхъ продольныхъ балокъ связываются между собой.

\*\*\*) Здѣсь мы пренебрегаемъ тѣмъ обстоятельствомъ, что пролетъ цѣпнаго обычновенно больше пролета балки.

Наибольшее усиление въ звенѣ цѣпи, наклоненномъ подъ угломъ  $\alpha$  къ горизонту, равняется поэтому:

$$(16) \quad S_{max} = \frac{H_{max}}{\cos \alpha},$$

а наибольшее усиление въ подвѣскѣ:

$$(17) \quad Z_{max} = H_{max} (\operatorname{tg} \alpha_r - \operatorname{tg} \alpha_{r+1}) = H_{max} \frac{8f\lambda}{l^2}.$$

2. Моменты и перерѣзывающія силы при полной загрузкѣ балки. Если вся балка имѣеть нагрузку  $p$  единицъ на единицу длины, то для сѣченія  $x$  моментъ равняется:

$$M_p = \frac{px(l-x)}{2} - H_p y = \frac{px(l-x)}{2} - \frac{pl^2}{8f} \nu \cdot \frac{4fx(l-x)}{l^2}, \text{ т. е.}$$

$$(18) \quad M_p = \frac{px(l-x)}{2} (1-\nu),$$

а перерѣзывающая сила въ панели  $F_1 F_2$  (фиг. 287), середина которой находится въ разстояніи  $x''$  отъ середины фермы, равняется:

$$Q_p = \frac{pl}{2} - px - H_p \operatorname{tg} \alpha'' = px'' - \frac{px^2\nu}{8f} \operatorname{tg} \alpha''.$$

Уголъ  $\alpha''$ , образуемый звеномъ цѣпи разсматриваемой панели съ замыкающей линіей  $A''B''$ , приведенной сначала въ горизонтальное положеніе, равняется углу наклоненія касательной, проведенной въ точкѣ  $x$  къ параболѣ, стрѣлка которой  $f$ , поэтому

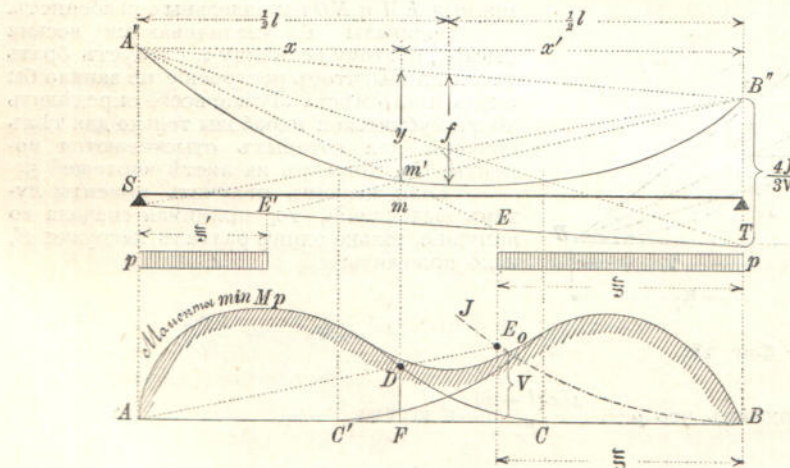
$$\operatorname{tg} \alpha'' = \frac{dy}{dx} = \frac{4f}{l^2} (l-2x) = \frac{8f}{l^2} \left( \frac{l}{2} - x \right) = \frac{8f}{l^2} x''$$

и

$$(19) \quad Q_p = px'' (1-\nu).$$

Такимъ образомъ количества  $M_p$  и  $Q_p$  равняются моменту и перерѣзывающей силѣ для сѣченія  $x$  простой балки, которая лежитъ свободно на двухъ опорахъ  $A$  и  $B$  и не подвѣшена къ цѣпи и которая несетъ равнотѣрно распределенную нагрузку  $p$  ( $1-\nu$ ).

Вліяніе постоянной нагрузки на количества  $M_g$  и  $Q_g$  получится, если замѣнить  $p$  черезъ  $g\cdot n$ .



Фиг. 284

3. Предельные значения моментовъ отъ подвижной нагрузки. Для того, чтобы получить моментъ  $\min M_p$  относительно узла  $m$  (верхняго или нижняго) въ съченіи  $x$  (фиг. 284,—здесь ферма съ параллельными поясами замѣнена прямой линіей), откладываемъ  $B''T = \frac{4f}{3^y}$ , проводимъ  $TS \parallel B''A''$ , а черезъ точку цѣпи  $m'$  (на вертикали точки  $m$ ) проводимъ прямые  $A''E$  и  $B''E'$  и затѣмъ нагружаемъ балку правѣе  $E$  и лѣвѣе  $E'$ . Тогда получимъ (см. стр. 52—выпускъ VIII).

$$(20) \quad \min M_p = -\frac{py^y}{8fl} (\xi^3 + \xi'^3),$$

загрузка же положительного участка  $EE'$  вызываетъ

$$(21) \quad \max M_p = +\frac{py^y}{8fl} (\xi^3 + \xi'^3) + \frac{px(l-x)}{2} (1-y),$$

такъ какъ  $\min M_p + \max M_p = M_p$ .

Рѣшеніе уравн. (20) можно изобразить наглядно графическимъ путемъ. На прямой  $AB$  (фиг. 284) строимъ кубическую параболу  $BJ$ , уравненіе которой

$$Y = \frac{p\xi^3}{6l},$$

и соединяемъ съ точкой  $A$  точку  $E_0$  этой параболы, лежащую на вертикали точки  $E$ . Тогда прямая  $AE_0$  отсѣтъ на вертикали точки  $m$  отрѣзокъ

$$\overline{FD} = Y \frac{y}{4f} = \frac{py^y \xi^3}{8fl} \text{ (по абсолютной величинѣ),}$$

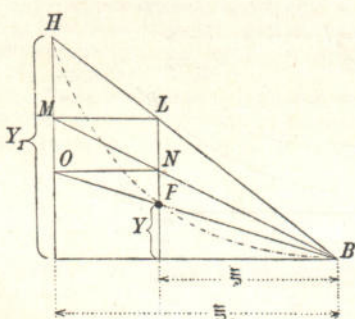
и поэтому точка  $D$  будетъ принадлежать  $\min M_p$ -лини при томъ впрочемъ предположеніи, что нами разсматривается только одинъ раздѣлъ нагрузкѣ  $E$ . Опредѣливъ точки  $D$  для всѣхъ съченій, лежащихъ между  $A$  и  $C$ , которымъ соотвѣтствуетъ  $\xi = 0$ , вычертивъ затѣмъ зеркальное изображеніе  $C'B$  полученнѣй такимъ образомъ кривой и сложивъ на конецъ ординатъ обѣихъ кривыхъ между  $C'$  и  $C$ , мы получимъ конечную  $\min M_p$ -линию. Эта линія обозначена на фиг. 284 со штриховкой. Для построенія вспомогательной кубической параболы надо вычислить сначала для какой нибудь абсциссы  $\xi_1$  ординату  $Y_1 = \frac{p\xi_1^3}{6l}$  и привести уравненіе параболы къ такому виду:  $Y = Y_1 \frac{\xi^3}{\xi_1^3}$ . Простое построе-

ніе этого выраженія понятно изъ фиг. 285; прямые  $LM$  и  $NO$  параллельны оси абсциссъ.

Ординаты  $Y$  увеличиваются весьма быстро, поэтому величину  $\xi_1$  слѣдуетъ брать такой длины, чтобы построеніе не заняло бы очень много мѣста. Лучше всего опредѣлить точки кубической параболы только для тѣхъ съченій, для которыхъ отыскиваются моменты. Ср. примѣръ на листѣ чертежей 5.

Если желаемъ получить моменты путемъ вычисленій, то, принимая сначала во вниманіе только одинъ раздѣлъ нагрузкѣ  $E$ , надо положить:

$$\min M_p = -\frac{py^y \xi^3}{8fl};$$



Фиг. 285.

кромѣ того имѣемъ, что  $y = \frac{4fx(l-x)}{l^2}$  и затѣмъ

$$(l-\xi):x = \frac{4f}{3^y} : y.$$

Тогда для кривой  $ADC$  (фиг. 284) получаемъ уравненіе

$$(22) \quad \min M_p = - \frac{px[3x' - l]^2}{54v^2x'^2},$$

гдѣ  $x' = l - x$ . Примѣненіе втораго раздѣла нагрузки производится подобно тому, какъ это было сдѣлано при графическомъ способѣ. Точка  $C$  (фиг. 284) лежить у  $x = l - \frac{l}{3v}$ , а точка  $C'$  — у  $x = \frac{l}{3v}$ .

4. Моменты  $M_t$  отъ измѣненія температуры равняются:

$$(23) \quad M_t = \mp H_t y = \mp \frac{8H_t f}{l^2} \frac{x(l-x)}{2};$$

эти моменты равняются моментамъ простой, не подвѣшеннай къ цѣпи балки  $AB$ , которая несетъ равномѣрно распределенную нагрузку  $\mp \frac{8H_t f}{l^2}$  на единицу длины.

5. Наиболѣшіе моменты:

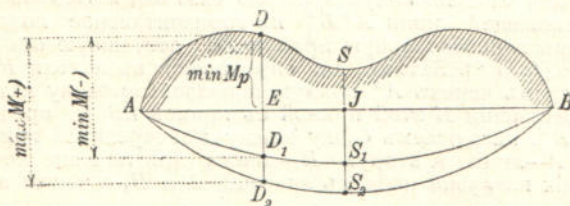
$$\min M = \min M_p - H_t y + M_g$$

$$\max M = \max M_p + H_t y + M_g = -\min M_p + M_p + H_t y + M_g$$

можно представить слѣдующимъ нагляднымъ чертежемъ.

Сначала строимъ (фиг. 286) линію  $ADSB$ , ординаты которой даютъ величины наибольшихъ отрицательныхъ моментовъ  $\min M_p$ ; къ этимъ ординатамъ прибавляемъ ординаты параболы  $AS_1B$ , стрѣлка которой равняется

$$\overline{S_1J} = -H_t f + \frac{g_n l^2}{8f} (1-v).$$



Фиг. 286.

Смотря по выражению:  $H_t f < \frac{g_n l^2}{18f} (1-v)$ , эта парабола строится ниже или выше  $AB$ ; ордината параболы для взятаго  $x$  равняется

$$\overline{ED_1} = -H_t y + g_n \frac{x(l-x)}{2} (1-v) = -H_t y + M_g;$$

поэтому получимъ:  $\min M = -\overline{DD_1}$ .

Теперь строимъ вторую параболу  $AS_2B$ , стрѣлка которой

$$\overline{S_2J} = H_t f + (p + g_n) \frac{l^2}{8f} (1-v)$$

а ордината для взятаго  $x$ :

$$\overline{ED_2} = H_t y + (p + g_n) \frac{x(l-x)}{2} (1-v) = H_t y + M_p + M_g;$$

поэтому получимъ:  $\max M = +\overline{DD_2}$ .

6. Наибольший изъ всѣхъ моментовъ для балки получается около  $x = \frac{1}{4}l$ . Здѣсь разсматривался только одинъ раздѣлъ нагрузки, поэтому, при  $y = \frac{3}{4}f$ , получимъ:

$$\begin{aligned}\max M &= \max M_p + M_g + H_t y = -\min M_p + M_p + M_g + \frac{3H_t f}{4} = \\ &= \frac{px|3vx' - l|^3}{54v^2x'^2} + \frac{pxx'}{2}(1-v) + \frac{g_n xx'}{2}(1-v) + \frac{3H_t f}{4}.\end{aligned}$$

При  $x = \frac{1}{4}l$  и  $x' = \frac{3}{4}l$  это выраженіе обращается въ слѣдующее:

$$(24) \quad M = \frac{3pl^2}{32v^2} \left( v - \frac{4}{9} \right)^3 + \frac{3}{32} (p + g_n) l^2 (1 - v) + \frac{3}{4} H_t f.$$

Для площи поперечнаго сѣченія поясовъ жесткой балки получимъ теперь для даннаго  $x$  количество

$$F = \frac{M}{hs},$$

гдѣ  $s$  означаетъ допускаемое напряженіе.

Слѣдуетъ замѣтить, что полученнуя такимъ образомъ величину площи поперечнаго сѣченія надо положить въ основаніе расчета величины коэффиціента  $v$ , потому что моменты съ уменьшеніемъ  $v$  увеличиваются, а поэтому для коэффиціента  $v$  слѣдуетъ предварительно брать ильсколько меньшія значенія, чмъѣ бѣльшія. Такимъ образомъ мы полагаемъ:

$$(25) \quad F_c = \frac{3l^2}{32hs} \left[ \frac{p}{v^2} \left( v - \frac{4}{9} \right)^3 + (p + g_n)(1 - v) \right] + \frac{3H_t f}{4hs}.$$

7. Предельныя значенія перерѣзывающихъ силъ отъ подвижной нагрузкы. Постъ приведенія замыкающей линіи  $A''B''$  въ горизонтальное положеніе (фиг. 283 и 287), проводимъ горизонтальную прямую  $SS'$ , отстоящую отъ  $A''B''$  на разстояніи  $S'B'' = 4f:3v$  \*). Затѣмъ, для опредѣленія въ панели  $F_1F_2$  перѣзывающей силы проводимъ черезъ  $A''$  прямую параллельно звену цѣли  $F''F'$ , находимъ точку пересѣченія  $E$  этой прямой съ прямой  $SS'$  и, предполагая, что  $E$  лежитъ лѣвѣ  $B''$ , нагружаемъ балку между  $E$  и серединой панели. Построимъ теперь вторую  $A$ —линію и вторую  $H$ —линію, при помоши которыхъ мы для даннаго состоянія нагрузкы найдемъ значенія  $A$  и  $H$ , а также получимъ, что

$$(26) \quad \max Q = A - Htga'',$$

гдѣ  $\alpha''$  означаетъ уголъ, образуемый  $F''F'$  съ горизонтомъ. Вторая  $A$ —линія представляеть параболу съ вершиной у  $B_0$ , вторая же  $H$ —линія опредѣляется точно такимъ же образомъ какъ и для двухшарнирныхъ балокъ (уравн. 46, стр. 49, выпускъ VII); разница заключается только въ томъ, что количество  $v$  принимаетъ здѣсь другое значеніе. Сравн. также задачу, рѣшеннуу на стр. 50 (выпускъ VIII). Если  $E$  лежить правѣ  $B_0$ , то балку надо нагрузить отъ середины панели  $F_1F_2$  до  $B$ .

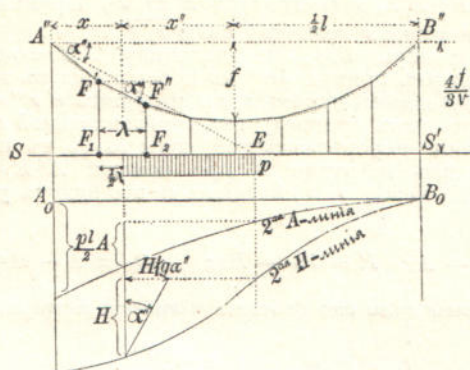
Для вычислениія  $\min Q_p$  можетъ служить окончательно уравненіе

$$(27) \quad \min Q_p + \max Q_p = Q_p = px''(1-v).$$

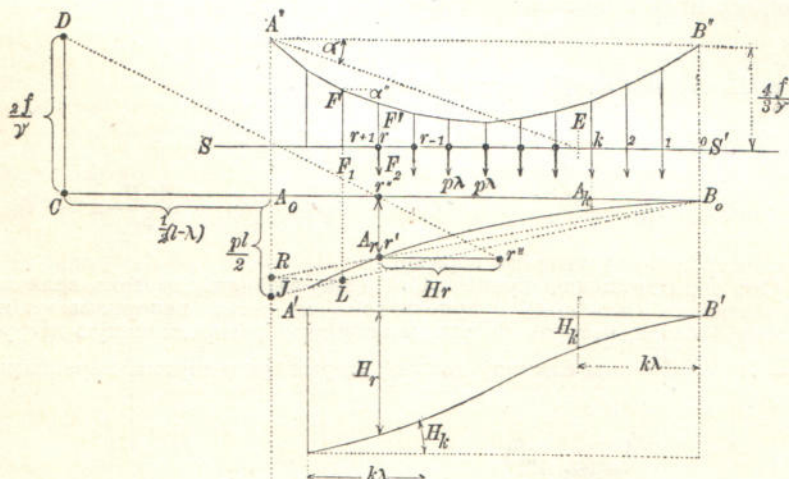
Второй способъ опредѣленія  $\max Q_p$  объясненъ на стр. 64 и 65 выпускса VIII; тамъ было предположено, что узловые грузы равны между собой, и что всѣ

\*.) Для большей отчетливости чертежа 287 мы принимаемъ, что ось балки совпадаетъ съ прямой  $SS'$ .

панели одинаковы; третій способъ, также при равныхъ панеляхъ и одинаковыхъ узловыхъ грузахъ, заключается въ слѣдующемъ:



Фиг. 287.



Фиг. 288.

Если нагрузить  $r$  узловъ, начиная съ  $B$ , фиг. 288, по  $p\lambda$  единицъ, то получимъ:

$$(28) \quad Ar = \frac{pr\lambda(r+1)\lambda}{2l}$$

а по формулѣ 9, стр. 10, при  $l = n\lambda$ :

$$(29) \quad \left\{ \begin{array}{l} H_r = \frac{3p\lambda^2}{4fl} \left[ 1(n-1) + 2(n-2) + 3(n-3) + \dots + r(n-r) \right] \lambda^2 \\ = \frac{p\lambda^3}{8fl} r(r+1)(3n-2r-1), \end{array} \right.$$

поэтому, принимая во вниманіе уравн. 28, можемъ написать

$$(30) \quad H_r = Ar \frac{1,5l - 0,5\lambda - r\lambda}{2f} v.$$

Для графического определения значений  $A_r$  и  $H_r$  откладываемъ (на фиг. 288)  $\overline{A_0J} = \frac{pl}{2}$ , находимъ точку  $L$ , лежащую на прямой  $B_0J$  и на вертикали подъ  $r+1$ , проводимъ  $LR \parallel A_0B_0$  и соединяемъ  $R$  съ  $B_0$ . Прямые  $B_0A_0$  и  $B_0R$  отсекаютъ на вертикали точки  $r$  величину силы  $\overline{r''r'} = A_r$ .

Продолживъ теперь  $B_0A_0$  на величину  $A_0C = 0,5(l-\lambda)$ , отложивъ  $CD = 2f$ ; и продолживъ прямую  $Dr''$  до пересечения въ точкѣ  $r''$  съ горизонтальной прямой, проходящей черезъ  $r$ , мы получимъ  $r'r''' = H_r$ , каковое значение и откладываемъ какъ ординату отъ горизонтальной прямой  $A'B'$ .

При определеніи перерѣзывающей силы  $\max Q_p$  въ панели  $F_1F_2$  необходимо отыскать раздѣлъ нагрузки  $E$  при помощи  $A'E \parallel F'F''$  и загрузить только узлы, лежащие между  $E$  и сѣченіемъ  $tt$ ; это будутъ узлы  $r, (r-1), \dots, k$ . Тогда получимъ:

$$A = A_r - A_k; \quad H = H_r - H_k; \quad \max Q_p = A - H \operatorname{tg} \alpha'' \text{ *)}$$

8. Перерѣзывающія силы отъ дѣйствія измѣненія температуры таковы:

$$Q_t = \mp H_t \operatorname{tg} \alpha'' = \mp \frac{8fH_t}{l^2} x'';$$

эти силы равновелики съ перерѣзывающими силами для простой не подвѣшенной къ цѣпи балки  $AB$ , которая несетъ нагрузку  $\mp \frac{8fH_t}{l^2}$  на единицу длины.

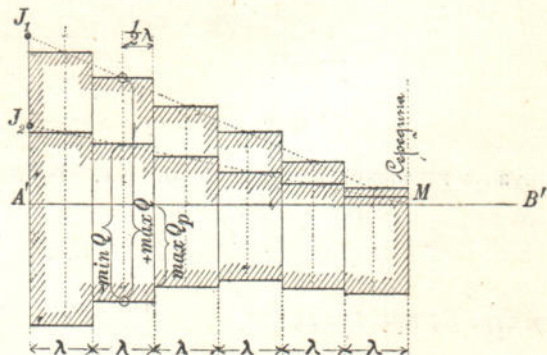
9. Наибольшія перерѣзывающія силы:

$$\max Q = \max Q_p + \frac{8fH_t}{l^2} x'' + Q_g \text{ **)$$

$$\min Q = \min Q_p - \frac{8fH_t}{l^2} x'' + Q_g = -\max Q_p + Q_p - \frac{8fH_t}{l^2} x'' + Q_g$$

можно построить слѣдующимъ образомъ.

Отъ горизонтальной прямой  $A'B'$  (фиг. 289) откладываемъ величины перерѣзывающихъ силъ  $\max Q_p$  и прибавляемъ къ нимъ перерѣзывающія силы для простой балки, которая несетъ равномѣрно распределенную нагрузку по  $g_n(1-v) + \frac{8fH_t}{l^2}$  на единицу длины; вторая упомянутая перерѣзывающія



Фиг. 289.

\*) Эта способъ, конечно, возможно примѣнить и къ двухшарнирнымъ аркамъ съ приблизительно постоянной высотой, а также къ жесткимъ балкамъ съ параллельными поясами, о которыхъ была рѣчь въ предыдущемъ § (см. выпускъ VIII).

\*\*)  $H_t$  означаетъ абсолютную величину горизонтального напряженія отъ дѣйствія измѣненія температуры.

силы получаются извѣстнымъ образомъ, если проведемъ прямую  $J_1M$ , причемъ  $A'M = \frac{1}{2}l$  и  $\overline{J_1A'} = g_n(1-\nu) \frac{l}{2} + \frac{4fH_t}{l}$ . Результатъ будетъ таковъ:

$$\max Q_p + \overline{A'J_1} \frac{x''}{0,5l} = \max Q_p + \frac{8fH_t}{l^2} x'' + g_n(1-\nu)x'' = \max Q.$$

Если прямую  $J_1M$  замѣнить прямой  $J_2M$ , опредѣляемой при помощи отрѣзка

$$\overline{A'J_2} = \frac{4fH_t}{l} - (g_n + p)(1-\nu) \frac{l}{2},$$

то получимъ:

$$\begin{aligned} \max Q_p + \overline{A'J_2} \frac{x''}{0,5l} &= \max Q_p + \frac{8fH_t}{l^2} x'' - p(1-\nu)x'' - g(1-\nu)x'' = \\ &= \max Q_p + \frac{8fH_t}{l^2} x'' - Q_p - Q_g = -\min Q. \end{aligned}$$

На протяженіи панели количество  $Q$  постоянно.

**103. Численный примѣръ.** (Листъ чертежей 5). Расчитаемъ жесткій висячій мостъ при слѣдующихъ данныхъ:

Пролѣтъ цѣпи  $l_1 = 75$  м.; пролѣтъ балки  $l = 72$  м.; стрѣлка цѣпи, измѣренная до замыкающей линии  $f = 9,0$  м. ( $f_1$  = около 9,7 м.); длина удерживающей цѣпи, наклоненной подъ угломъ  $\alpha' = 35^\circ$ , равняется  $s' = 27$  м.; высота жесткой балки  $h = 2,0$  м.; длина панели  $\lambda = 3$  м.

Постоянная нагрузка для каждой изъ обѣихъ главныхъ фермъ, несущихъ мостовое полотно, равняется  $g = 2,8$  т./м., подвижная  $p = 1,5$  т./м. Примемъ, что мостъ возводится сначала не жесткимъ (см. стр. 6), поэтому  $g_r = g = 2,8$  т./м. и  $g_n = 0$ . Измѣненіе температуры пусть составляетъ  $t = \pm 40^\circ$  С.

1. Выборъ отношенія площадей поперечныхъ сѣченій  $F_c : F_k$  для вычисленія коэффициента  $\nu$  ( $F_c$  = площадь поперечнаго сѣченія поясовъ балки,  $F_k$  — тоже для цѣпи въ вершинѣ).

$$\begin{aligned} \frac{s_0}{l} &= \frac{l_1}{l} \left[ 1 + \frac{16}{3} \frac{f_1^2}{l_1^2} + 2 \frac{s'}{l} - \frac{1}{\cos \alpha'} \right] = 2,09 \text{ и} \\ \nu &= \frac{1}{1 + \frac{15}{16} \frac{h^2}{f^2} \frac{s_0}{l} \frac{F_c}{F_k}} = \frac{1}{1 + 0,0968 \frac{F_c}{F_k}}. \end{aligned}$$

Взявъ сначала  $F_c : F_k = 0,40$  до 0,45, получимъ  $\nu = 0,962$  до  $\nu = 0,957$ , т. е. около  $\nu = 0,96$ . Изъ формулы

$$\sigma F_k = H_{\max} = \frac{l^2}{8f} [g_r + (g_n + p)\nu] + \varepsilon E F_k t (1 - \nu)$$

получаемъ теперь требуемую площадь поперечнаго сѣченія цѣпи въ вершинѣ

$$F_k = \frac{l^2 [g_r + (g_n + p)\nu]}{8f [\sigma - \varepsilon Et(1 - \nu)]};$$

если принять допускаемое напряженіе для цѣпи изъ сварочнаго полосового жѣлѣза

$$\sigma = 1000 \text{ к/см}^2 = 10000 \text{ т/м}^2 \text{ и}$$

положить  $\varepsilon E = 240 \text{ т/м}^2$ , то получимъ

$$F_k = \frac{72^2 (2,8 + 1,5 \cdot 0,96)}{8 \cdot 9 [10000 - 240 \cdot 40 \cdot 0,04]} = 0,0317 \text{ м}^2.$$

Уголь наклоненія  $\alpha$  крайняго звена для цѣпи, принимаемой за параболическую, опредѣляется изъ формулы

$$\frac{I}{\cos \alpha_1} = \sqrt{1 + \frac{4f^2}{l^2}} = \sqrt{1 + \frac{I}{16}} = \frac{I}{2} \sqrt{5},$$

поэтому площадь съченія цѣпи должна увеличиться до  $\frac{F_k}{\cos \alpha_1} = \frac{0,0317}{2} \sqrt{5} = 0,0356 \text{ м}^2$ . Въ данномъ случаѣ рекомендуется дать всей цѣпи всюду одинаковое съченіе  $0,0356 \text{ м}^2$ , т. е. положить также  $F_k = 0,0356 \text{ м}^2$ .

Горизонтальное напряженіе отъ дѣйствія измѣненія температуры будетъ теперь равняться

$$H_t = \varepsilon E F_k t (1 - \nu) = 240 \cdot 0,0356 \cdot 40 \cdot 0,04 = 13,7 \text{ т.},$$

а площадь поперечнаго съченія поясовъ балки по уравн. 25 (такъ какъ  $g_n = 0$ ):

$$F_c = \frac{3l^2p}{32h\sigma} \left[ \frac{I}{\nu^2} \left( \nu - \frac{4}{9} \right)^3 + (1 - \nu) \right] + \frac{3H_{tf}}{4h\sigma}.$$

Принимая  $\sigma = 750 \text{ кг/см}^2 = 7500 \text{ т/м}^2$ , получимъ:

$$F_c = \frac{3 \cdot 72^2 \cdot 1,5}{32 \cdot 2,0 \cdot 7500} \left[ \frac{I}{0,96^2} \left( 0,96 - \frac{4}{9} \right)^3 + 0,04 \right] + \frac{3 \cdot 13,7 \cdot 9,0}{4 \cdot 2,0 \cdot 7500} = 0,0154.$$

Поэтому

$$\frac{F_c}{F_k} = \frac{0,0154}{0,0356} = 0,433 \text{ и } \nu = \frac{I}{1 + 0,0968 \cdot 0,433} = 0,9598,$$

т. е.  $\nu = 0,96$  равняется прежде найденному значенію  $\nu$ . Повторенія расчета не требуется, поэтому дальнѣйшее изслѣдованіе жесткой балки можно пропустить при  $\nu = 0,96$ .

Наибольшее горизонтальное напряженіе цѣпи равно

$$H_{max} = \frac{l^2}{8f} (g + p\nu) + H_t = \frac{72^2}{8 \cdot 9,0} (2,8 + 1,5 \cdot 0,96) + 13,7 = 319 \text{ т.},$$

а наибольшее растяженіе въ подвѣскѣ:

$$max Z = H_{max} (\operatorname{tg} \alpha_m - \operatorname{tg} \alpha_{m+1}) = H_{max} \frac{8f\lambda}{l^2} = 319 \frac{8 \cdot 9,0 \cdot 3,0}{72^2} = 14 \text{ т.}$$

Для удерживающей цѣпи получимъ:

$$S_{max} = \frac{H_{max}}{\cos 35^\circ} = 389 \text{ т.},$$

и для давленія на пylonъ:

$$H_{max} (\operatorname{tg} 35^\circ + \operatorname{tg} \alpha_1) *) = 319 [0,7 + 0,5] = 383 \text{ т.}$$

2. Усилия въ поясахъ, фиг. 290. Горизонтальная прямая  $SS'$ , служащая для определенія точекъ раздѣла нагрузки, лежитъ въ разстояніи

$$\frac{4f}{3\nu} = \frac{4 \cdot 9,0}{3 \cdot 0,96} = 12,5 \text{ м.}$$

\*) Достаточно точно  $\operatorname{tg} \alpha_1 = \frac{4f}{l}$ .

Отъ прямой  $A''B''$ ; точки пересѣченія ся  $1_0, 2_0, 3_0, \dots$  съ прямыми  $A''1', A''2', A''3', \dots$  опредѣляютъ точки раздѣла нагрузки, соотвѣтствующія узламъ  $1, 2, 3, \dots$ . На фиг. 290 цѣпь имѣть параболическую форму. Отложимъ на вертикали точки  $B''$  отрѣзокъ  $B''O'' = 4f = 36$  м. и раздѣлимъ его на 24 равныя части. Лучи, проведенные изъ точекъ дѣленія  $1'', 2'', 3'', \dots$  въ точку  $A''$ , пересѣкаютъ вертикали точекъ  $1, 2, 3, \dots$  въ точкахъ цѣпи  $1', 2', 3', \dots$ , а прямую  $SS'$  въ точкахъ  $1_0, 2_0, 3_0, \dots$

Количество  $\frac{M}{h}$  слѣдуетъ опредѣлить по способу, который примѣнялся

на стр. 15—до 17 для отысканія моментовъ  $M$ . Точка  $1_0$  лежить въ разстояніи  $z_1 = 45,91$  м. отъ вертикали  $B''B'$  а соотвѣтствующая этому ордината вспомогательной кубической параболы, построенной согласно фиг. 285, стр. 16, равняется:

$$\frac{p\tilde{\xi}_1^3}{6lh} = \frac{1,5 \cdot 45,91^3}{6 \cdot 72 \cdot 2,0} = 168,0 \text{ тоннъ.}$$

Стрѣлки обыкновенныхъ параболъ  $A'L_1B'$  и  $A'L_2B'$  соотвѣтственно равны (при этомъ  $g_n = 0$ ):

$$\frac{H_1 f}{h} = \frac{13,7 \cdot 9,0}{2,0} = 61,65 \text{ т.} = 62 \text{ тоннъ (округляя)}$$

$$\text{и } \frac{H_2 f}{h} + \frac{pl^2}{8h} (1 - v) = 61,65 + \frac{1,5 \cdot 72^2 \cdot 0,04}{8 \cdot 2,0} = 81 \text{ тоннъ (округляя).}$$

Изъ чертежа получаемъ для узловъ  $1, 2, 3, \dots, 12$ :

$$\begin{aligned} \frac{M}{h}_{max} &= +32; +59; +80; +97; +108; +115; +118; +118; +115; +111; \\ &+109; +108 \text{ тоннъ.} \end{aligned}$$

$$\begin{aligned} \frac{M}{h}_{min} &= -29; -53; -72; -86; -95; -101; -102; -101; -97; -93; -90; \\ &-89 \text{ тоннъ.} \end{aligned}$$

Изъ этихъ количествъ опредѣляются значенія усилий въ поясахъ; результаты вписаны на фиг. 293.

3. Усилия  $D$  въ раскосахъ (диагоналяхъ). Въ раскосѣ, наклоненномъ подъ угломъ  $\varphi$  къ горизонту, развивается усилие

$$D = \pm \frac{Q}{\sin \varphi},$$

гдѣ  $Q$  означаетъ перерѣзывающую силу въ разматриваемой панели. Верхній знакъ относится къ раскосу, подымающемуся вѣво, нижній знакъ къ раскосу, подымающемуся вправо. Такъ какъ уголъ  $\varphi$  одинаковъ для всѣхъ раскосовъ  $\left( \frac{l}{\sin \varphi} = 1,8028 \right)$ , то вмѣсто  $Q$  можно построить количество  $Q' = \frac{Q}{\sin \varphi}$ , пользуясь способомъ, примѣнявшимся на стр. 19, фиг. 288 и 289, для опредѣленія силь  $Q$ .

Такимъ образомъ ординаты второй ( $A : \sin \varphi$ ) — линіи, построенной для постоянныхъ узловыхъ грузовъ  $p_l$ , опредѣляются отрѣзкомъ

$$\overline{A_0 J} = \frac{pl}{2 \sin \varphi} = \frac{1,5 \cdot 72 \cdot 1,8028}{2} = 97,3; \text{ т.}$$

Ординаты второй ( $H : \sin \varphi$ ) — линіи опредѣляются по ранѣе описанному способу (фиг. 288) изъ количествъ  $A : \sin \varphi$ , нанеся точку  $D$  [при помощи отрѣзковъ  $\overline{A_0 C} = \frac{l}{2} (l - \lambda) = \frac{l}{2} (72 - 3) = 34,50$  м. и  $\overline{CD} = \frac{2f}{v} = \frac{2 \cdot 9,0}{0,96} = 18,75$  м.];

вспомогательные линии могутъ быть стерты. На листѣ чертежей 5 вмѣсто  $A : \sin \varphi$  и  $H : \sin \varphi$ , ради краткости написано  $A'$  и  $H'$ .

Пусть, напр., требуется найти  $\max Q' p$  для третьей панели; для этого проводимъ изъ  $A''$  прямую параллельно звену цѣпи III, доводимъ ее до пересѣченія съ прямой  $SS'$  въ точкѣ  $III_0$ ; тогда вертикаль точки  $III_0$ , будетъ служить раздѣломъ нагрузки \*). Затѣмъ прикладываемъ грузы  $p\lambda$  къ узламъ 3, 4, 5, 6, 7, 8, 9, 10, лежащимъ между рассматриваемою панелью и точкой  $III_0$ , и находимъ для этого состоянія:

$$\frac{A}{\sin \varphi} = A'_3 - A'_{11}; \quad \frac{H}{\sin \varphi} = H'_3 - H'_{11}, \text{ а также}$$

$$\max Q' p = (A'_3 - A'_{11}) - (H'_3 - H'_{11}) \operatorname{tg} \alpha_3.$$

На листѣ чертежей 5 количество  $A'_3 - A'_{11}$  обозначено ради краткости черезъ  $A_{II}$ , а количество  $(H'_3 - H'_{11}) \operatorname{tg} \alpha_3$  черезъ  $T_{II}$ . Послѣдняя сила опредѣляется съ помощью прямой III', перпендикулярно къ звену цѣпи III.

Подобнымъ путемъ силы  $\max Q' p$  для всѣхъ панелей лѣвой половины балки можно представить въ такомъ видѣ:

$$\max Q' pI = A_I - T_I; \quad \max Q' pII = A_{II} - T_{II}; \text{ и т. д.}$$

при этомъ слѣдуетъ замѣтить, что раздѣлы нагрузокъ  $I_0, \dots, VIII_0$  соотвѣтствуютъ только панелямъ I до VIII. Для IX-ой панели получаемъ  $\max Q' p$ , когда будутъ загружены всѣ узлы вправо отъ этой панели, поэтому  $A_{IX} = A'_{10}$  и  $T_{IX} = H_{10} \operatorname{tg} \alpha_{10}$ , точно также найдемъ  $A_X = A'_{10}$ ,  $T_X = H'_{10} \operatorname{tg} \alpha_{10}$  и т. д.

Полученные такимъ образомъ силы  $\max Q' p$  отложены на фиг. 292 отъ прямой  $AM$  внизъ въ масштабѣ 1 мм. = 1 т., затѣмъ съ помощью ординаты

$$AJ_1 = \frac{4fH_t}{l \sin \varphi} = \frac{4 \cdot 9,0 \cdot 13,7}{72} \cdot 1,8028 = 12,35 \text{ т.}$$

проведена прямая  $J_1M$ ; силы  $\max Q'$  въ каждой панели опредѣляются по способу, указанному на фиг. 289, стр. 20.

Для опредѣленія  $\min Q'$  прямую  $J_1M$  слѣдовало бы замѣнить прямой  $J_2M$ , причемъ надо было бы отложить

$$AJ_2 = \frac{4fH_t}{l \sin \varphi} - p(1 - v) \frac{l}{2 \sin \varphi} = 11,96 \text{ т.}$$

Но ординаты обѣихъ прямыхъ  $J_1M$  и  $J_2M$  такъ мало отличаются другъ отъ друга, что въ данномъ случаѣ можно положить  $\min Q' = -\max Q'$ .

Результатъ будетъ таковъ:

$$\left. \begin{array}{l} \max \\ \min \end{array} \right\} Q' = \pm 39 \text{ т.; } 33; 29; 26; 24; 23; 23; 24; 25; 25; 25; 25 \text{ тон.}$$

Этимъ числамъ соотвѣтствуютъ усилія  $D$ , вписанныя на фиг. 293.

Сопротивленіе  $A$  лѣвой опоры, когда отсутствуетъ крайняя поперечная ферма, равняется

$$A = D_1 \sin \varphi, \text{ откуда } \max A = +21,6 \text{ т.; } \min A = -21,6 \text{ т.}$$

Положительное сопротивленіе направлено кверху, отрицательное должно уничтожиться сопротивленіемъ связи, скрѣпляющей ферму съ кладкой.

Когда имѣется крайняя поперечная ферма, то получаемъ

$$\max A = 21,6 + \frac{p\lambda}{2} = 21,6 + \frac{1,5 \cdot 3,0}{2} = +24 \text{ т.}$$

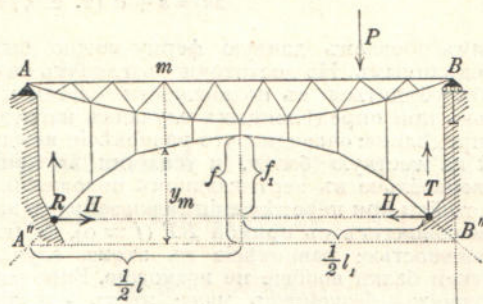
для силы же  $\min A$  сохраняется прежнее значеніе, такъ какъ при нагрузкѣ, вызывающей  $\min A$ , узель  $O$  остается ненагруженнымъ.

\*) Если цѣпь параболическая, то прямые, проведенные изъ  $A''$  черезъ точки 1", 3", 5", 7", ..., которыми раньше пользовались на фиг. 290, будутъ параллельны соотвѣтствующимъ звеньямъ цѣпи I, II, III, IV, ...

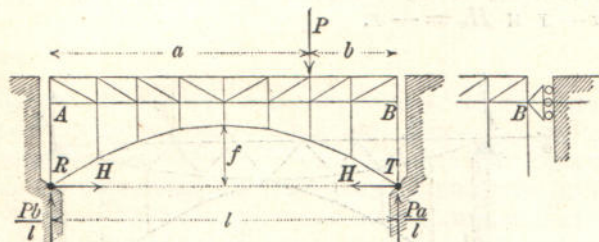
Весьма полезно было бы вычислить на основании данныхъ усилий измѣненія длины всѣхъ стержней и построить линію вліянія для количества  $H$  какъ линію прогибовъ для состоянія  $H = -1$  и затѣмъ построить площади вліянія для нѣкоторыхъ моментовъ и перерѣзывающихъ силъ. Это болѣе точное построение  $H$ -линій производится точно такимъ же образомъ, какъ было указано въ численномъ примѣрѣ въ § 96 (выпускъ VIII), а потому дальнѣйшая разясненія здѣсь будуть излишни.

**104. Шарнирная арка, усиленная сверху жесткой балкой,** фиг. 294, можетъ разматриваться какъ опрокинутая жесткая цѣпь; изслѣдоватъ ее можно на основаніи только что описанного способа. Звенья такой арки и вертикальные промежуточные стержни, очевидно, испытываютъ *сжимающія* усилия; здѣсь для определенія точекъ  $A''$  и  $B''$  также необходимо продолжить внизъ внѣшнія звенья арки, проходящія черезъ  $R$  и  $T$ . Наконецъ, когда вычисляемъ горизонтальный распоръ  $H$  съ помощью формулы, выведенной раньше для горизонтального напряженія цѣпи, то длину  $s'$  и  $s''$  удерживающихъ цѣпей слѣдуетъ приравнять нулю.

На фиг. 294 начерчена балка, опирающаяся на устои въ точкахъ  $A$  и  $B$ ; на фиг. 295 представлена жесткая рѣшетчатая ферма, соединенная своими концами съ опорными шарнирами при посредствѣ вертикальныхъ стоекъ. Первая система можетъ принимать грузы произвольного направленія, послѣдняя же можетъ сопротив-

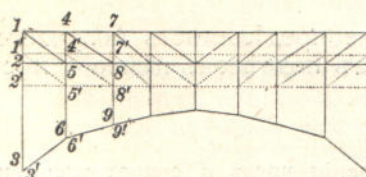


Фиг. 294.

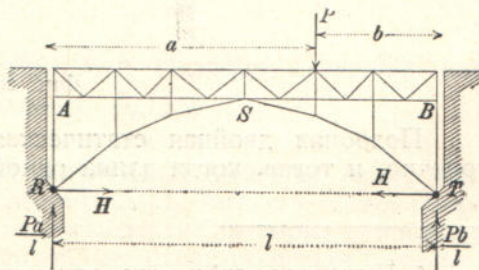


Фиг. 295.

Фиг. 295 а.



Фиг. 295 б.



Фиг. 296.

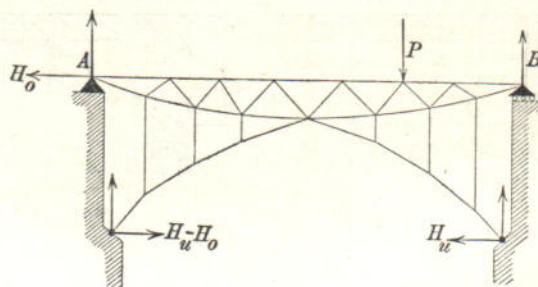
ляться только вертикальнымъ грузамъ. Чтобъ передать опорамъ горизонтальныя силы, дѣйствующія на эту систему, устраиваютъ одинъ изъ узловъ жесткой балки неподвижнымъ въ горизонтальномъ направлениі, какъ напр. показано на фиг. 295 а (узель *B*). Если же опустить балку до арки, фиг. 296, то получимъ рѣшетку, для которой достаточно имѣть опоры въ *R* и *T*; получится, такимъ образомъ, система неизмѣняемая и простая статически неопределѣлимая.

Для фермы на фиг. 295 число узловъ  $k = 27$ , стержней  $s = 50$  и составляющихъ сопротивленій опоръ  $a = 4$ <sup>\*</sup>), поэтому

$$2k = s + a \text{ (т. е. } 54 = 50 + 4\text{);}$$

такимъ образомъ данную ферму можно было бы причислить къ статически опредѣлимымъ. Но достаточно взглянуть на схему *F'*, нанесенную на фиг. 295 б, чтобы убѣдиться въ подвижности системы, которая можетъ быть примѣнена только при опредѣленныхъ случаяхъ нагрузки, но тогда она будетъ статически неопределѣлена; очевидно, что равновѣсіе между горизонтальной силой, дѣйствующей на жесткую балку, и усилиями въ промежуточныхъ стойкахъ, бывшихъ первоначально въ вертикальномъ положеніи, можетъ существовать тогда, когда эти стойки при перемѣщеніи балки займутъ наклонное положеніе. Когда стержни арки совпадутъ съ прямой *RT* ( $f = 0$ ), то рѣшетка будетъ обладать конечною подвижностью; равновѣсіе въ этомъ случаѣ при горизонтальной нагрузкѣ жесткой балки вообще не возможно. Впрочемъ эта подвижность—при жесткихъ стержняхъ—безконечно мала; этотъ случай нами разсматривался въ № 21 (выпускъ VI).

Если арочный поясъ и жесткая балка имѣютъ общий узелъ и одна изъ опоръ жесткой балки сдѣлана неподвижной, то полученная ферма будетъ дважды статически неопределѣлена (фиг. 297). За статически неопределѣлыми величины удобнѣе всего принять горизонтальныя составляющія сопротивленій опоръ  $H_o$  и  $H_u$ ; эти величины вычисляются по общему способу (см. § 5—выпускъ VII); линії вліянія для  $H_o$  и  $H_u$  выводятся изъ линій прогибовъ для состояній  $H_o = -1$  и  $H_u = -1$ .



Фиг. 297.

Подобная двойная статическая неопределѣлость получается, конечно, и тогда, когда длина одной изъ подвѣсокъ цѣпнаго моста

<sup>\*</sup>) Напомнимъ здѣсь, что при опредѣленіи числа  $a$  сопротивленіе не-подвижной опоры надо разложить на двѣ составляющія; подвижной опорѣ соответствуетъ  $a = 1$ .

съ жесткой балкой, фиг. 278, будетъ равняться нулю; отсюда можно сдѣлать заключеніе, что при слишкомъ короткой средней подвѣскѣ результаты, вычисленные въ предположеніи простой статической опредѣлимости, не могутъ быть совершенно точными; это обстоятельство объясняется тѣмъ, что уголъ наклоненія очень короткаго стержня можетъ значительно увеличиться или уменьшиться даже при незначительной деформаціи рѣшетки; а въ этомъ случаѣ нельзя принимать допущенія весьма малыхъ измѣненій угловъ.

### § 10.

## Простые статически неопредѣлимые арочные и висячіе мосты въ нѣсколько пролетовъ.

**105.** Въ этомъ параграфѣ мы займемся разсмотрѣніемъ цѣлаго ряда *простыхъ статически неопредѣлимыхъ арочныхъ и висячихъ мостовъ въ нѣсколько пролетовъ*, расчетъ которыхъ основывается на изслѣдованіяхъ предыдущаго параграфа. За статически неопредѣлимую величину мы будемъ принимать всюду горизонтальный распоръ (или горизонтальное напряженіе)  $H$ , причемъ для вычисления  $H$ , происходящаго отъ дѣйствия груза  $P_m$  на точку  $m$ , воспользуемся уравненіемъ

$$H = P_m \frac{\delta'_m}{\Sigma S'^2 s \frac{F_e}{F}},$$

гдѣ  $\delta'$  означаетъ величину вертикального перемѣщенія точки  $m$  при воображаемомъ состояніи нагрузки  $H = -1$ , умноженного на  $E F_e$ ; а  $S'$  означаетъ усилие въ стержнѣ для состоянія нагрузки  $H = -1$ . Разматриваемая системы можно разбить на двѣ группы; въ одной группѣ основная статически опредѣлимая система состоитъ изъ ряда *отдельныхъ балокъ*, въ другой же группѣ эта система при  $H = 0$  обращается въ *балку Гербера*.

a. *Основная статически опредѣлимая система состоитъ изъ ряда отдельныхъ балокъ.*

**106. Многопролетный арочный мостъ.** Арки, опирающіяся своими концами на средний быкъ, имѣютъ общий опорный шарниръ, который можетъ перемѣщаться по горизонтальному направлению; такимъ образомъ подобные быки получаютъ только вертикальныя давленія. По концамъ крайнихъ пролетовъ помѣщены неподвижные опорные шарниры, фиг. 298.

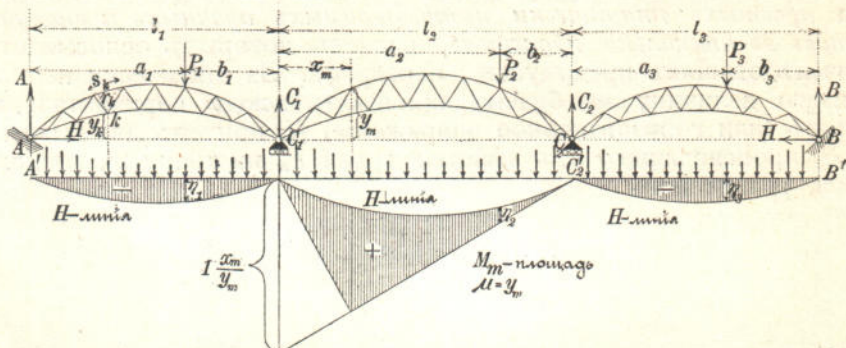
Когда всѣ шарниры находятся на одной прямой, то вертикальные реакціи опоръ  $A, B, C$  не зависятъ отъ  $H$ ; эти реакціи таковы, какъ и для системы, состоящей изъ отдѣльныхъ балокъ  $AC_1, C_1C_2, \dots$ . Такъ напр. при нагрузкѣ, принятой на фиг. 298, получаемъ:

$$A = P_1 \frac{b_1}{l_1}; \quad C_1 = P_1 \frac{a_1}{l_1} + P_2 \frac{b_2}{l_2}; \quad C_2 = P_2 \frac{a_2}{l_2} + P_3 \frac{b_3}{l_3}; \quad B = \frac{P_3 a_3}{l_3}.$$

Для построенія  $H$ -линій надо вычислить сначала величины моментовъ  $M_w$  какъ бы для простой балки, находящейся подъ дѣйствиемъ грузовъ  $w = \frac{ys}{r^2} \frac{F_c}{F}$ , т. е. совершенно подобно тому, что мы это дѣлали для двухшарнирной арки (№ 77, выпускъ VIII), и затѣмъ раздѣлить эти количества на величину суммы  $\Sigma z = \Sigma w$ , распределенной на узлы всѣхъ пролетовъ. Для  $P=1$  получаемъ

$$H = \frac{M_m}{\Sigma z}.$$

Изъ  $H$ -лицій, положительныхъ для всѣхъ пролетовъ, можно вывести остальные линіи вліянія подобно тому, какъ это было сдѣлано для двухшарнирныхъ арокъ.



Фиг. 298.

На фиг. 298 построена, напр., площадь вліянія для момента  $M_m$  относительно узла  $m$  средняго пролета  $C_1C_2$ ; эта площадь отличается отъ площади вліянія для момента  $M_m$  въ двухшарнирной аркѣ  $C_1C_2$  (кромѣ меньшей величины ординатъ  $H$ -лини) только тѣмъ, что величина ея увеличивается влѣво отъ  $C_1$  и вправо отъ  $C_2$  на величину добавочныхъ  $H$ -площадей, принимаемыхъ за отрицательные площади. Дѣйствительно, грузы, лежащіе въ пролетахъ  $C_1C_2$ , вліяютъ на второй членъ выраженія

$$M_m = M_{om} - H y_m.$$

Величина горизонтального распора отъ равномѣрного возвышения температуры на  $t^0$  опредѣляется выраженіемъ (см. № 78, выпускъ VIII)

$$H_t = \frac{\varepsilon E t F_c \Sigma l}{\Sigma z_m},$$

гдѣ  $\Sigma l$  означаетъ сумму величинъ всѣхъ пролетовъ.

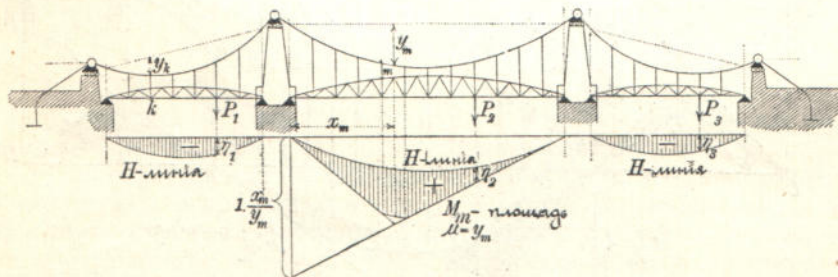
**107. Многопролетный висячій мостъ.** Арочному мосту, разобранному въ № 106, можно противопоставить висячій мостъ, усиленный отдельными жесткими балками, фиг. 299. При построении  $H$ -линий и здѣсь требуется также вычислить для каждого пролета моменты  $M_w$ , соответствующие простой балкѣ, которая находится подъ дѣйствиемъ силъ  $w = \frac{ys}{r^2} \frac{F_c}{F}$ , и затѣмъ разделить эти моменты на выражение

$$\mathfrak{N} = \Sigma z + \frac{F_c}{F_k} \left( \Sigma \frac{\lambda_r}{\cos^2 \alpha_r} + \frac{s'}{\cos \alpha'} + \frac{s''}{\cos \alpha''} \right) + \\ + \frac{F_c}{F_s} \Sigma z_r (\operatorname{tg} \alpha_r - \operatorname{tg} \alpha_{r+1})^2,$$

гдѣ знаки суммъ распространяются на всѣ пролеты. Для  $P=1$  получаемъ:

$$H = \frac{M_w}{\mathfrak{N}}.$$

Изъ  $H$ -линий, положительныхъ для всѣхъ пролетовъ, можно вывести остальные линіи вліянія, согласно сказанному въ § 9, № 101. На фиг. 299 для примѣра построена площадь вліянія для момента  $M_m$  относительно узла средняго пролета.



Фиг. 299.

Для горизонтального напряженія, происходящаго отъ измѣненія температуры, получимъ выраженіе согласно стр. 10 и 11:

$$H_t = \frac{\varepsilon E F_c t \Sigma s' s}{\mathfrak{N}} = - \frac{\varepsilon E F_c t}{\mathfrak{N}} \left[ \Sigma \frac{\lambda_r}{\cos^2 \alpha} + \frac{s'}{\cos \alpha'} + \frac{s''}{\cos \alpha''} + \right. \\ \left. + \Sigma z_r (\operatorname{tg} \alpha_r - \operatorname{tg} \alpha_{r+1}) \right].$$

Выраженія для суммъ, входящихъ въ предыдущія формулы, можно вычислить по слѣдующимъ формуламъ:

$$\Sigma \frac{1}{\cos^2 \alpha} = l_1 \left( 1 + \frac{16}{3} \frac{f_1^2}{l_1^2} + \frac{c^2}{l_1^2} \right)$$

$$\Sigma z_r (\operatorname{tg} \alpha_r - \operatorname{tg} \alpha_{r+1})^2 = \frac{64 f_1^2 (3h' - 2f_1 - 1,5 c) \lambda}{3l_1^3}$$

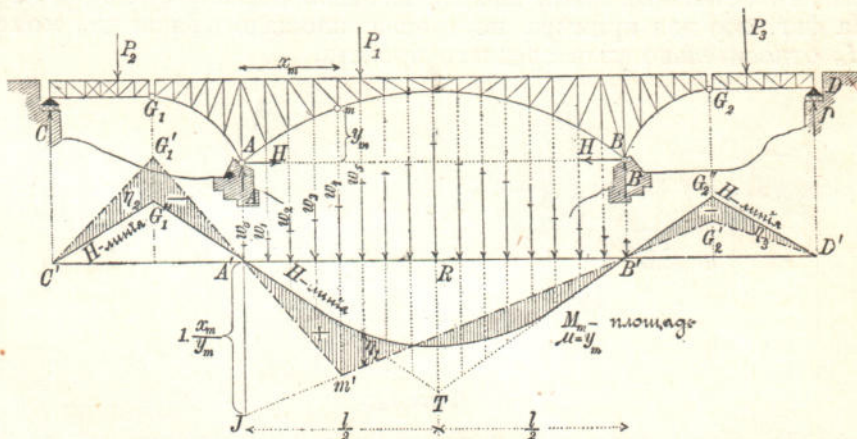
$$\Sigma z_r (\operatorname{tg} \alpha_r - \operatorname{tg} \alpha_{r+1}) = \frac{8f_1 (3h_1 - 2f_1 - 1,5 c)}{3l_1}.$$

Упрощенія, сдѣланныя въ § 9 для жесткихъ балокъ съ параллельными поясами, могутъ имѣть мѣсто также и въ висячихъ много-пролетныхъ мостахъ.

*b. Основная статически опредѣлимая система представляетъ балку Гербера.*

**108. Консольно-арочный мостъ въ три пролета.**

Система на фиг. 300 состоитъ изъ двухшарнирной арки  $AB$  съ консолями  $AG_1$  и  $BG_2$ , служащими для поддержки отдельныхъ балокъ  $CG_1$  и  $G_2D$ . Если обратить одну изъ обѣихъ неподвижныхъ опоръ  $A, B$  въ подвижную по горизонтальному направлению, то получится балка Гербера (состояніе нагрузки  $H=0$ ), изгибающіе моменты для которой обозначимъ буквой  $M_o$ , а вертикальныя составляющія реакцій опоръ буквами  $A, B, C, D$ . Отъ добавленія реакціи  $H$  вертикальная реакція, а также и усилия во вѣнчихъ пролетахъ  $CA$  и  $BD$  не измѣняются. Только въ средней части  $AB$  усилия  $S$  будутъ зависѣть отъ  $H$ ; эти усилия можно выразить въ такой формѣ:



ГР. 300.

$S = S_o - S' H$ , гдѣ  $S_o$  означаетъ усилие  $S$  для состоянія нагрузки  $H=0$ , а  $S'$  усилие отъ состоянія  $H=-1$ .

Для построенія  $H$ -линий опять воспользуемся выражениемъ:

$$H = P \frac{\delta'}{\Sigma S'^2 s \frac{F_c}{l}}$$

гдѣ  $\delta'$  представляетъ ординату линіи прогибовъ для состоянія  $H=-1$ , умноженную на  $F_c$ . Эта линія прогибовъ состоитъ между  $A$  и  $B$  изъ многоугольника, который опредѣляется совершенно также, какъ и для двухшарнирной арки  $AB$ , а затѣмъ изъ прямыхъ  $A'G_1'', G_1''C'$  и  $B'G_2'', G_2'D'$ , соответствующихъ консолямъ и отдельнымъ балкамъ, которые не испытываютъ напряженій отъ дѣйствія нагрузки  $H=-1$ . Если линія прогибовъ для части

фермы  $AB$  построена съ помощью веревочного многоугольника, то прямые  $A'G''_1$  и  $B'G''_1$  получаются какъ вѣшніе бока этого многоугольника. Въ большинствѣ случаевъ  $H$ -линія опредѣляется вычислениемъ по формулѣ

$$H = \frac{M_w}{\Sigma z} \quad (\text{см. § 7, выпускъ VIII}),$$

что гораздо проще. При определеніи продолженій  $H$ -линій вѣшніе опоры  $A'$  и  $B'$  въ данномъ случаѣ слѣдуетъ соединить всѣ грузы  $w$  въ сумму  $\Sigma w$ , вычислить моментъ  $\Sigma w \frac{l}{4}$ , вызываемый этимъ грузомъ въ серединѣ простой балки  $A'B'$ , затѣмъ отложить отрѣзокъ  $\overline{RT} = \frac{\Sigma wl}{4\Sigma z}$ , перпендикулярный къ линіи  $A'B'$ , и провести прямая  $TA'$  и  $TB'$ . Тогда  $A'G''_1$  будетъ продолженіемъ прямой  $TA'$  и  $B'G''_2$  — продолженіемъ прямой  $TB'$ . Грузы  $P$ , лежащіе лѣвѣ  $A'$  или правѣ  $B$ , вызываютъ *отрицательный* горизонтальный распоръ  $H$ .

Если, напр., средняя часть  $AB$  имѣть размѣры, приведенные на фиг. 212 (№ 81, выпускъ VIII) для двухшарнирной арки, то между  $A$  и  $B$  можно сохранить  $H$ -линію, вычерченную на фиг. 212, безъ всякаго измѣненія. Мы получили бы тогда  $\Sigma w = [w_0 + w_1 + w_2 + w_3 + w_4] 2 + w_5 = [0,33^*) + 0,88 + 2,35 + 15,00] 2 + 20,00 = 57,12$ , а затѣмъ

$$\overline{RT} = \frac{\Sigma wl}{4 \cdot \Sigma z} = \frac{57,12 \cdot 20}{4 \cdot 18,356} = 1,56.$$

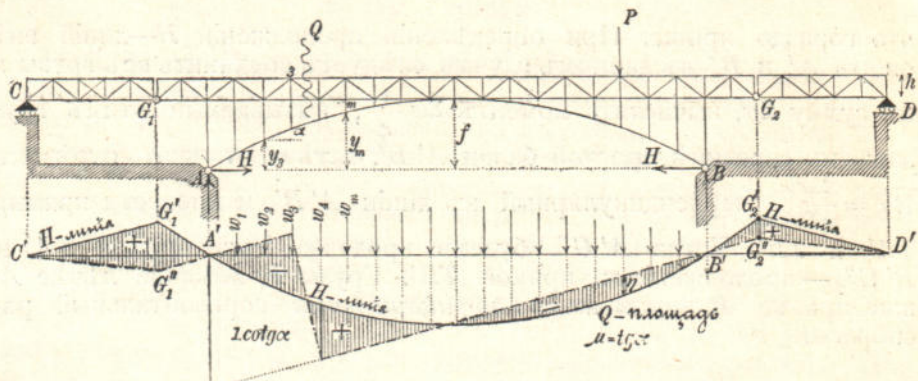
Горизонтальный распоръ отъ измѣненія температуры для всей системы равняется распору для двухшарнирной арки  $AB$ .

При построеніи остальныхъ линій вліяній изъ  $H$ -линіи необходимо помнить, что средній пролетъ при отсутствіи нагрузки на боковыхъ пролетахъ находится въ одинаковыхъ условіяхъ съ обыкновенной двухшарнирной аркой. Такъ напр., для построенія площади вліянія для  $M_m$  откладываемъ (также какъ и раньше на фиг. 221, стр. 26, выпускъ VIII) отрѣзокъ  $\overline{A'J} = 1 \frac{x_m}{y_m}$ , проводимъ  $JB'$ , опредѣляемъ точку  $m'$  на вертикали подъ  $m$ , соединяемъ  $m'$  съ  $A'$  и вычитаемъ площадь вліянія для  $H$  изъ площади треугольника  $A'm'B'$ , представляющаго площадь вліянія для количества  $\frac{M_{om}}{y_m}$ . Разность между обѣими площадями будетъ площадью вліянія для момента  $M_m$  въ двухшарнирной аркѣ  $AB$ ; множитель будетъ  $= y_m$ . Продолживъ прямые  $m'A'$  и  $m'B'$  до пересѣченія ихъ въ точкахъ  $G'_1, G'_2$  съ вертикалями точекъ  $G_1, G_2$  и проведя наконецъ прямые  $G'_1C', G'_2D'$ , мы получимъ, что многоугольникъ  $C'G'_1A'm'B'G'_2D'$ , отнесенный къ  $A'B'$ , какъ къ нулевой оси, представить линію вліянія для количества  $\frac{M_{om}}{y_m}$  для балки Гербера  $CABD$ ; площадь же,

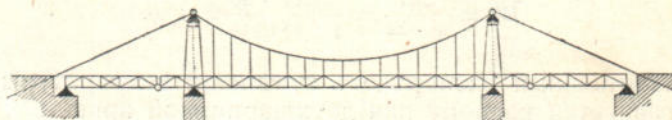
<sup>\*)</sup> Значеніемъ  $w_0 = \frac{h_0}{h_0^2} = \frac{1}{3,0} = 0,33$  мы раньше не пользовались, такъ какъ оно не имѣло вліяніе на моменты  $M_m$ .

заштрихованная на фиг. 300 между этой линіей и  $H$ —линией, представить искомую площадь вліянія для количества  $M_m$ .

**109. Шарнирная арка, усиленная балкой Гербера.** Подобно предыдущему изслѣдуются системы, представленные на фиг. 301 и 302. Сначала строятъ линіи вліянія для средняго про-



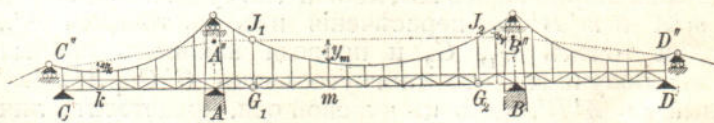
Фиг. 301.



Фиг. 302.

лета, считая, что боковыхъ пролетовъ какъ будто не существуетъ; затѣмъ уже эти линіи вліянія продолжаютъ въ сторону отъ  $A'$  и  $B'$  по правиламъ, описаннымъ въ предыдущемъ №. На фиг. 301 построена площадь вліянія для количества  $Q$ .

**110. Задачи для упражненія.** Можно посовѣтовать читателю заняться изслѣдованиемъ системъ, представленныхъ на фиг. 303 и 304. Жесткая цѣпь, усиленная балкой Гербера (шар-

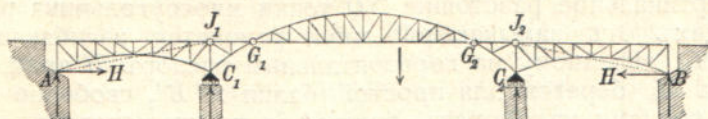


Фиг. 303.

ниры находятся въ среднемъ пролетѣ), была изслѣдovана уже въ № 68 (выпускъ VII); здѣсь слѣдуетъ найти  $H$ —линию съ помощью грузовъ  $w_m = y_m$  и затѣмъ опредѣлить значенія момен-

## Выпускъ IX.

тovъ изъ формулы, выведенной въ № 208 (выпускъ V, томъ I):  
 $M_m = M_{om} - Hy_m$ .



Фиг. 304

Арочная ферма на фиг. 304 расчитывается совершенно также, какъ и ферма, изслѣдованная въ № 67 и 73 (выпускъ VII). Вмѣсто ломанной линии  $AEC_1D_1FB$  на фиг. 183d (тамъ же) придется воспользоваться для вычисленія  $y_m$  ломанной линией  $AJ_1J_2B$ , проведенной черезъ шарниры  $G_1$  и  $G_2$ .

## § 11.

### Рѣшетчатыя арки съ задѣланными концами.

III. Арочная ферма съ задѣланными концами согласно общимъ изслѣдованіямъ, сдѣланнымъ въ № 64 (выпускъ VII), трижды статически неопредѣлимъ; для расчета ея необходимо составить три условія упругости. Составимъ здѣсь эти условія по двумъ различнымъ способамъ; по первому способу мы будемъ предполагать, что всѣ силы вертикальны, по второму же будемъ считать, что всѣ силы имѣютъ произвольное направление. Отмѣтимъ здѣсь то обстоятельство, что при выводѣ условій упругости всегда можно пре-небречь измѣненіями длины промежуточныхъ стержней. Дѣйствительно, въ аркахъ съ закрѣплеными концами вліяніе измѣненій температуры настолько значительны (а измѣненія температуры мы можемъ установить только приблизительно), что слишкомъ точное опредѣленіе вліянія остальныхъ причинъ здѣсь будетъ еще менѣе умѣстно, чѣмъ въ двухшарнирныхъ аркахъ.

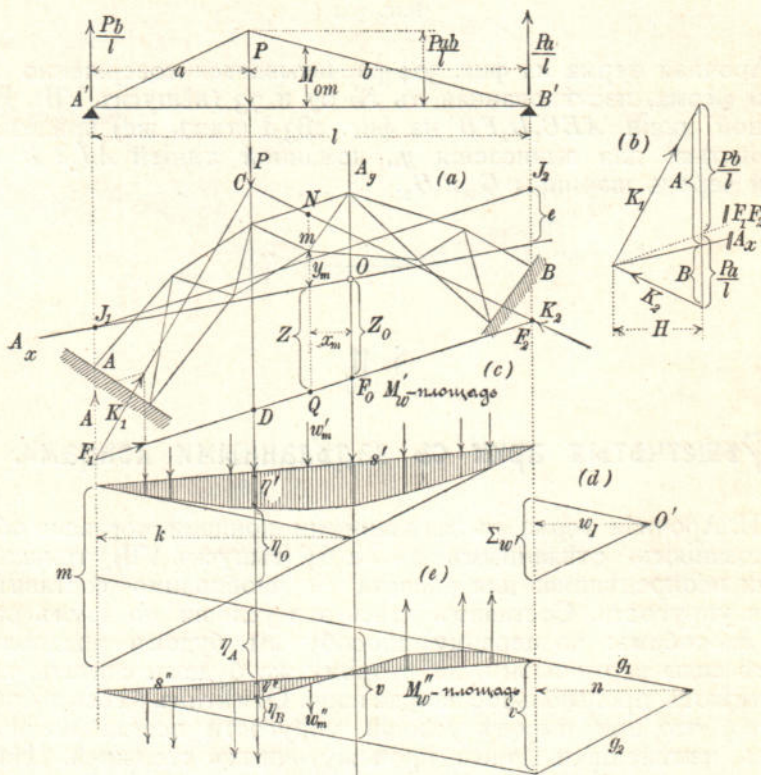
При расчетѣ рассматриваемыхъ арокъ слѣдуетъ также принять всюду равное сѣченіе для поясовъ ( $F_o = F_u = \text{const.}$ ), что упрощаетъ расчетъ.

#### a. Первый способъ.

**112. Вліяніе вертикального сосредоточенного груза** (фиг. 305). Сосредоточенный грузъ  $P$  вызываетъ въ опорахъ сопротивленія  $K_1$  и  $K_2$ , которые пересѣкаются съ силой  $P$  въ точкѣ  $C$ ; пусть эти сопротивленія пересѣкаютъ вертикали вѣнчанихъ опорныхъ

точекъ  $A$  и  $B$  въ точкахъ  $F_1$  и  $F_2$ . Ломанная линія  $F_1CF_2$  называется многоугольникомъ равнодѣйствующихъ, а прямая  $F_1F_2$ —замыкающей линіей.

Вертикальное разстояніе  $NQ$  точки многоугольника равнодѣйствующихъ отъ замыкающей линіи равняется изгибающему моменту  $M_o$ , дѣленному на горизонтальный распоръ  $H$  арки, причемъ моментъ  $M_o$  берется для простой балки  $A'B'$ , свободно лежащей своими концами на опорахъ, разстояніе между которыми =  $l$  \*).



Фиг. 305.

Поэтому будемъ имѣть:

$$\overline{CD} = \frac{Pab}{lH};$$

такимъ образомъ треугольникъ  $F_1CF_2$  и направленія  $K_1$  и  $K_2$  опредѣляются только тогда, когда будетъ задана замыкающая линія  $F_1F_2$  и величина горизонтального распора  $H$ .

Отнесемъ арочную ферму къ осамъ координатъ вертикальной  $A_y$  и наклонной  $A_x$ . Наклонъ оси  $A_x$  и положеніе начала координатъ  $O$  возьмемъ предварительно произвольными. Положеніе замы-

\*.) Мы рассматриваемъ здѣсь фигуру  $F_1CF_2$  какъ площадь моментовъ по Кульману для простой балки  $A'B'$ .

кающей линії опредѣлимъ заданіемъ точки пересѣченія ея  $F_o$  съ осью  $A_y$ , т. е. заданіемъ отрѣзка  $z_o$ , фиг. 305 а, и другаго отрѣзка  $e$ , который отсѣкается на вертикаліи точки  $B$  прямой  $J_1J_2$ , проведенной параллельно замыкающей линії.

При опредѣленіи изгибающаго момента  $M_m$  для какого нибудь узла  $m$  проведемъ черезъ  $m$  вертикальное сѣченіе, которое пересѣчть направление опорнаго сопротивленія (здѣсь  $K_2$ ) въ точкѣ  $N$ , и затѣмъ разложимъ это сопротивленіе въ точкѣ  $N$  на составляющія вертикальную и горизонтальную; тогда получимъ:

$$M_m = H \cdot \overline{Nm}.$$

Пусть  $y_m$  вертикальное и  $x_m$  горизонтальное разстояніе между точкой  $m$  и осями  $A_x$  и  $A_y$ , тогда будемъ имѣть:

$$\overline{Nm} = \overline{NQ} - y_m - z,$$

$$\frac{z - z_o}{x_m} = \frac{c}{l}, \text{ или } z = \frac{c}{l} x_m + z_o,$$

а затѣмъ, такъ какъ  $H \cdot NQ = M_{om}$ , найдемъ

$$(1) \quad M_m = M_{om} - Hy_m - \frac{He}{l} x_m - Hz_o.$$

Введемъ слѣдующія обозначенія:

$$(2) \quad Hz_o = X'; \quad \frac{He}{l} = X''; \quad H = X''',$$

тогда получимъ уравненіе

$$(3) \quad M_m = M_{om} - X' - X'' x_m - X''' y_m,$$

по которому можно вычислить моменты  $M_m$ , если только будутъ найдены *три статически неопределенные величины*  $X'$ ,  $X''$ ,  $X'''$ .

Для вычисленія величинъ  $X$  можно воспользоваться уравненіями (V) (стр. 68, выпускъ VII). Предположимъ, что опоры неожидаются, т. е. возьмемъ  $L' = 0$ ,  $L'' = 0$ ,  $L''' = 0$ .

Деформаціями промежуточныхъ стержней можно также пре-небречь.

Усилие въ стержнѣ пояса, лежащаго противъ узла  $m$ , равняется

$$(4) \quad S = \mp \frac{M_m}{r_m},$$

причемъ верхній знакъ относится къ верхнему поясу, нижній къ нижнему. Состояніемъ нагрузки  $X' = -1$ ,  $X'' = -1$ ,  $X''' = -1$  соответствуютъ моменты:

$$(5) \quad M'_{om} = +1; \quad M''_{om} = +x_m; \quad M'''_{om} = +y_m$$

и усилия:

$$(6) \quad S' = \mp \frac{1}{r_m}; \quad S'' = \mp \frac{x_m}{r_m}; \quad S''' = \mp \frac{y_m}{r_m}.$$

Если выбрать оси координатъ  $A_x$ ,  $A_y$  такимъ образомъ, чтобы суммы

$$\Sigma S' S'' \frac{s}{EF}; \quad \Sigma S' S''' \frac{s}{EF}; \quad \Sigma S' S''' \frac{s}{EF} \quad *)$$

изчезли, т. е., чтобы были удовлетворены условія

$$(7) \quad \Sigma \frac{x_m s_m}{EF_m r_m^2} = 0; \quad \Sigma \frac{y_m s_m}{EF_m r_m^2} = 0; \quad \Sigma \frac{x_m y_m s_m}{EF_m r_m^2} = 0,$$

тогда уравненія (V) для одного сосредоточенного груза  $P$  обратятся въ слѣдующія:

$$(8) \quad \begin{cases} X' \Sigma \frac{s_m}{EF_m r_m^2} = P \delta' + \Sigma S' \varepsilon t s \\ X'' \Sigma \frac{x_m^2 s_m}{EF_m r_m^2} = P \delta'' + \Sigma S'' \varepsilon t s \\ X''' \Sigma \frac{y_m^2 s_m}{EF_m r_m^2} = P \delta''' + \Sigma S''' \varepsilon t s, \end{cases}$$

гдѣ  $\delta'$ ,  $\delta''$ ,  $\delta'''$  означаютъ ординаты подъ грузомъ  $P$  линій прогибовъ, соотвѣтствующихъ состояніямъ  $X' = -1$ ,  $X'' = -1$ ,  $X''' = -1$ .

Для дальнѣйшаго упрощенія расчета примемъ для всѣхъ стержней поясовъ одно и тоже поперечное сѣченіе  $F'$  (среднее значеніе  $F_m$ ) и предположимъ, что количества  $E$ ,  $\varepsilon$ ,  $t$  постоянны. Умножимъ уравненіе (8) на  $EF$  и, введя обозначеніе  $\frac{s_m}{r_m^2} = w'_m$  \*\*\*) найдемъ выраженія, опредѣляющія вліяніе сосредоточенного груза  $P$ :

$$(9) \quad X' = P \frac{EF \delta'}{\Sigma w'_m}; \quad X'' = P \frac{EF \delta''}{\Sigma x_m^2 w'_m}; \quad X''' = P \frac{EF \delta'''}{\Sigma y_m^2 w'_m},$$

и затѣмъ вліяніе равномѣрнаго нагрѣванія на  $t^0$ :

$$(10) \quad X_t' = \frac{\varepsilon E F t \Sigma S' s}{\Sigma w'_m}; \quad X_t'' = \frac{\varepsilon E F t \Sigma S'' s}{\Sigma x_m^2 w'_m}; \quad X_t''' = \frac{\varepsilon E F t \Sigma S''' s}{\Sigma y_m^2 w'_m}.$$

Условія, которыя должны быть удовлетворены соотвѣтственнымъ выборомъ положенія осей  $A_x$ ,  $A_y$ , таковы:

$$(11) \quad \Sigma x_m w'_m = 0, \quad \Sigma y_m w'_m = 0, \quad \Sigma x_m y_m w'_m = 0.$$

Если приложить къ узлу  $m$  грузъ  $w'_m$ , то уравненія (11) потребуютъ:

- 1) совпаденія начала  $O$  съ центромъ силъ для грузовъ  $w'$ ,
- 2) и проведенія направленія оси  $A_x$  такъ, чтобы центробѣжный моментъ грузовъ  $w'$  равнялся нулю.

\*) Въ указанныхъ уравненіяхъ (V)  $\rho = \frac{s}{EF}$ .

\*\*) Когда поперечные сѣченія  $F_m$  взяты разными, то надо положить  $w'_m = \frac{S_m}{r_m^2} \frac{F}{F_m}$ .

Обыкновенно употребляются арки, симметричныя относительно вертикальной оси. Тогда ось  $A_y$  совпадаетъ съ осью симметрии, а ось  $A_x$  съ горизонтальною осью, проходящею черезъ центръ силъ  $w$ .

При нѣсколько наклоненыхъ аркахъ, когда разница въ высотахъ опоръ невелика, поступаютъ какъ при симметричныхъ аркахъ, фиг. 306, т. е. придаютъ соотвѣтствующимъ узламъ обѣихъ половинъ арки равные грузы  $w'$  (\*). Такимъ образомъ получаемъ, что ось  $A_y$  совпадаетъ со среднею вертикальною прямою, а ось  $A_x$  направится по оси, проходящей черезъ центръ силъ  $w'$  и параллельной линіи  $A'B'$ .

Въ общемъ случаѣ оси  $A_x$ ,  $A_y$  опредѣляются слѣдующимъ образомъ. Сначала относимъ арку къ произвольнымъ прямоугольнымъ осямъ координатъ  $x'$ ,  $y'$  съ горизонтальной осью  $x'$  (фиг. 307) и вычисляемъ суммы:

$$\Sigma w', \Sigma w' x', \Sigma w' y', \Sigma w' x'^2, \Sigma w' y'^2; \\ \Sigma w' x' y';$$

обозначимъ буквами  $\xi$ ,  $\eta$  координаты точки  $O$  относительно осей  $x'$ ,  $y'$ , буквой  $\alpha$  уголъ наклоненія  $A_x$  къ оси  $x'$ , тогда получимъ:

$$x = \xi - x', \\ y = y' - x' \operatorname{tg} \alpha - (\eta - \xi \operatorname{tg} \alpha).$$

Изъ уравненій  $\Sigma w' x = 0$ ,  $\Sigma w' y = 0$ ,  $\Sigma w' xy = 0$  найдемъ:

$$(12) \quad \left\{ \begin{array}{l} \xi = \frac{\Sigma w' x'}{\Sigma w'}, \quad \eta = \frac{\Sigma w' y'}{\Sigma w'} \\ \operatorname{tg} \alpha = \frac{\xi \Sigma w' y' - \Sigma w' x' y}{\xi \Sigma w' x' - \Sigma w' x'^2}. \end{array} \right.$$

Наконецъ опредѣлимъ еще выраженія:

$$\Sigma w' x^2 = \Sigma w' x'^2 - \xi^2 \Sigma w', \\ \Sigma w' y^2 = \Sigma w' y'^2 - \eta^2 \Sigma w' - \operatorname{tg}^2 \alpha \Sigma w' x^2.$$

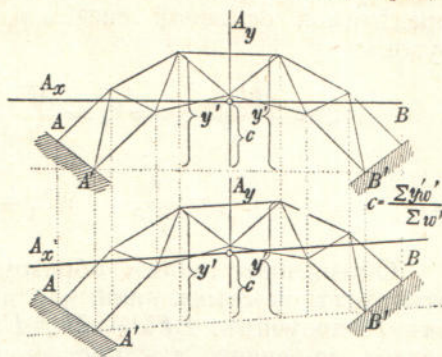
Опредѣленіе  $\operatorname{tg} \alpha$ , основанное на построеніи моментовъ втораго порядка, можно выполнить, конечно, и графически (см. § 5—7, выпускъ I, томъ I),

Проведя оси  $A_y$ ,  $A_x$ , опредѣлимъ числители выражений (9) для количествъ  $X'$ ,  $X''$ ,  $X'''$  слѣдующимъ образомъ.

Примемъ во вниманіе, что состояніямъ нагрузокъ  $X' = -1$ ,  $X'' = -1$ ,  $X''' = -1$  соотвѣтствуютъ моменты:

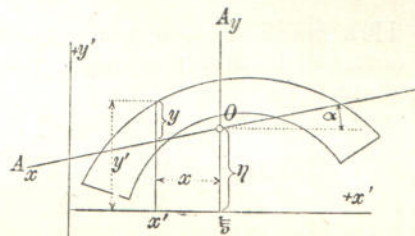
$$(13) \quad M'_{m=1} = 1; \quad M''_{m=1} = \frac{x_m}{r_m}; \quad M'''_{m=1} = \frac{y_m}{r_m}$$

<sup>\*</sup>) Это предположеніе настолько же допустимо, какъ и положеніе  $F : F_m = 1$



Фиг. 306.

Фиг. 306.



Фиг. 307.

Фиг. 307.

и что величины прогибовъ  $\delta'$ ,  $\delta''$ ,  $\delta'''$ , умноженные на  $EF$ , можно рассматривать какъ моменты для простой балки  $A'B'$  (статически опредѣлимой основной системы), находящейся подъ дѣйствиемъ грузовъ:

$$w'_{\text{m}} = \frac{M'_{\text{m}} s_m}{r_m^2}; \quad w''_{\text{m}} = \frac{M''_{\text{m}} s_m}{r_m^2}; \quad w'''_{\text{m}} = \frac{M'''_{\text{m}} s_m}{r_m^2} *), \quad \text{т. е.}$$

$$(14) \quad w'_{\text{m}} = \frac{s_m}{r_m^2}; \quad w''_{\text{m}} = \frac{x_m s_m}{r_m^2}; \quad w'''_{\text{m}} = \frac{y_m s_m}{r_m}.$$

Обозначивъ такимъ образомъ буквами  $M'_w$ ,  $M''_w$ ,  $M'''_w$  ординаты этихъ простыхъ линий для моментовъ, [измѣренные подъ грузомъ  $P$ , получимъ:  $EF\delta' = M'_w$ ;  $EF\delta'' = M''_w$ ;  $EF\delta''' = M'''_w$  и затѣмъ найдемъ уравненія для построенія линий вліянія для количествъ  $X'$ ,  $X''$ ,  $X'''$ :

$$(15) \quad X' = P \frac{M'_w}{\Sigma w'}; \quad X'' = P \frac{M''_w}{\Sigma x_m w''_m}; \quad X''' = P \frac{M'''_w}{\Sigma y_m w'''_m} **).$$

Изъ линий вліянія для количествъ  $X'$ ,  $X''$ ,  $X'''$  можно получить всѣ остальные линии вліянія; исполнить это можно нѣсколькими способами.

1) Съ помощью уравненій

$$\frac{M_m}{h_m} = \frac{M_{om}}{h_m} - \frac{X'}{h_m} - X'' \frac{x_m}{h_m} - X''' \frac{y_m}{h_m}$$

опредѣляемъ линии вліянія для количествъ ( $M:h$ ), а отсюда (по стр. 23 и 24, выпускъ VIII) линии вліянія для усилий въ стержняхъ.

Вместо  $\frac{X'}{h_m}$  напишемъ  $\frac{X'}{d} \frac{d}{h_m}$ , где  $d$  означаетъ произвольный отрѣзокъ. Умноженіе количества  $\frac{X'}{d}$ ,  $X''$ ,  $X'''$  на  $\frac{d}{h_m}$ ,  $\frac{x_m}{h_m}$ ,  $\frac{y_m}{h_m}$  производится (по № 71, выпускъ VII) при помощи угла, тангенсъ котораго равняется множителю.

2) Опредѣляемъ многоугольникъ равнодѣйствующихъ  $F_1CF_2$  (фиг. 305) для различныхъ положеній сосредоточенного груза  $P=1$  и пользуемся имъ для вычисленія ординатъ линии вліянія для количествъ ( $M:h$ ).

3) Построивъ линии вліянія для усилий въ поясахъ, опредѣляемъ линии вліянія для усилий въ промежуточныхъ стержняхъ (по № 72, выпускъ VII).

\*) См. стр. 92 (выпускъ VII), уравненіе (2), где принято  $\frac{F_c}{F_m} = 1$ .

\*\*) Уравненіе для  $H = X'''$  соотвѣтствуетъ формулѣ, полученной въ § 7 (выпускъ VIII) для вычисленія горизонтального распора двухшарнирной арки. Здѣсь только  $y$  взято относительно другой оси. Обратимъ здѣсь еще разъ вниманіе на разныя преобразованія и сокращенія, сдѣланныя въ § 7 для различныхъ частныхъ случаевъ: тоже самое можно примѣнить и къ арочнымъ фермамъ съ задѣланными концами.

4) Прикладываемъ единицу груза  $P$  по порядку къ каждой точкѣ прикрепленія поперечной балки, строимъ отдельно для каждого такого состоянія нагрузкы диаграмму усилий Кремоны и съ помощью этихъ диаграммъ опредѣляемъ линіи вліянія для усилий въ стержняхъ.

**113.** Построеніе многоугольника равнодѣйствующихъ  $F_1CF_2$  (фиг. 305) производится съ помощью определенія значеній  $z_0 = \frac{X'}{H}$  и  $e = \frac{X''}{H}l$ ; кроме того эту задачу можно разрѣшить еще слѣдующимъ образомъ.

Соединяя грузы  $w'$  и  $w''$  веревочными многоугольниками (фиг. 305), для которыхъ взяты полюсныя разстоянія  $w_1$  и  $w_{II}$  \*), и проведя замыкающія линіи  $s', s''$ , мы получимъ моменты

$$M'_{w'} = w_1 \eta'; \quad M''_{w''} = w_{II} \eta'' \quad (\text{фиг. 305 с и е}).$$

Внѣшніе бока первого веревочного многоугольника пересѣкаются на оси  $A_y$ , такъ какъ эта прямая представляетъ вертикальную ось, проходящую черезъ центръ силъ  $w'$ ; мы найдемъ здѣсь:

$$\Sigma w': w_1 = m:k \quad \text{или} \quad \Sigma w' = w_1 \frac{m}{k} \quad \text{и (по уравн. 15).}$$

$$X' = P \frac{\eta' k}{m}.$$

Внѣшніе бока втораго веревочного многоугольника отсѣкаются на оси  $A_y$  отрѣзокъ  $v = \frac{\Sigma x w''}{w_{II}}$ ; эти бока между собой параллельны, потому что сумма грузовъ  $w'$  (а именно  $\Sigma w'' = \Sigma x w'$ ) равна нулю, а поэтому равнодѣйствующая сила  $w''$  безконечно мала и лежить въ бесконечности. По уравн. (15) находимъ:

$$X'' + P \frac{\eta''}{v},$$

а если единица груза  $P$  измѣряется отрѣзкомъ  $v$ , то получаемъ:

$$X'' = \eta''; \quad X' = \frac{vk}{m} \eta' = n \eta',$$

гдѣ  $n$  (на фиг. 305) опредѣляется съ помощью прямыхъ  $g_1$  и  $g_2$ , проведенныхъ параллельно внѣшнимъ бокамъ первого веревочного многоугольника (фиг. 305 е).

Разложимъ опорныя сопротивленія  $K_1$  и  $K_2$  по вертикальному направлению и по направлению оси  $A_x$  и обозначимъ вертикальныя составляющія буквами  $A$  и  $B$  (фиг. 305 б), тогда легко найдемъ:

$$A:H = \left( \overline{CD} + \frac{e}{l} a \right) : a, \quad \text{гдѣ } CD = \frac{Pab}{lH},$$

\* ) Для первого веревочного многоугольника на фиг. 305 д соответствующей многоугольникъ силь вычерченъ только частью.

поэтому

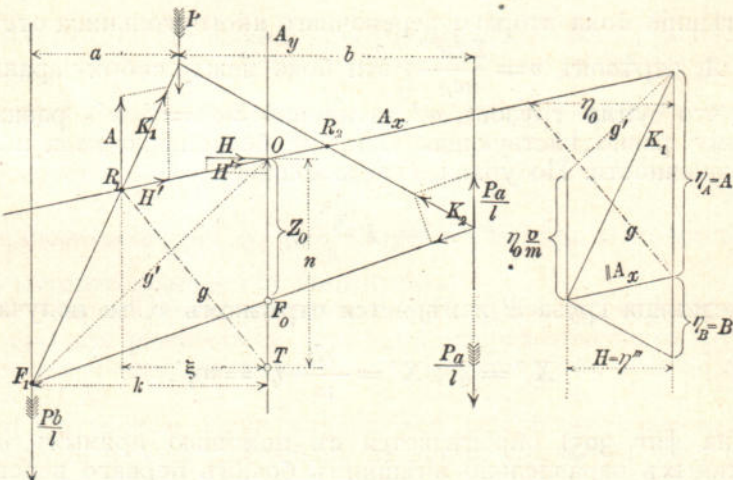
$$A = \frac{Pb}{l} + \frac{He}{l} = \frac{Pb}{l} + X'' = \frac{vb}{l} + \eta'',$$

а отсюда слѣдуетъ, что веревочный многоугольникъ для грузовъ  $w''$  раздѣляеть на двѣ части

$$\eta_A = A \text{ и } \eta_B = B$$

тотъ отрѣзокъ  $v = P$ , который получается на направлениі груза  $P$  при пересѣченіи его виѣшними боками этого веревочнаго многоугольника. Если такимъ образомъ отрѣзокъ  $\eta''$  представляетъ величину горизонтальнаго распора  $H$ , опредѣленнаго съ помощью веревочнаго многоугольника, соединяющаго грузы  $w''$  (это возможно сдѣлать, потому что по уравн. 15 сила  $X'' = H$  пропорціональна  $\eta''$ ), то мы будемъ въ состояніи опредѣлить сопротивленія опоръ по величинѣ и направлению; остается только опредѣлить еще одну точку многоугольника  $F_1CF_2$  (фиг. 308).

Въ особенности легко опредѣляются точки пересѣченія  $R$  опорныхъ сопротивленій съ осью  $A_x$ . Обозначимъ буквой  $\xi$  разстояніе точки  $R_1$  отъ  $A_y$  и вычислимъ этотъ отрѣзокъ, приравнявъ нулю сумму моментовъ силъ  $K_1$ ,  $K_2$ ,  $P$ , находящихся въ равновѣсіи, относительно точки  $F_0$ . Но раньше этого замѣнимъ силу  $P$  двумя составляющими  $\frac{Pb}{l}$  и  $\frac{Pa}{l}$ , приложенными къ точкамъ  $F_1$  и  $F_2$ , разложимъ  $K_1$  и  $K_2$ , какъ показано на фиг. 308, перенесемъ составляющую силы  $K_1$ , совпадающую съ осью  $A_x$ , въ точку  $O$  и



Фиг. 308.

разложимъ ее тамъ по горизонтальному и вертикальному направлѣніямъ. Вышеупомянутое уравненіе моментовъ напишется такъ:

$$1\xi + Hz_0 - \frac{Pb}{l}k = 0, \text{ т. е.}$$

$$\eta_A\xi + n\eta' - v \frac{b}{l}k = 0;$$

такъ какъ  $v \frac{k}{m} = n$ , то изъ него получимъ:

$$\xi = \frac{n}{\eta_A} \left( b \frac{m}{l} - \eta' \right) = \frac{n\eta_0}{\eta_A},$$

гдѣ  $\eta_0$  означаетъ на фиг. 305 отрѣзокъ, отсѣкаемый на направлениіи груза  $P$  веревочнымъ многоугольникомъ для грузовъ  $w'$  и послѣднимъ его бокомъ. Вытекающее отсюда графическое опредѣленіе точки  $R_1$  показано на фиг. 308; прямая  $TR_1$ , проведенная изъ точки  $T$ , взятой на постоянномъ разстояніи  $n$  отъ точки  $O$ , будетъ параллельна прямой  $g$ .

Также легко найти и точку  $F_1$ . Для этого откладываемъ кверху отъ нижней конечной точки сопротивленія  $K_1$  отрѣзокъ  $\eta_0 \frac{v}{m}$ , проводимъ прямую  $g'$  и затѣмъ  $OF_1 \parallel g'$ . Доказать это не трудно.

Въ особенности просто производится двойное опредѣленіе положенія сопротивленія  $K_2$ , если только произвольное полюсное разстояніе для веревочнаго многоугольника  $\Pi$  выбрать такъ, чтобы  $v = m$  (что легко сдѣлать съ помощью двойнаго построенія веревочнаго многоугольника). Тогда будемъ имѣть  $\eta_0 \frac{v}{m} = \eta_0$  и  $n = k$ .

**114.** Примѣнимъ только что описанный способъ къ симметричной арочной фермѣ, фиг. 309 а., причемъ будемъ пользоваться правилами построенія моментовъ высшихъ степеней параллельныхъ силъ, описанными въ I томѣ (№ 20, фиг. 26, выпускъ I).

Примемъ грузы  $w' = \frac{s}{r^2}$ , опредѣляемые непосредственнымъ вычислениемъ, за вертикальныи силы и свяжемъ ихъ въ такомъ порядке  $w'_1, w'_2, w'_3, \dots$  веревочнымъ многоугольникомъ  $I$  (полюсъ  $O_I$ , полюсное разстояніе  $w_I$ ).

Полюсное разстояніе  $w_I$  можно взять произвольнымъ. Бока веревочнаго многоугольника  $I$  отсѣкаются на оси  $A_y$  отрѣзки  $\frac{w'x}{w_I}$ , пропорціональные грузамъ  $w''$ ; эти отрѣзки положительны для узловъ лѣвой половины фермы и отрицательны для узловъ правой половины. Разматривая эти отрѣзки какъ вертикальныи силы, замѣняющія силы  $w'$ , соединяя ихъ веревочнымъ многоугольникомъ  $\Pi$  (полюсъ  $O_\Pi$ , произвольное полюсное разстояніе  $= w_{II}$ ) и измѣряя отрѣзки  $\eta_A, \eta_B, r$ , отсѣкаемые веревочнымъ многоугольникомъ  $\Pi$  и его виѣшнями боками на вертикалѣ груза  $P$ , получимъ:

$$\eta_A : \eta_B : v = A : B : P,$$

а въ масштабѣ силъ  $P = v$ :

$$\eta_A = A; \quad \eta_B = B.$$

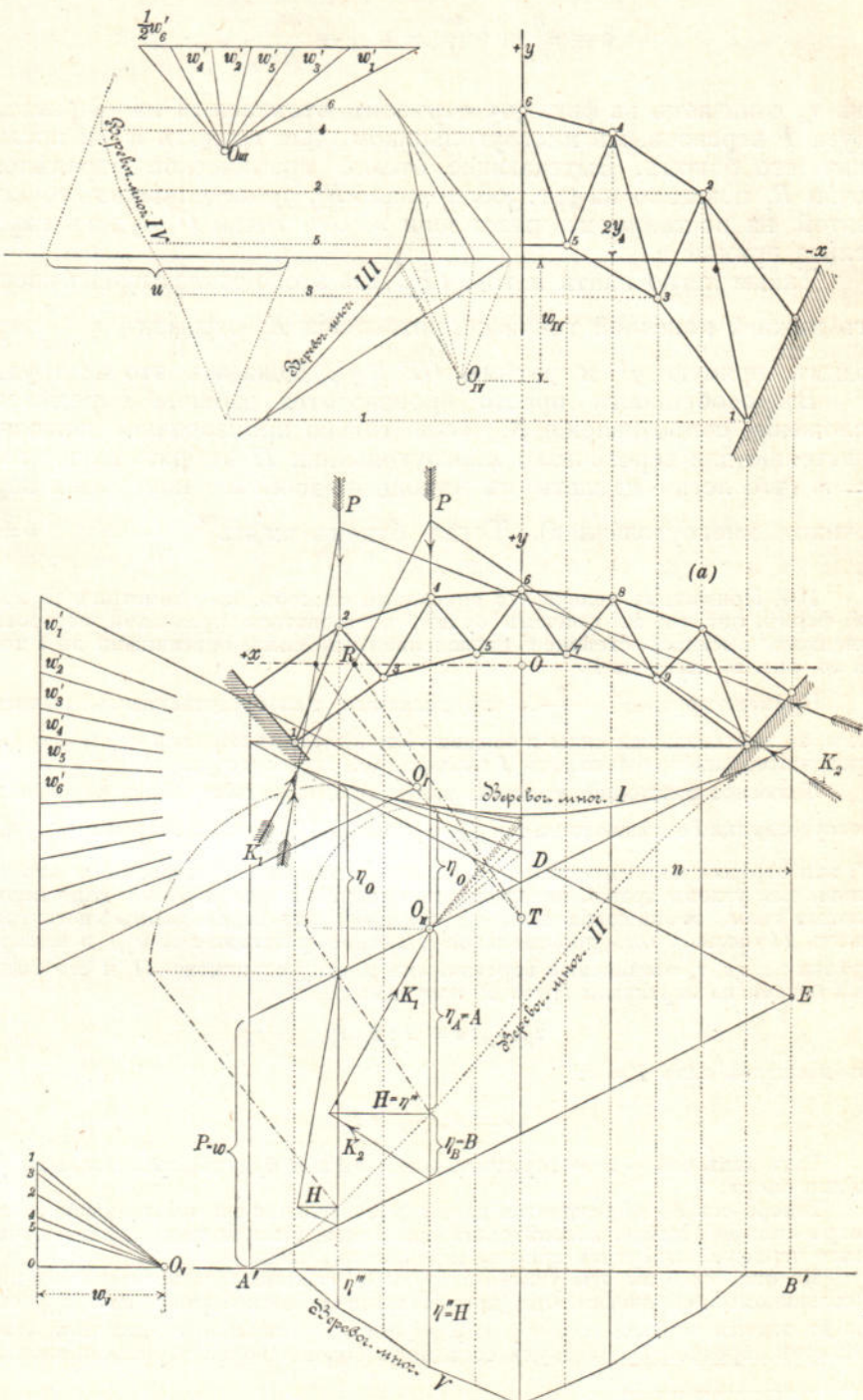
Такъ какъ ось  $-x$  горизонтальна, то  $A$  и  $B$  будутъ вертикальными реаکциями опоръ.

Теперь ось  $A_x$  опредѣлится какъ горизонтальная ось, проходящая черезъ центръ силъ  $w'$ . Можно посовѣтовать при этомъ, ради полученія болѣе отчетливаго чертежа, вычертить арку въ искаженномъ видѣ.

На фиг. 309 въ высоты удвоены; грузы  $w'$  соединяются веревочнымъ многоугольникомъ  $\Pi$  (полюсъ  $O_\Pi$ , произвольное полюсное разстояніе  $w_{III}$ ) сначала въ такомъ порядке  $w'_1, w'_3, w'_2, w'_4, \frac{1}{2}w'_6$  \*); сдѣлано это для того, чтобы избѣгнуть перекрещиванія двухъ сосѣднихъ боковъ. Точка пересѣченія виѣш-

\*) Взято  $\frac{1}{2}w'_6$ , потому что разматривается только половина симметричной арки.

нихъ боковъ опредѣлить ось  $A_x$ ; на этой оси бока веревочнаго многоугольника отсѣкъють отрѣзки  $\frac{w' \cdot 2y}{w_{III}}$ , пропорціональные грузамъ  $w'''$ ; эти отрѣзки надо



Фиг. 309.

считать положительными или отрицательными, смотря по тому соотвѣтствуютъ ли они узламъ, лежащимъ выше или ниже оси  $A_x$ . Эти отрѣзки принимаемъ (вмѣсто  $w'$ ) за горизонтальныя силы, а силы связываемъ веревочнымъ многоугольникомъ  $IV$  (полюсъ  $O_{IV}$ , произвольное полюсное разстояніе  $w_{IV}$ ), виѣшне бока котораго отсѣкутъ на оси  $A_x$  отрѣзокъ  $u$ , который удовле-творяетъ такому равенству:

$$uw_{IV} = \Sigma \frac{w' 2y}{w_{III}} 2y.$$

Отсюда получаемъ для половины арки  $\Sigma w' y^2 = 1/4 w_{III} w_{IV} u$  и для всей фермы:

$$\Sigma w' y^2 = 1/2 w_{III} w_{IV} u.$$

Для опредѣленія моментовъ  $M_{w''''}$ , входящихъ въ искомое выраженіе для

$$H = X''' = P \frac{M_{w''''}}{\Sigma w' y^2},$$

принимаемъ отрѣзки  $\frac{2yw'}{w_{III}}$  (вмѣсто  $w'$ ) за вертикальныя силы и связываемъ ихъ веревочнымъ многоугольникомъ  $V$  (полюсъ  $O_V$ , полюсное разстояніе  $w_V$ ), но теперь уже въ такомъ порядке 1, 2, 3, . . . \*). Если  $\eta'''$  будетъ ординатой этого веревочнаго многоугольника, то изгибающій моментъ для балки  $A'B'$ , находящейся подъ дѣйствиемъ грузовъ  $\frac{2yw'}{w_{III}}$ , равняется  $w_V \eta'''$ ; поэтому для балки, находящейся подъ дѣйствиемъ грузовъ  $w''' = w'y$ , получимъ:

$$M_{w''''} = 1/2 w_{III} w_V \eta''', \text{ а затѣмъ}$$

$$H = P \frac{w_V \eta'''}{w_{IV} u} = \frac{v w_V}{w_{IV} u} \eta'''.$$

Если выбрать  $w_V = \frac{w_{IV} \cdot u}{v}$  (напр.  $w_{IV} = 1/2 v$  и  $w_V = 1/2 u$ , какъ это сдѣлано на фиг. 309 \*\*), то найдемъ

$$H = \eta''',$$

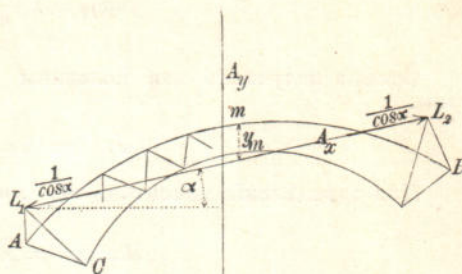
а теперь мы уже въ состояніи опредѣлить сопротивленія опоръ  $K_1$  и  $K_2$  для каждого сосредоточеннаго груза. Для того чтобы найти положеніе этихъ силъ, опредѣляемъ съ помощью прямой  $ED$ , параллельной первому боку веревочнаго многоугольника  $I$ , отрѣзокъ  $u$  и откладываемъ его по оси  $A_y$  отъ  $O$  внизъ до  $T$  (фиг. 308). Повернемъ теперь вѣво на  $90^\circ$  отрѣзокъ  $\eta_0$ , отсѣкаемый на направлении силы  $P$  веревочнымъ многоугольникомъ  $I$  и его послѣднимъ бокомъ, соединимъ конечную точку этого отрѣзка съ концемъ отрѣзка  $\eta_A$  прямою линіею (пунктирною) и проведемъ къ ней параллельную изъ точки  $T$ ; послѣдняя пересѣтъ ось  $A_x$  въ точкѣ, черезъ которую пройдетъ направлениe  $K_1$ .

**115. Вліяніе измѣненія температуры.** Для вычислениія значеній  $X$ , зависящихъ отъ измѣненія температуры, можно было бы воспользоваться уравненіями (10) и (6); больше же преимуществъ имѣеть слѣдующій пріемъ.

\*.) Въ соотвѣтствующей діаграммѣ порядокъ лучей указанъ цифрами.

\*\*) Единственное полюсное разстояніе —  $w_V$ , которое взято не произвольно, а выведено въ зависимости отъ предыдущихъ полюсныхъ разстояній. Масштабъ, въ которомъ отложено  $w'$ , пока рѣчь идетъ о вліяніи грузовъ (но не измѣненія температуры), можетъ быть произвольнымъ.

Представимъ себѣ, что двѣ равныя, но противоположно другъ отъ друга направленныя силы  $\frac{I}{\cos\alpha}$  (фиг. 310) вызываютъ усилия  $S''' = \mp 1 \frac{y_m}{r_m}$ ; силы эти совпадаютъ съ осью  $A_x$  (уголь наклоненія которой  $= \alpha$ ), а точки приложенія ихъ  $L_1$  и  $L_2$  соединены съ концами арки жесткими стержнями \*). Тогда подъ  $\frac{I}{\cos\alpha}$  мы будемъ подразумѣвать усилие (а именно *сжатие*), которое существуетъ отъ какой либо причины въ стержнѣ, соединяющемъ узлы  $L_1$  и  $L_2$ ; примѣнимъ теперь къ такой свободной рѣшеткѣ (безъ опоръ), подверженной дѣйствию внутреннихъ силъ, законъ возможныхъ перемѣщений, приписывая длинѣ стержней  $s$  измѣненія длины  $\omega \cdot s$ , где  $\omega$  имѣеть постоянное значеніе. Мы получимъ тогда уравненіе работы



Фиг. 310.

$$\Sigma S''' \omega_S + \Sigma S''' \omega_S - \frac{I}{\cos z} \cdot \omega \overline{L_1 L_2} = 0,$$

гдѣ первый членъ относится къ стержнямъ арки, второй къ добавленнымъ жесткимъ стержнямъ, за исключениемъ стержня  $L_1L_2$ , и, наконецъ, третій относится къ стержню  $L_1L_2$ . Сокративъ уравненіе на  $\omega$  и выбравъ точки  $L_1L_2$  такъ, чтобы  $\Sigma s = 0$ , получимъ

$$\Sigma S''' s = \overline{L_1 L_2} \frac{\text{I}}{\cos \alpha};$$

затѣмъ легко получаемъ выраженіе

$$(16) \quad X_t''' = \frac{\varepsilon Eftl'''}{\cos \alpha + \Sigma y_m w''_m},$$

где  $l'''$  означает длину отрезка  $L_1 L_2$ .

Для определения точки  $L_1$  обозначимъ длину стержней  $AL_1$ ,  $CL_1$ ,  $AC$  буквами  $a$ ,  $b$ ,  $c$ , а усилия, вызываемыя въ этихъ стержняхъ силою  $\frac{I}{\cos \alpha}$ , буквами  $S_a'''$ ,  $S_b'''$ ,  $S_c'''$  и постараемся удовлетворить уравнению

$$S_a''' a + S_b''' b + S_c''' c = 0.$$

\*) Эти силы вызывают изгибающий момент  $M_m = \frac{I}{\cos \alpha} (y_m \cos \alpha) = y_m$  и усилия  $S'''_m = \mp \frac{y_m}{r_m}$ . Эта формула применима также и к промежуточным стержням; вместо узлов  $m$  надо взять определенные точки вращения, относительно которых составляются уравнения моментов по Риттеру.

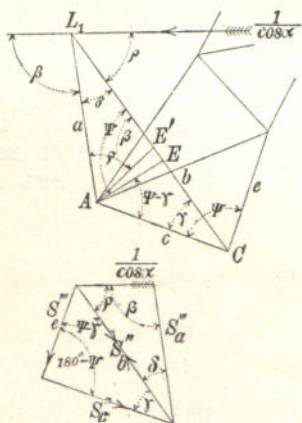
Когда первый промежуточный стержень рѣшетчатой арочной фермы проходитъ черезъ точку  $A$ , то получимъ диаграмму усилий, фиг. 311, гдѣ  $S_e'''$  означаетъ усиление въ первомъ стержнѣ нижняго пояса. Обозначимъ буквами углы на фиг. 311, причемъ проведемъ  $AE$  и  $AE'$  такъ, чтобы  $\angle L_1EA = \psi$  и  $\angle L_1E'A = \beta$ , тогда получимъ:

$$\frac{-S_e'''}{S_b'''} = \frac{\sin(\psi - \gamma)}{(\sin 180^\circ - \psi)} = \frac{\overline{CE}}{\overline{AC}} = \frac{\overline{CE}}{c},$$

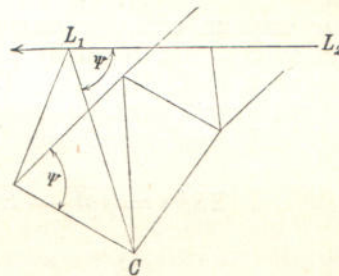
$$\frac{-S_a'''}{S_b'''} = \frac{\sin \varphi}{\sin \beta} = \frac{\overline{L_1E'}}{\overline{AL_1}} = \frac{\overline{L_1E'}}{a},$$

а отсюда:

$$S_a'''a + S_b'''(CE + L_1E') + S_c'''c = 0.$$



Фиг. 311.



Фиг. 312.

Выше написанное условіе будетъ удовлетворено поэтому тогда: когда  $CE + L_1E' = b$ , т. е. когда  $\beta = \psi$ .

Подобно этому можемъ вывести заключеніе и для другаго случая, когда первый промежуточный стержень проходитъ черезъ  $C$  (фиг. 312); тогда для удовлетворенія условію  $aS_a''' + bS_b''' + cS_c''' = 0$  уголъ  $L_2L_1C$  долженъ равняться  $\psi$ .

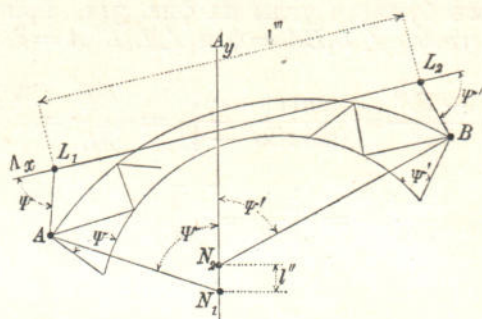
Такимъ же точно способомъ находится точка  $L_2$ ; слѣдовательно, длина отрѣзка  $\overline{L_1L_2} = l'''$  опредѣлена. Слѣдуетъ разсмотрѣть еще фиг. 313, гдѣ крайніе промежуточные стержни проходятъ черезъ  $A$  и  $B$ .

Цѣлый рядъ подобныхъ заключеній позволяетъ найти значеніе суммы, входящей въ числитель выраженія для  $X'''$ :

$$(17) \quad \Sigma S'' s = l'', \text{ а затѣмъ и } X''' = \frac{\varepsilon EF l l''}{\Sigma x_m w_m''},$$

гдѣ  $l''$  означаетъ взаимное разстояніе между точками  $N_1$  и  $N_2$ ,

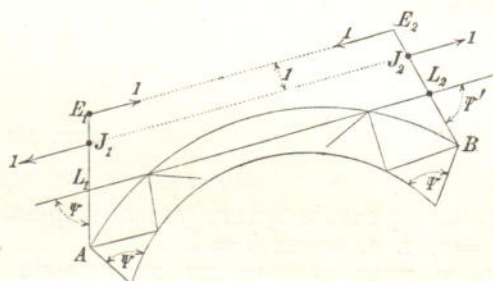
лежащими на оси  $A_y$ ; эти точки получаются при проведении изъ  $A$  и  $B$  прямыхъ, образующихъ съ осью  $A_y$  углы  $\psi$  и  $\psi'$ .



Фиг. 313.

Наконецъ, чтобы вычислить по возможности проще сумму  $\Sigma S' s$ , представимъ себѣ моменты  $M' = 1$  и усилия  $S'_m = \pm \frac{1}{r_m}$ , вызываемые парами силъ, приложенными къ концамъ арки, причемъ силы для этихъ паръ равны 1 и направлены параллельно оси  $A_x$ , плечо же ихъ = 1, фиг. 314. Пусть  $E_1, E_2, J_1, J_2$  будутъ точками пересѣченія этихъ силъ съ прямыми  $AL_1$  и  $BL_2$ ; тогда изъ предыдущихъ изслѣдований получимъ

$$\Sigma S'' s = \overline{J_1 J_2} - \overline{E_1 E_2} = \cotg \psi + \cotg \psi',$$



Фиг. 314.

а затѣмъ

$$(18) \quad X_t' = \frac{\varepsilon E F t (\cotg \psi + \cotg \psi')}{\Sigma w'_m}.$$

Для арки симметричной относительно средней вертикали,  $l''=0$ , а поэтому и  $X_t''=0$ . Въ большинствѣ случаевъ уголъ  $\psi=\psi'=90^\circ$  (или приблизительно  $=90^\circ$ ), тогда  $\cotg \psi = \cotg \psi' = 0$ , а отсюда слѣдуетъ, что  $X'=0$ , а такъ какъ  $\alpha=0$ , то

$$(19) \quad X_t''' = H_t = \frac{\varepsilon E F t l'''}{\Sigma y_m w'''},$$

гдѣ  $l'''$  означаетъ горизонтальное разстояніе между тѣми точками пять арки, откуда исходятъ крайніе промежуточные стержни \*). Такимъ образомъ въ этомъ важномъ случаѣ измѣненіе температуры вызываетъ два сопротивленія опоръ, равныя  $H_t$  и совпадающія по направлению съ осью  $A_x$ .

Если форма арки съ легкимъ уклономъ опредѣляется изъ основной симметричной формы (фиг. 30б), то возможно допустить, что сопротивление опоръ отъ дѣйствія измѣненія температуры со-впадаетъ съ осью  $A_x$ . Такъ какъ  $K_t = \frac{H_t}{\cos \alpha} = \frac{X_t'''}{\cos \alpha}$ , то величина сопротивленія равняется:

$$(20) \quad K_t = \frac{\varepsilon E F t l'''}{\cos \alpha \cdot \Sigma y_m w_m}.$$

Если вліяніе нагрузки опредѣлено по № 114 съ помощью веревочныхъ многоугольниковъ, то выраженія для суммъ, входящихъ въ знаменатели количествъ  $X_t'$ ,  $X_t''$ ,  $X_t'''$ , вычисляются съ помощью этихъ же веревочныхъ многоугольниковъ. Здѣсь необходимо только обращать вниманіе на единицы рассматриваемыхъ величинъ. Напр. для фермы взятой на фиг. 309 имѣемъ:

$$H_t = \frac{\varepsilon E F t l'''}{\Sigma y_m w_m'''^3} = \frac{\varepsilon E F t l'''^3}{\Sigma y_m^2 w_m}$$

и  $\Sigma y_m^2 w_m = {}^{1/2} w_{III} w_{IV} u$ , поэтому

$$H_t = 2 \frac{\varepsilon E F t l'''^3}{w_{III} w_{IV} u}.$$

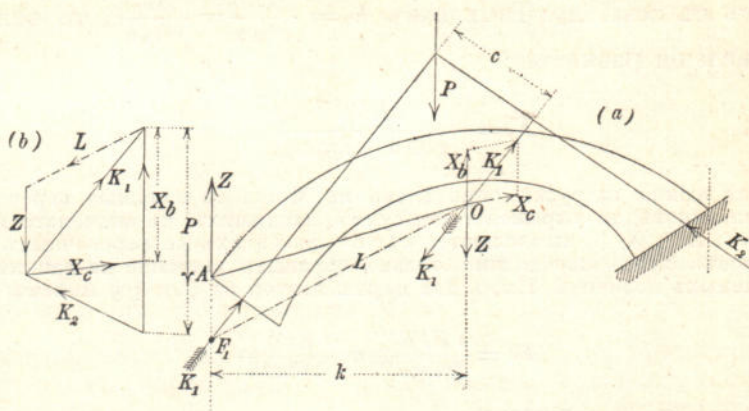
Количество  $w' m = \frac{s_m}{r_m^2}$  представляетъ изъ себя значеніе, обратное длинѣ, а  $\Sigma y_m^2 w_m$  представлять длину, поэтому одинъ изъ трехъ отрѣзковъ  $w_{III}$ ,  $w_{IV}$ ,  $u$  (безразлично какой) долженъ быть измѣренъ въ томъ масштабѣ, въ какомъ нанесены были величины  $w'$ , два же другихъ отрѣзка должны быть измѣрены въ масштабѣ разстояній чертежа.

### b. Второй способъ.

**116.** Изслѣдуемъ еще одинъ способъ, который позволяетъ опредѣлить вліяніе наклонныхъ грузовъ и который основывается строго на общемъ рѣшеніи вопроса, описанномъ въ № 65 (выпускъ VII). Съ этой цѣлью замѣнимъ лѣвую опору жесткой фигурой (фиг. 315 а) и приложимъ къ точкѣ  $O$  этой фигуры (точка взята предварительно произвольно) двѣ взаимно уничтожающіяся силы  $K_1$ , которая имѣютъ то же направленіе и ту же величину, что и сопротивленіе лѣвой опоры  $K_1$ . Одна изъ этихъ силъ образуетъ съ сопротивленіемъ опоры  $K_1$  пару силъ, моментъ которой  $K_1 c$  мы обозначимъ черезъ  $X_a$ ; другую силу разложимъ на  $X_b$  (вертикальную составляющую) и на  $X_c$  (по направленію, взятыму предварительно произвольно). Примемъ  $X_a$ ,  $X_b$ ,  $X_c$  за величины статически неопределѣли-

\* ) Для фермы на фиг. 306  $l''' = A' B'$ .

мыя. Если эти величины будут известны, то  $K_1$  найдется следующимъ образомъ. Сначала опредѣляемъ съ помощью треугольника силъ  $X_a$ ,  $X_b$  величину и направлениe  $K_1$ , фиг. 315 b. Затѣмъ находимъ на фиг. 315 a вертикальныe силы  $Z$ , образующія пару, равнопрѣнную парѣ силъ  $(K_1, K_1)$ , съ помощью условія  $Zk = X_a$ . Наконецъ, прибавляя вспомогательную силу  $L$ , возстановляемъ въ точкѣ  $O$  равновѣсіе между силами  $K_1$  и  $Z$  и проводимъ изъ  $O$  прямую, па-



Фиг. 315.

параллельную  $L$ , которая пересекает вертикаль точки  $A$  в точке, лежащей на направлении сопротивления опоры  $K$ .

При составлении условий упругости будем обозначать точку  $O$  указателем  $b$  или  $c$ , смотря по тому как мы будем рассматривать точку  $O$ , какъ точку приложения силы  $X_b$  или какъ точку приложения силы  $X_c$ . Для определения вліянія произвольно направленного груза  $P_m$ , приложенного къ точкѣ  $m$ , мы воспользуемся уравненіями:

$$(21) \quad X_a = P_m \frac{\hat{q}_{ma}}{\hat{q}_{aa}}, \quad X_b = P_m \frac{\hat{q}_{mb}}{\hat{q}_{bb}}, \quad X_c = P_m \frac{\hat{q}_{mc}}{\hat{q}_{cc}},$$

гдѣ подъ  $\delta$  подразумѣваются значения, объясненные нами въ № 59 (выпускъ VII); примѣнимость этихъ уравнений основана на предположеніи, что точка приложения силъ  $X_b$ ,  $X_c$  и направление  $X_c$  определены по правиламъ, даннымъ въ № 64 (примѣръ 1—выпускъ VII). (Результаты  $\delta_{ab} = \delta_{ba} = 0$ ;  $\delta_{ac} = \delta_{ca} = 0$ ;  $\delta_{bc} = \delta_{cb} = 0$ ).

Рассмотримъ шарнирный многоугольникъ  $o - 1 - 2 - 3 - 4 \dots 8 - 9$  (фиг. 31б) съ неподвижной стороной  $o - 1$  и примкнемъ къ нему точку  $O \equiv 10$  (заранѣе неопределенную) посредствомъ жесткихъ стержней  $9 - 10$  и  $8 - 10$ . Треугольникъ  $8 - 9 - 10$  будетъ тогда жесткимъ тѣломъ, замѣняющимъ лѣвую опору. Обозначимъ длину стержней буквами  $d_1, d_2, d_3 \dots$ , а углы между двумя смежными стержнями, измѣряемые въ одну и ту же сторону, буквами  $\alpha_1, \alpha_2, \alpha_3 \dots$ .

Если пренебречь деформациями промежуточныхъ стержней, что всегда возможно сдѣлать, то перемѣщенія узловъ вполнѣ опре-

дѣляются въ зависимости отъ измѣненія угловъ  $\alpha$  \*). Причемъ, согласно прежнимъ обозначеніямъ  $s_m$  и  $r_m$ , имѣмъ

$$(22) \quad \Delta\alpha_m = + \frac{\Delta s_m}{r_m} \text{ и соответственно } \Delta\alpha_m = - \frac{\Delta s_m}{r_m},$$

смотри по тому представляеть ли  $\alpha_m$  уголъ въ треугольнике или нѣтъ.

Изгибающему моменту  $M_m$  соответствуютъ

$$S_m = \mp \frac{M_m}{r_m} \text{ и } \Delta s_m = \mp \frac{M_m s_m}{r_m E F_s},$$

причемъ верхній знакъ относится къ верхнему поясу, нижній къ нижнему.

Если  $\alpha$  есть уголъ треугольника, то  $s$  относится къ стержню нижняго пояса, въ противномъ случаѣ къ стержню верхняго пояса, такъ что вообще

$$(23) \quad \Delta\alpha_m = + \frac{M_m s_m}{r_m^2 E F_m} \text{ и } E F \Delta\alpha_m = \frac{M_m s_m}{r_m^2} \frac{F}{F_m},$$

гдѣ  $F$  означаетъ среднее значение площади поперечнаго сѣченія пояса.

Если вычислить количества

$$(24) \quad \Delta\alpha_m = \frac{s_m}{r_m^2} \frac{F}{I_m'} M_m,$$

то мы получимъ перемѣщенія, увеличенныя въ  $E F$  разъ; это увеличеніе не оказываетъ вліянія на результатъ, полученный изъ уравнений 21, такъ какъ въ эти уравненія входятъ только отношенія перемѣщеній. Если принять рекомендованное нами положеніе о равенствѣ всюду площадей поперечныхъ сѣченій и сдѣлать  $F: F_m = 1$ , то получимъ  $\Delta\alpha_m = \frac{s_m}{r_m^2} M_m$ .

Состояніямъ  $X_a = -1, X_b = -1, X_c = -1$  соответствуютъ моменты:

$$M_m' = -1, M_m'' = x_m, M_m''' = y_m$$

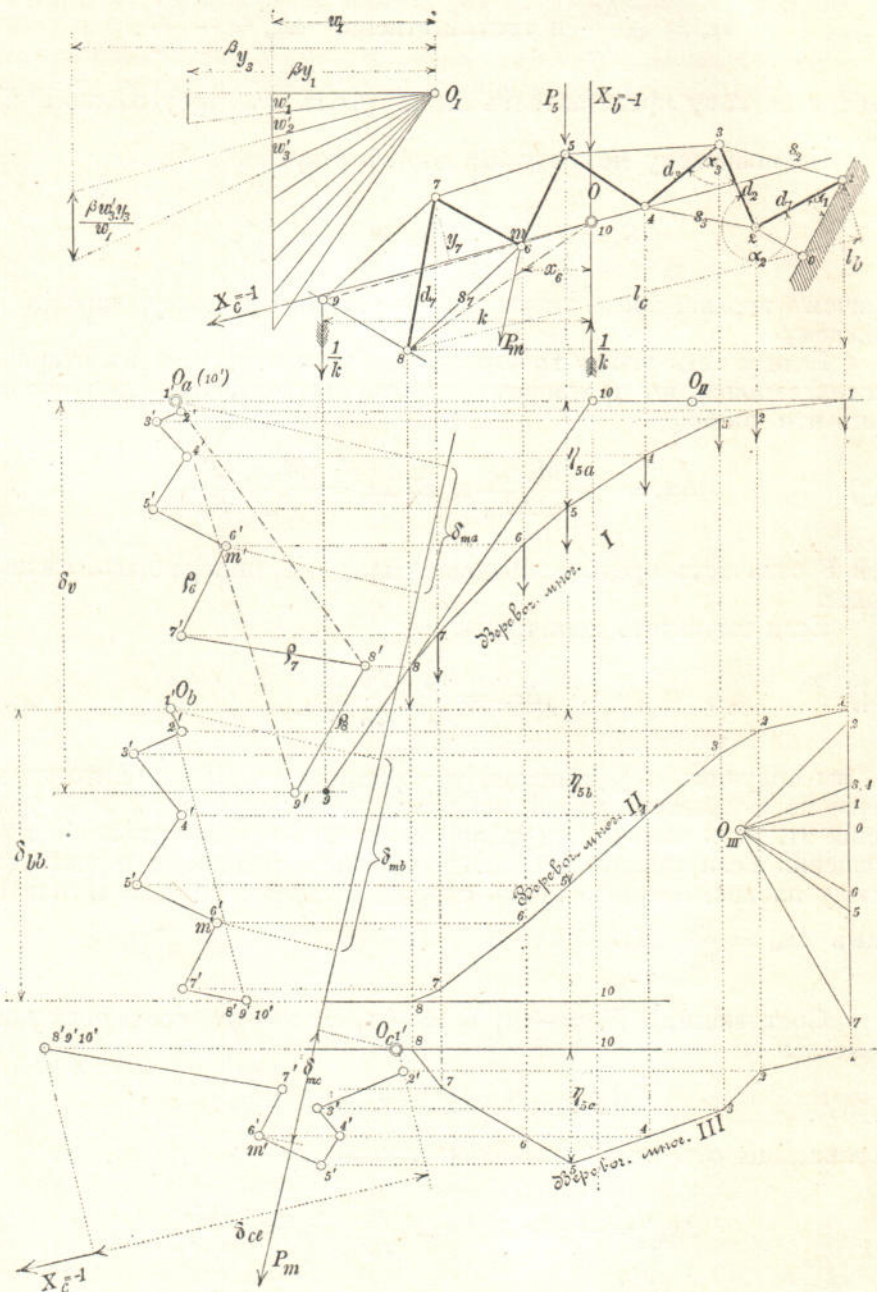
и зависящія отъ нихъ измѣненія угловъ:

$$\Delta\alpha_m' = - \frac{s_m}{r_m^2}; \Delta\alpha_m'' = x_m \frac{s_m}{r_m^2}; \Delta\alpha_m''' = \frac{y_m s_m}{r_m^2},$$

абсолютные значения которыхъ равны грузамъ  $w_m', w_m'', w_m'''$ , взя-

\*.) Если желаемъ принять во вниманіе эти измѣненія длины, то для определенія деформаций надо примѣнить способъ Вилліо.

тымъ въ первомъ способѣ; при этомъ надо помнить, что теперь  $y$  должно измѣряться по перпендикуляру къ  $X_c$  \*).



Фиг. 310.

\*.) Дальнѣе мы докажемъ, что направлениe  $X_c$  совпадаетъ съ направлениемъ оси  $A_x$  на фиг. 305. Если за статистически неопределимую величину принять горизонтальную проекцію силы  $X_c$  (т. е.  $H$ ), то получили бы полное соотвѣтствіе между  $\Delta'''_a$  и ранѣе взятыми  $w'''$ .

Построение диаграммъ перемѣщеній производится слѣдующимъ способомъ.

1. Диаграмма перемѣщеній для состоянія  $X_a = 1$ . Будемъ разсматривать измѣненія угловъ  $\Delta\alpha_m = s_m : r_m^2$  какъ вертикальныя силы, направленныя сверху внизъ, и соединимъ ихъ веревочнымъ многоугольникомъ I, первый бокъ котораго взять горизонтальнымъ и полюсное разстояніе для котораго  $w_1$  можетъ быть выбрано произвольнымъ.

Черезъ точки веревочнаго многоугольника, соотвѣтствующія узламъ 1, 2, 3, . . . 9 шарнирнаго многоугольника, проводимъ горизонтальныя прямые  $g_1, g_2, g_3, \dots$  и изъ произвольной точки 1', взятой на прямой  $g_1$ , чертимъ ломанную линію 1' 2' 3' 4' . . . 9', участки которой перпендикулярны соотвѣтствующимъ сторонамъ шарнирнаго многоугольника 1—2—3—4— . . . 9. Лучи, проведенные къ точкамъ 2', 3', 4' . . . изъ полюса  $O_a$ , совпадающаго съ точкой 1', представлять тогда по величинѣ и направленію перемѣщенія узловъ 2, 3, 4 . . . ; поэтому значеніе  $\delta_{ma}$ , соотвѣтствующее одному сосредоточенному грузу  $P_m$ , найдется какъ проекція луча  $O_a m'$  на направление  $P_m$ , измѣренная въ масштабѣ, взятомъ сначала безотносительно, а теперь въ зависимости отъ полюснаго разстоянія  $w_1$  и отъ значеній  $E, F$ . Такъ какъ точка  $O$  (имѣющая обозначеніе то) должна оставаться въ покое, то то должно совпасть съ  $O_a$ , а поэтому положеніе точки то опредѣлится съ помощью условій:  $9 - \text{то} \perp 9' - \text{то}', 8 - \text{то} \perp 8' - \text{то}'$ ; очевидно также, что точка то должна лежать на вертикальной оси, проходящей черезъ центръ силъ  $-\Delta\alpha' = w'$ , а этимъ доказывается совпаденіе  $X_b$  съ ранѣе взятой осью  $A_y$ .

Второй способъ построенія ломанной 1' 2' 3' . . . состоить въ вычисленіи угловъ вращеній  $\phi$  и значеній  $\rho = \phi d$  для отдельныхъ стержней  $d_1, d_2, \dots$ . Мы получимъ:

$$\psi_1 = \Delta\alpha_1; \psi_2 = \psi_1 + \Delta\alpha_2; \psi_3 = \psi_2 + \Delta\alpha_3; \dots$$

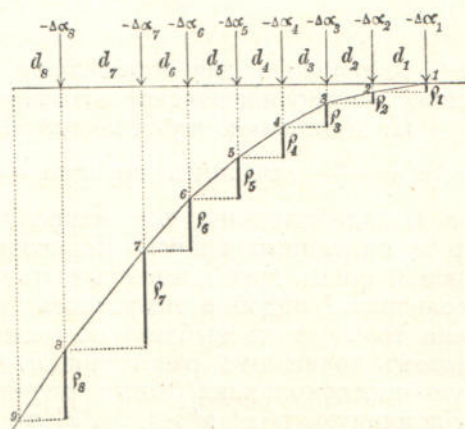
$$\rho_1 = d_1 \psi_1; \rho_2 = d_2 \psi_2; \rho_3 = d_3 \psi_3; \dots$$

и затѣмъ откладываемъ.

$$1' - 2' = \rho_1; 2' - 3' = \rho_2; 3' - 4' = \rho_3; \dots$$

Третій способъ основывается на томъ обстоятельствѣ, что отрѣзки  $\rho$  зависятъ только отъ  $\Delta\alpha$  и  $d$ , но не зависятъ отъ формы шарнирнаго многоугольника. Такимъ образомъ, если отложить по горизонтальной прямой длину стержней  $d$ , другъ за другомъ, какъ это показано въ маломъ масштабѣ на фиг. 317, то значенія  $\rho$  найдутся какъ разности двухъ сосѣднихъ ординатъ веревочнаго многоугольника, построенного для грузовъ  $-\Delta\alpha$ .

Наконецъ, по четвертому способу можно было бы найти



Фиг. 317.

точки  $1'$ ,  $2'$ ,  $3'$  . . . съ помощью діаграммы перемѣщеній по Виллю.

Первый способъ оказывается непригоднымъ, когда шарнирный многоугольникъ имѣеть вертикальные стержни; неточные результаты получаются и тогда, когда направленія стержней лишь немного отклоняются отъ вертикального направленія.

Вообразимъ, напр., что стержень  $7-8$  приближается къ вертикальному положенію; мы сейчасъ же увидимъ, что точное опредѣленіе точки  $8'$  при полученнѣ острѣмъ пересѣченіи становится весьма затруднительнымъ. Тогда можно вычислить величину  $\rho_7$  или же построить на фиг. 317 ту часть веревочного многоугольника  $6-7-8$ , которая опредѣлена величинами  $\rho$  и  $\Delta z_7$ . Когда нѣсколько стержней имѣютъ такое положеніе, то отъ примѣненія первого способа лучше отказаться. Нагляднѣе всего, конечно, опредѣленіе величинъ  $\rho$  съ помощью фиг. 317.

По опредѣленіи количества  $\delta_{ma}$  находимъ вліяніе силы  $P_m$  на количество  $X_a$  съ помощью первого уравненія изъ группы 21, въ которомъ величина  $\delta_{aa}$  означаетъ уголъ вращенія ( $\psi$ ) части  $8-9-10$  для рассматриваемаго состоянія нагрузки  $X_a = -1$ . Теперь стержню  $9-10$  соотвѣтствуетъ значение  $\rho = 9' - 10'$ , т. е. уголъ вращенія  $\psi = \frac{9' - 10'}{9 - 10} = \frac{\delta_r}{k}$ , поэтому получимъ:

$$X_a = P_m \delta_{ma} \frac{k}{\delta_r},$$

а для силы  $Z$ , опредѣляемой изъ уравненія  $Zk = X_a$ , значеніе:

$$Z = P_m \frac{\delta_{ma}}{\delta_r}.$$

Грузу  $P_5$ , приложенному къ узлу 5, соотвѣтствуетъ значеніе

$$Z = \frac{P_{\eta_{5a}}}{\delta_r},$$

т. е. то значеніе, для опредѣленія котораго было бы достаточно одного построения веревочного многоугольника  $I$ .

*II. Діаграмма перемѣщеній для состоянія  $X_b = -1$ .* Грузы  $-\Delta z' = \frac{s_m}{r_m^2}$  замѣнимъ грузами  $-\Delta z'' = -\frac{s_m x_m}{r_m^2}$  (которые вправо отъ  $O$  положительны, т. е. направлены внизъ) и затѣмъ повторимъ ранѣе описанный приемъ. Веревочный многоугольникъ  $II$ , связывающій новые грузы, можетъ быть полученъ изъ веревочного многоугольника  $I$  подобно тому, какъ это сдѣлано на фиг. 309. Необходимо только такъ выбрать положеніе полюса  $O_H$  (при произвольно взятомъ полюсномъ разстояніи  $w_H$ ), чтобы первый бокъ веревочного многоугольника былъ горизонталенъ. Построивъ изъ полюса  $O_b$  ломанную:  $1' 2' 3' \dots 8' 9'$ , найдемъ значеніе  $\delta_{bb}$ , соотвѣтствующее наклонному положенію груза  $P_m$ , какъ проекцію величины  $O_{bm}'$  на направленіе  $P_m$ , и перемѣщеніе  $\delta_{bb}$  точки приложе-

нія  $b = 1$  силы  $X_b$ , какъ проекцію луча  $O_b \text{то}'$  на направлениі  $X_b = -1$ . Вслѣдствіе этого опредѣляемъ вліяніе наклоннаго груза  $P_m$ :

$$X_b = P_m \frac{\delta_{mb}}{\delta_{bb}}$$

и вліяніе вертикальнаго груза  $P_5$ :

$$X_b = P_5 \frac{\eta_{5b}}{\delta_{bb}}.$$

Для опредѣленія послѣдняго значенія можно было бы ограничиться построеніемъ веревочнаго многоугольника *II*.

Изъ условій совпаденія точекъ 8', 9', то' можно вывести еще заключеніе, что всѣ точки части 8—9—10 при состояніи нагрузки  $X_b = -1$  получаютъ одно и тоже перемѣщеніе  $O_b 8' = O_b 9' = O_b \text{то}'$ , или, иначе говоря, уголь вращенія  $\delta_{ab}$  получается =0, условіе, съ которымъ извѣстнымъ образомъ связана примѣнимость уравненій (21).

*III. Діаграмма перемѣщений для состоянія  $X_c = -1$ .* Такъ какъ перемѣщеніе  $\delta_{cb}$ , получаемое точкой приложенія съ силы  $X_c$  въ направлениі  $X_b$  при дѣйствіи причины  $X_b = -1$ , должно равняться нулю, то направление  $X_c$  должно быть принято перпендикулярнымъ къ лучу  $O_b \text{то}'$  только что построенной діаграммы перемѣщений. Если это сдѣлано, то этимъ самымъ опредѣляются грузы  $\Delta'''x_m = y_m \frac{s_m}{r^2 m} = y_m w'_m$  (по абсолютной величинѣ); или же, что гораздо удобнѣе, лучше опредѣлить тѣ грузы, которые пропорціональны значеніямъ  $y_m w'_m$ , напр. грузы на фиг. 3 (въ многоугольникѣ силъ  $w'$ ), представленные отрѣзками  $\frac{\beta}{w_1} y_m w'_m$ , где  $\beta$  означаетъ произвольное цѣлое число. Алгебраическая сумма этихъ грузовъ частью положительныхъ, частью отрицательныхъ, должна равняться нулю (что служить весьма точной провѣркой правильности чертежа!). Такъ какъ направление  $X_c$  опредѣляется условіемъ  $\delta_{cb} = 0$ , то по теоремѣ Максуелля должно быть  $\delta_{bc} = 0$ , т. е. перемѣщеніе точки приложенія  $b$  силы  $X_b$  по направлению  $X_b$ , вызванное причиной  $X_c = -1$ , должно равняться нулю. Но отсюда слѣдуетъ, что  $O_c \text{то}' \perp X_b$ ; а это можетъ случиться тогда, когда виѣшніе бока веревочнаго многоугольника *III* совпадутъ.

Наконецъ для наклоннаго груза  $P_m$  и для вертикальнаго  $-P_5$  получаемъ соотвѣтственно:

$$X_c = P_m \frac{\delta_{mc}}{\delta_{cc}} \quad \text{и} \quad X_c = P_5 \frac{\eta_{5c}}{\delta_{cc}},$$

гдѣ  $\delta_{cc}$  означаетъ проекцію  $O_c \text{то}'$  на направление  $X_c$ .

Поставленная задача такимъ образомъ разрѣшена; здѣсь необходимо еще упомянуть, что отрѣзки  $r$ , опредѣляющіе ломаннныя  $O_b z' 3' \dots \dots \text{то}'$  и соотвѣтственно  $O_c z' 3' \dots \dots \text{то}'$ , могутъ быть найдены по способу, описанному при построеніи діаграммы перемѣщений для состоянія  $X_a = -1$ , или путемъ расчета, или же съ помощью проведеннаго шарнирнаго многоугольника (фиг. 317),

или при помоши діаграммы Вилліо; наконецъ, слѣдуетъ упомянуть, что эта перемѣна требуетъся иногда и въ способѣ, примѣненному на фиг. 317.

Необходимо обратить вниманіе на то, чтобы съ особеною тщательностью было сдѣлано опредѣленіе положенія точки  $O$  и направлениія силы  $X_c$ . Слuchaющіяся при этомъ чертежныя ошибки имѣютъ большое вліяніе. Желая разрѣшить эту задачу вычисленіемъ, мы должны замѣтить, что вслѣдствіе равенства  $\Sigma w' = 0$  точка  $O$  совпадаетъ съ центромъ грузовъ  $w'$ , а сила  $X_c$  совпадаетъ съ ранѣе взятой осью  $A_x$ ; поэтому здѣсь примѣнимы формулы, выведенныя на стр. 37; количества  $u$  могутъ быть при этомъ измѣрены сначала по вертикальному направлению.

Съ другой стороны только что построенные діаграммы перемѣщений представляютъ добавленіе къ учению о центрѣ тяжести и о моментахъ втораго порядка. Съ помощью многоугольника  $O_2 1' 2' \dots$  (который будетъ тогда повернутъ влѣво на  $90^\circ$ ) можно опредѣлить центръ тяжести  $O$  группы точекъ, нагруженныхъ грузами  $w'$ ; многоугольники же  $O_b 1' 2' \dots$ ,  $O_c 1' 2' \dots$  могутъ служить для опредѣленія моментовъ инерціи  $\Sigma w' x^2$  и  $\Sigma w' y^2$ . А именно, мы найдемъ:

$$\delta_{bb} = \Sigma \frac{w' x}{w_I} \cdot \frac{x}{w_{II}}; \quad \delta_{cc} = \Sigma \frac{w' y^2}{w_I} \cdot \frac{y}{w_{III}},$$

или при  $w_I = w_{II} = w_{III} = 1$  и  $\beta = 1$ :

$$\delta_{bb} = \Sigma w' x^2; \quad \delta_{cc} = \Sigma w' y^2.$$

*IV. Вліяніе измѣненія температуры.* Мы находимъ изъ формулъ:

$$(25) \quad X_{at} = I \frac{\delta_{at}}{\delta_{aa}}; \quad X_{bt} = I \frac{\delta_{bt}}{\delta_{bb}}; \quad X_{ct} = I \frac{\delta_{ct}}{\delta_{cc}},$$

гдѣ  $\delta_{at}$  означаетъ уголъ вращенія части 8—9—10 отъ измѣненія температуры, а  $\delta_{bt}$  и  $\delta_{ct}$  означаютъ вызываемыя этой причиной перемѣщенія точки 10 въ направлениіи  $X_a$  и соответственно  $X_b$ .

Примемъ равномѣрное нагрѣваніе фермы и сдѣлаемъ, ради упрощенія расчета, одно предположеніе, что участки 1—о и 8—9 могутъ расширяться въ той же мѣрѣ, какъ и стержни рѣшетки.

Тогда всѣ измѣненія угловъ будутъ  $= 0$ , и уголъ вращенія  $\delta_{at}$  будетъ  $= 0$ . Шарнирный многоугольникъ 1—2—4—8—10 приметъ форму, подобную первоначальной. Потомъ получимъ  $\delta_{at} = 0$  и затѣмъ

$$\delta_{bt} = \varepsilon l b, \quad \delta_{ct} = \varepsilon l c,$$

такъ какъ перемѣщенія точки 10 соотвѣтствуютъ перемѣщеніямъ точки 8; здѣсь  $l_b$  и  $l_c$  означаютъ проекціи отрѣзка 8—1 на направленияхъ  $X_b$  и  $X_c$ . Поэтому получается:

$$X_{at} = 0; \quad X_{bt} = \frac{\varepsilon t l_b}{\delta_{bb}}; \quad X_{ct} = \frac{\varepsilon t l_c}{\delta_{cc}}.$$

Если сюда требуется подставить отрѣзки  $\delta_{bb}$  и  $\delta_{cc}$ , взятые изъ фиг. 316, то необходимо обратить вниманіе на то, что эти діаграммы перемѣщений даютъ перемѣщенія, увеличенныя въ  $EF$ —разъ; поэтому числитель выражений для  $X_{bt}$ ,  $X_{ct}$  надо умножить на  $EF$ . Дальнѣйшія преобразованія обусловлены тѣмъ, что полюсныя раз-

стоянія веревочныхъ многоугольниковъ  $\Pi$ ,  $\text{III}$  (представляющіхъ линії прогибовъ для состояній  $X_b = -1$  и  $X_c = -1$ ) равны не 1, а  $-w_{II}$  и соответственно  $= w_{III}$ , поэтому соотвѣтствующія перемѣщенія надо умножить еще на  $w_{II}$  или на  $w_{III}$ . Наконецъ грузы  $w'' = xw'$  и  $w''' = yw'$  были замѣнены грузами  $\frac{xw'}{w_I}$  и соответственно  $\frac{\beta yw'}{w_I}$ , что влечетъ за собой дальнѣйшее умноженіе на  $w_I$  и соответственно на  $\frac{w_I}{\beta}$ . Поэтому получимъ:

$$X_{bi} = \frac{\varepsilon E l_{bb} t}{w_I w_{II} \delta_{bb}} \quad \text{и} \quad X_{ci} = \beta \frac{\varepsilon E l_{cc} t}{w_I w_{III} \delta_{cc}}.$$

Изъ трехъ отрѣзковъ ( $w_I$ ,  $w_{II}$ ,  $\delta_{bb}$  или  $w_I$ ,  $w_{III}$ ,  $\delta_{cc}$ ), входящихъ въ эти знаменатели, каждые два должны быть измѣнены въ масштабѣ разстояній (напр.  $w_{II}$  и  $\delta_{bb}$  и соответственно  $w_{III}$  и  $\delta_{cc}$ ), а третій изъ нихъ (а именно въ обоихъ знаменателяхъ  $w_I$ ) въ томъ же масштабѣ, въ которомъ отложены грузы  $w'$  \*).

Если діаграммы перемѣщеній строятся по способу Вилліо, то подъ уси-  
ліями  $S_a$ ,  $S_b$ ,  $S_c$ , соотвѣтствующими состояніямъ  $X_a = -1$ ,  $X_b = -1$ ,  $X_c = -1$ , подразумѣваются числа. Тогда измѣненія длины

$$\Delta s_a = S_a s_a, \quad \Delta s_b = S_b s_b, \quad \Delta s_c = S_c s_c,$$

умноженные на  $EF$ , представлять собою разстоянія, которыя наносятся въ отдельномъ масштабѣ, независящемъ отъ масштаба чертежа; по этому же масштабу измѣряются также отрѣзки  $\delta_{bb}$ ,  $\delta_{cc}$ . Тогда получаемъ:

$$X_{bi} = \varepsilon E F t \frac{l_b}{\delta_{bb}}; \quad X_{ci} = \varepsilon E F t \frac{l_c}{\delta_{cc}}.$$

## § 12.

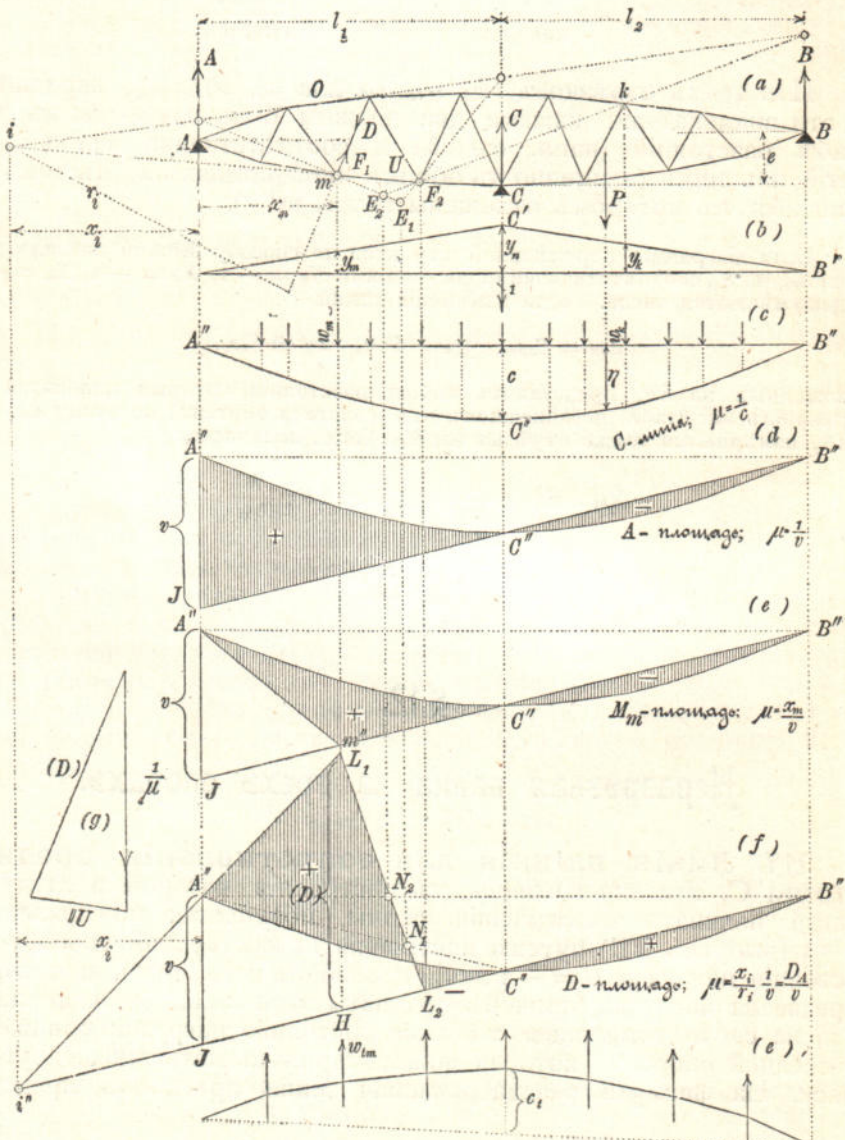
### Неразрѣзная балка на трехъ опорахъ.

**117. Линія вліянія для сопротивленія средней опоры С.** Эта линія вліянія, съ построенія которой и слѣдуетъ всегда начинать изслѣдованіе фермы, получается по правиламъ № 55 (выпускъ VII) путемъ построения по какому либо способу для состоянія нагрузки  $C = -1$  линіи прогибовъ того пояса, на который передается нагрузка, причемъ ординаты этой линіи ( $\eta$ ) надо раздѣлить на соотвѣтствующее тому же состоянію нагрузки пониженіе ( $c$ ) средней опоры  $C$ , которая можетъ принадлежать также другому поясу. На фиг. 318 рассматриваемая линія прогибовъ представ-

\* См. заключеніе въ № 115, стр. 47.

ляетъ веревочный многоугольникъ для грузовъ  $w$ . Треугольникъ  $A'C'B'$  представляетъ площадь моментовъ для простой балки при дѣйствіи на нее силы  $C = -1$ ; пусть  $y_m$  будетъ моментомъ относительно точки  $m$ . Тогда, пренебрегая деформаціями промежуточныхъ стержней, что всегда допустимо, мы получимъ  $w_m \frac{y_m s_m}{r^2 E F_m}$ ; при постоянномъ  $E$  можно будеть положить

$$w_m = \frac{y_m s_m}{r_m^2} \cdot \frac{F_c}{F_m},$$



Фиг. 318.

гдѣ подъ  $F_c$  подразумѣвается произвольная площадь поперечнаго сѣченія. Это измѣненіе количества  $w$  не оказываетъ вліянія на результатъ

$$C = P \frac{\eta}{c},$$

который зависитъ только отъ отношенія  $\frac{\eta}{c}$ , а отсюда заключаемъ, что какъ высота треугольника моментовъ  $A''C''B''$ , такъ и полусное разстояніе веревочнаго многоугольника могутъ быть выбраны произвольными.

Изъ  $C$ —линии теперь уже легко получить и остальныя линіи вліянія.

*Примѣчаніе.* Грузы  $w$  представляются здѣсь въ той же формѣ, что и для двухшарнирныхъ арокъ, § 7 (выпускъ VIII); преобразованія количествъ  $w$ , указанныя раньше для нѣкоторыхъ родовъ рѣшетокъ, возможно примѣнить, конечно, и къ неразрѣзнымъ балкамъ. Рекомендуется принимать отношеніе  $F_c : F_m = 1$ . Въ фермахъ съ параллельными поясами надо положить  $w_m = y_m$ .

Замѣтимъ здѣсь, что на фиг. 318 с, въ виду мелкаго масштаба, веревочный многоугольникъ не удалось замѣнить вписанымъ многоугольникомъ, вершины котораго лежали бы подъ поперечными фермами.

**118. Площадь вліянія для сопротивленія лѣвой опоры А** (фиг. 318 д) получится какъ разность между площадью треугольника  $B''JA''$ , сторона котораго  $B''J$  проходитъ черезъ  $C''$ , и площадью вліянія для  $C$ ; множитель этой площади  $\mu = \frac{1}{v}$ , гдѣ  $v$  равно отрѣзу  $A''J$ . Если бы балка была подперта только въ точкахъ  $A$  и  $B$ , то площадь вліянія для  $A$  состояла бы изъ одного треугольника  $A''JB''$ , высота котораго  $A''J = 1$ ; теперь же изъ этого треугольника надо вычесть ту часть, которая представляеть вліяніе силы  $C$ , причемъ грузу, приложеному въ точкѣ опоры  $C$ , должна соотвѣтствовать ордината  $A = 0$ . Множитель  $\frac{1}{v}$  необходи́мъ, потому что здѣсь  $A''J = v$ , вмѣсто  $A''J = 1$ .

**119. Площадь вліянія для количества  $M_m$**  (фиг. 318 е) получается путемъ опредѣленія на прямой  $B''C''$  точки  $m''$ , лежащей на вертикали подъ  $m$ , и проведенія прямой  $A''m''$ . Если бы было  $A''J = x_m$ , то треугольникъ  $A''m''B''$  представилъ бы площадь вліянія для количества  $M_m$  въ простой балкѣ  $AB$ , а треугольникъ  $A''m''C''$  — площадь вліянія для количества  $M_m$  въ простой балкѣ  $AC$ . Такъ какъ  $A''J = v$ , то необходимо ввести множитель  $\mu = x_m : v$ . Къ этому же результату приводить нась то положеніе, что грузы, лежащіе вправо отъ  $m$ , вызываютъ моментъ  $M_m = Ax_m$ , вслѣдствіе чего площадь вліянія для  $M_m$  вправо отъ  $m$  отличается отъ площади вліянія для  $A$  только множителемъ. Усилия въ поясахъ опредѣляются изъ моментовъ.

**120. Площадь вліянія для усилія  $D$**  (фиг. 318 f) получается на основаніи тѣхъ же разсужденій, что были приведены въ № 118 и 119. Ломанная линія  $A''L_1L_2B''$ , отнесенная къ линіи  $A''B''$  какъ къ нулевой оси, представляетъ линію вліянія для уси-

лія  $D$  въ простой балкѣ  $AB$ , а ломанная  $A''L_1L_2C''$ , отнесенная къ нулевой оси  $A''C''$ , представляетъ линію вліянія для усилія  $D$  въ простой балкѣ  $A''C''$ . Поэтому прямые  $A''L_1$  и  $B''L_2$  должны пересѣкаться на вертикалі, проходящей черезъ точку встрѣчи  $i$  поясныхъ стержней  $O$  и  $U$ ; точки же  $N_1$ ,  $N_2$ , въ которыхъ прямые  $A''B''$  и  $A''C''$  пересѣкаются прямой  $L_1L_2$ , должны лежать на вертикаліахъ подъ точками раздѣла нагрузки  $E_1$  и  $E_2$ ; эти послѣднія точки легко получить, если мы будемъ разсматривать стержень  $D$ , какъ промежуточный стержень простой балки  $AC$  и соотвѣтственно простой балки  $AB$ . Такимъ образомъ точку  $L_1$  можно опредѣлить тремя способами. Когда грузы лежать вправо отъ  $r$ , то влѣво отъ сѣченія, проведенного черезъ стержни  $O$ ,  $D$ ,  $U$ , будетъ дѣйствовать только одна вертикальная сила  $A$ , поэтому уравненіе моментовъ относительно точки  $i$  напишется такъ:

$$-Dr_i - Ax_i = 0,$$

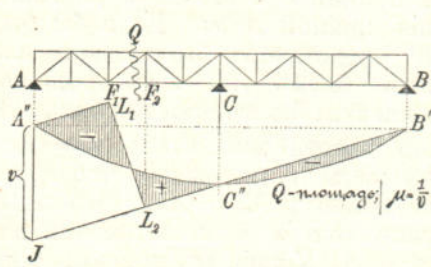
откуда получаемъ  $D = -A \frac{x_i}{r_i}$ ; теперь легко понять построеніе площади вліянія для  $D$ , фиг. 318 f. Множитель этой площади равняется, очевидно,

$$\mu = \frac{x_i}{vr_i} = \frac{D_A}{v},$$

гдѣ  $D_A$  означаетъ усиліе въ разсматриваемомъ стержнѣ, вызываемое силой  $A = 1$ .

Наконецъ, четвертый весьма простой способъ опредѣленія точки  $L_1$  основывается на ранѣе доказанномъ положеніи, что отрѣзокъ  $L_1H$  при  $\mu = 1$  долженъ равняться составляющей  $[D]$ , полученной при разложеніи силы  $P = 1$  по направленіямъ  $U$  и  $D$  \*); если же ввести множитель  $\mu$ , то этотъ отрѣзокъ будетъ равняться составляющей отъ разложенія груза  $\frac{1}{\mu}$  (фиг. 318 g).

### 121. Площадь вліянія для перерѣзывающей силы $Q$ въ панели $F_1F_2$



Фиг. 319.

Масштабъ для силъ на фиг. 318 и 319 надо такъ выбрать, чтобы единица грузовъ изображалась отрѣзкомъ, равнымъ  $v$ . Тогда множитель площадей

\*) См. стр. 104, фиг. 198 (выпускъ VII). При Ѣздѣ поверху разложеніе

дѣлается по направленіямъ  $O$  и  $D$ .

вліянія для кількості  $A$  и  $Q$  будеть = 1, множитель площини вліянія для  $M_m$  равень =  $x_m$  и для  $D_A$  — площини =  $D_A$ .

**122.** Якщо точка опори  $C$  принадлежить ненагруженому поясу, то точка  $C''$  не принадлежить  $C$  — лінії, вписаної въ веревочный многоугольникъ  $A''C''B''$ . Прямая же  $B''J$  проходить, какъ и раніше, черезъ точку  $C''$  и отрѣзокъ с означаєть і здѣсь разстояніе между точкою  $C''$  и замыкающей лінієй  $A''B''$ ; см. фиг. 320, гдѣ представлена частина площини вліянія для кількості  $A$ .

**123. Вліяніе ізмѣненія температури** на сопротивленіе опоры выражается въ общемъ видѣ формулой

$$C_t = 1 - \frac{\delta_{ct}}{\delta_{cc}},$$

гдѣ  $\delta_{ct}$  и  $\delta_{cc}$  означаютъ пониженія (прогибы) точки  $C$  простой балки  $AB$  отъ нагрѣванія и соотвѣтственно отъ дѣйствія нагрузки  $C = -1$ . Предполагая равномѣрное возвышеніе температуры установки и обозначая буквой  $e$  разстояніе точки  $C$  отъ горизонтальной прямой  $AB$ , мы получимъ  $\delta_{ct} = \varepsilon t e$ . Для  $\delta_{cc}$  надо подставить значеніе

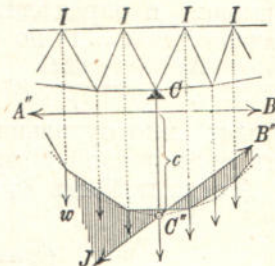
$$\delta_{cc} = e \cdot \frac{I}{EF_c} w_p \cdot \frac{l_1 l_2}{y_n (l_1 + l_2)},$$

гдѣ подъ  $w_p$  подразумѣвается полюсное разстояніе веревочного многоугольника  $A''C''B''$ . Ординату  $c$  веревочного многоугольника, построенного для состоянія нагрузки  $C = -1$ , необходимо умножить на  $1 : EF_c$ , потому что мы пользуемся грузами  $w$ , увеличенными въ  $EF_c$  разъ, затѣмъ надо умножить еще на  $w_p$ , потому что полюсное разстояніе было взято не равнымъ 1, и наконецъ умножить на  $\frac{l_1 l_2}{l_1 + l_2} : y_n$ , потому что высота треугольника моментовъ  $A'C'B'$  для состоянія  $C = -1$  взята равной  $\frac{l_1 l_2}{l_1 + l_2}$ , вмѣсто  $= y_n$ . Вслѣдствіе этого получаемъ величину сопротивленія опоры

$$(1) \quad C_t = \frac{\varepsilon E F_c e y_n (l_1 + l_2)}{c l_1 l_2 w_p} t,$$

вліяніе котораго на усилия въ стержняхъ слѣдуетъ опредѣлить съ помощью діаграммы Кремона. Въ предыдущей формулѣ  $w_p$  означаетъ *число*, причемъ это кількості должно быть ізмѣнено въ томъ же масштабѣ, въ какомъ откладывались *числа*  $w = \frac{ys}{r^2}$ . Отрѣзки  $e$ ,  $y_n$ ,  $l_1$ ,  $l_2$ ,  $c$  надо ізмѣнить въ лінейномъ масштабѣ чертежа.

Обыкновенно при изслѣдованіи неразрѣзныхъ фермъ пренебрегаютъ вліяніемъ ізмѣненія температуры и считаютъ вліяніе это незначительнымъ. Незначительное вліяніе получается только при равно-



Фиг. 320.

мѣрномъ нагрѣваніи, поэтому здѣсь необходимо будетъ разсмот-  
рѣть тотъ важный случай, когда верхній поясъ приметъ отъ дѣй-  
ствія солнечныхъ лучей температуру на  $\Delta t$  градусовъ большую,  
чѣмъ нижній поясъ. Достаточно точно можно принять, если ниж-  
нему поясу и промежуточнымъ стержнямъ припишемъ температуру  
установки и опредѣлимъ удлиненія въ стержняхъ верхняго пояса  
(сначала для  $\epsilon = 1$ ) по формулѣ  $\Delta s = s\Delta t$ . Вычислимъ теперь грузы  
 $w_t = -\frac{\Delta s}{r} = -\frac{s\Delta t}{r}$  для узловъ нижняго пояса, свяжемъ ихъ вере-  
вочнымъ многоугольникомъ (полюсное разстояніе  $= w_{tp}$ ) и измѣ-  
римъ подъ точкой  $C$  ординату  $c_t$  (фиг. 318 е).

Тогда найдемъ  $\delta_{ct} = -\epsilon w_{tp} c_t$  и

$$C_t = -\frac{\epsilon E F_c c_t g_n (l_1 + l_2)}{c_l l_2} \frac{w_{tp}}{w_p} \Delta t;$$

$w_{tp}$  означаетъ число, которое должно быть измѣreno въ томъ же  
масштабѣ, въ которомъ отложены числа  $w_t$  \*). Когда верхній поясъ  
получаетъ температуру на  $\Delta t$  ниже нижняго пояса, то получается  
положительная величина для  $C$ .

### § 13.

## Неразрѣзная балка на четырехъ опорахъ.

**124. Сопротивленія крайнихъ опоръ.** За статически  
неопределѣмая величины примемъ сопротивленія крайнихъ опоръ  
 $X_a = A$  и  $X_b = B$ ; точки приложенія ихъ обозначимъ указателями  
 $a$  и  $b$  и напишемъ согласно обозначеніямъ, объясненнымъ въ № 59  
(выпускъ VII), слѣдующія равенства:

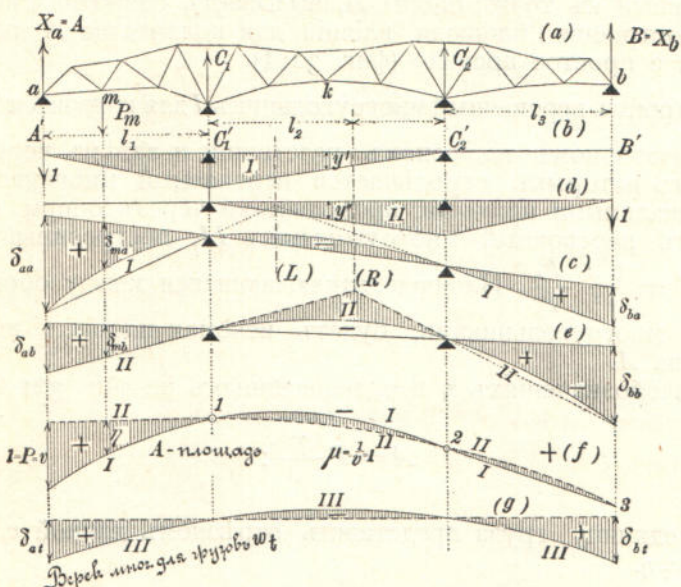
$$(1) \quad \begin{cases} \delta_a = P_m \delta_{ma} - A \delta_{aa} - B \delta_{ab} + \delta_{at} \\ \delta_b = P_m \delta_{mb} - A \delta_{ba} - B \delta_{bb} + \delta_{bt}, \end{cases}$$

гдѣ  $\delta_a$ ,  $\delta_b$  означаютъ вертикальныя перемѣщенія, испытываемыя точ-  
ками  $a$  и  $b$  отъ осадки опоръ относительно прямой, соединяющей  
среднія опорныя точки; обыкновенно допускаютъ, что эти перемѣ-  
щенія равны нулю.

Статически опредѣлимая главная система (состояніе  $A = 0$ ,  
 $B = 0$ ) представляетъ собою балку съ двумя консолями, свѣщающа-  
щимися за опорами  $C'_1 C'_2$ ; линіи прогибовъ для этой системы, по-  
строенные для состояній  $A = -1$ ,  $B = -1$ , доставлять намъ пере-  
мѣщенія  $\delta_{ma}$ ,  $\delta_{aa}$ ,  $\delta_{ba}$ ,  $\delta_{mb}$ ,  $\delta_{ab}$ ,  $\delta_{bb}$ .

\*) Обыкновенно для относительно большихъ грузовъ  $w_t$  слѣдуетъ вы-  
брать другой масштабъ, чѣмъ для грузовъ  $w$ .

Площадь моментовъ для состоянія  $A = -1$  состоитьъ изъ треугольника  $I$  (фиг. 321 б), имѣющаго высоту —  $1 \cdot l_1$ , при помощи котораго вычисляются грузы  $w$  точно такимъ же образомъ, какъ это было сдѣлано въ предыдущихъ параграфахъ. Напр., если пренебречь деформаціей промежуточныхъ стержней, то грузъ узла  $k$  будетъ равняться:  $w_k' = -\frac{y'_k s_k}{r^2_k} \frac{F_c}{F_k}$ . Грузы  $w'$  отрицательны; этимъ грузамъ соотвѣтствуетъ веревочный многоугольникъ  $I^*$ ), правая часть котораго представляеть линію прогибовъ для не на-



Фиг. 321.

пряженній части фермы  $C'_1 B'$ , такъ какъ эта часть получаетъ только вращеніе, но не деформацію. Прочертивъ замыкающую линію, проходящую черезъ опорныя точки  $C'_1 C'_2$ , получимъ на фиг. 321 с, заштрихованную площадь, которая представляеть площадь прогибовъ для состоянія  $A = -1$ ; она намъ доставить перемѣщенія  $\delta_{ma}$ ,  $\delta_{aa}$ ,  $\delta_{ba}$ . Совершенно подобнымъ же путемъ получается площадь прогибовъ для состоянія  $B = -1$ , откуда находимъ перемѣщенія  $\delta_{bb}$ ,  $\delta_{mb}$ ,  $\delta_{ab}$  (при правильности построений должны получить  $\delta_{ab} = \delta_{ba}$ ); такимъ образомъ теперь мы имѣемъ всѣ значенія, коими опредѣляется вліяніе груза  $P_m$ .

Объ этомъ вліяніи имѣемъ сужденіе изъ равенствъ

$$(2) \quad \left\{ \begin{array}{l} 0 = P_m \delta_{ma} - A \delta_{aa} - B \delta_{ab} \\ 0 = P_m \delta_{mb} - A \delta_{ba} - B \delta_{bb} \end{array} \right.$$

\*) На фиг. 321, ради упрощенія чертежа, построена веревочная кривая,

причёмъ  $A$  и  $B$  выражаются линейными функциями перемѣнныхъ  $\delta_{ma}$ ,  $\delta_{mb}$ . Напримѣръ, будемъ имѣть

$$(3) \quad A = K_a \delta_{ma} + K_b \delta_{mb},$$

гдѣ  $K_a$  и  $K_b$  означаютъ постоянныя величины, независящія отъ положенія груза  $P$ , поэтому можно также написать:  $A = K_a (\delta_{ma} + K' \delta_{mb})$ , гдѣ  $K'$  новая постоянная. Такъ какъ теперь по этой формулѣ  $A$  пропорционально ординатѣ  $\delta_{ma}$ , увеличенной на величину  $K' \delta_{mb}$ , затѣмъ, такъ какъ грузу  $P$ , приложеному въ точкѣ опоры  $C_1$  или  $C_2$ , соотвѣтствуетъ значеніе  $A = 0$ , и такъ какъ, наконецъ, грузъ  $P$ , приложенный къ точкѣ опоры  $A$ , вызываетъ сопротивленіе  $A = P$ , то для построенія площади вліянія для количества  $A$  получается слѣдующее простое правило (фиг. 321 f).

Построимъ веревочный многоугольникъ  $I$  для грузовъ  $w' = \frac{y's}{r^2} \frac{F_e}{F}$

при произвольномъ полюсномъ разстояніи и затѣмъ черезъ точки 1, 2, 3, въ которыхъ пересѣкается веревочный многоугольникъ  $I$  съ вертикальными прямыми, проходящими черезъ опоры  $C_1$ ,  $C_2$ ,  $B$ , проведемъ веревочный многоугольникъ  $II$ , построенный для грузовъ  $w'' = \frac{y''s}{r^2} \frac{F_e}{F}$ . Площадь, заключающаяся между обоими веревочными многоугольниками, будетъ искомая площадь вліянія для количества  $A$ .

При обозначеніяхъ  $\eta$  и  $v$ , нанесенныхъ на фиг. 321 f, имѣемъ

$$(4) \quad A = P \frac{\eta}{v};$$

если же единицу груза представить отрѣзкомъ длиной  $v$ , то получимъ  $A = \eta$ .

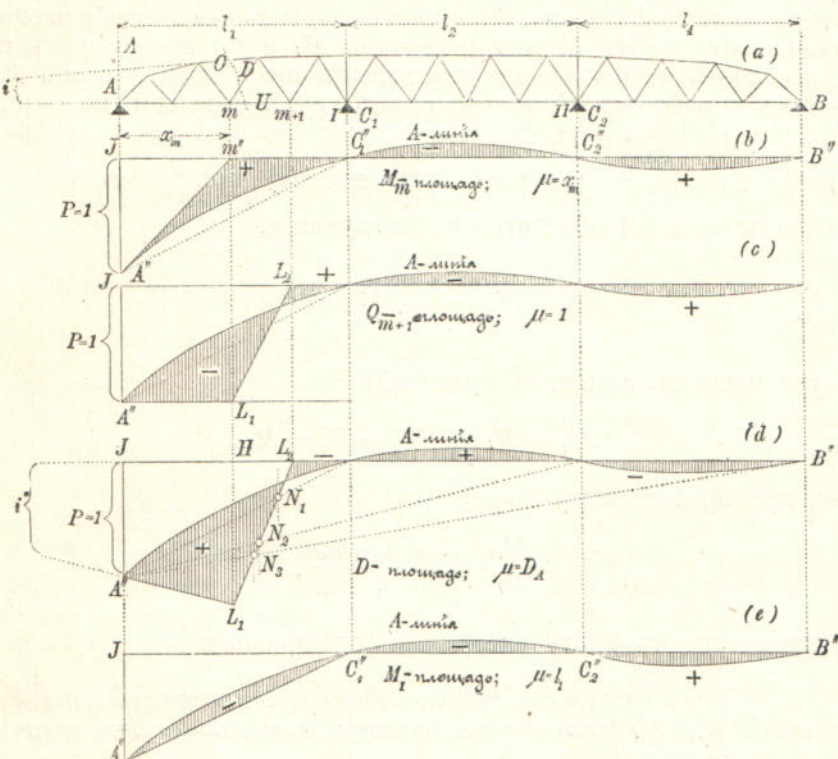
**125. Измѣненіями температуры** при изслѣдованіи неизрѣзныхъ балокъ обыкновенно пренебрегаютъ. Если же требуется принять во вниманіе дѣйствіе солнечныхъ лучей на верхній поясъ, тогда придется построить веревочный многоугольникъ ( $III$ ) для грузовъ  $w_t = \frac{s \Delta t}{r}$  (см. № 123), фиг. 321 g, провести замыкающую линію и измѣрить подъ  $A$  и  $B$  ординаты  $\delta_{at}$  и  $\delta_{bt}$ . Для вычисленія  $A_t$  и  $B_t$  послужатъ тогда равенства, выведенныя изъ равенствъ 1:

$$(5) \quad \left\{ \begin{array}{l} 0 = -A_t \delta_{aa} - B_t \delta_{ab} + \epsilon E F_c \delta_{at} \frac{w_{tp}}{w_p} \\ 0 = -A_t \delta_{ba} - B_t \delta_{bb} + \epsilon E F_c \delta_{bt} \frac{w_{tp}}{w_p}, \end{array} \right.$$

причёмъ предполагается, что веревочные многоугольники  $I$ ,  $II$  на фиг. 321 с, е построены при одномъ и томъ же полюсномъ разстояніи  $w_p$ , а веревочный многоугольникъ  $III$  при полюсномъ разстояніи  $w_{tp}$ . Количество  $w_p$  и  $w_{tp}$  измѣряются тѣми же масштабами, которыми были измѣрены величины  $w'$ ,  $w''$  и соотвѣтственно  $w_t$  \*).

\*.) См. примѣчаніе на стр. 60.

**126. Изслѣдованіе бокового пролета.** Изъ линіи вліянія для количества  $A$  можно получить всѣ площиади вліянія, необходимыя для расчета первого пролета; дѣлается это совершенно подобно тому, какъ было сдѣлано въ § 12 для фермы на трехъ опорахъ; линію вліянія для  $A$  слѣдуетъ построить съ горизонтальною нулевою осью ( $J C''_1 C''_2 B''$ , фиг. 322). Фиг. 322 b, c, d понятны безъ дальнѣйшихъ объясненій, если только будемъ помнить, что вліяніе грузовъ, лежащихъ вправо отъ сѣченія  $tt$ , на величины момента  $M_m$ ,



Фиг. 322.

перерѣзывающей силы  $Q_{m+1}$  и усилия  $D$  пропорціонально сопротивленію опоры  $A$ , потому что влѣво отъ  $tt$  будетъ дѣйствовать только вѣнчанная сила  $A$ , и что всѣ площиади вліянія будутъ соотвѣтствовать простой балкѣ  $AC_1$ , если только ломанную линію вліянія для  $A$  замѣнить прямую  $A''C''_1$  (т. е. линіей вліянія для количества  $A$  въ простой балкѣ  $AC_1$ ).

Для получения площиади вліянія для количества  $M_m$  находимъ  $m''$  подъ  $t$  и проводимъ прямую  $A''m''$ . Множитель  $= x_m$ .

Площиадь вліянія для количества  $Q$  въ панели  $m - (m-1)$  получается при проведеніи прямой  $L_2L_1$ . Множитель  $= 1$ .

Точка  $L_1$  площиади вліянія для усилия  $D$ , фиг. 322 d, можетъ быть опредѣлена четырьмя способами, а именно съ помощью условія, что точка пересѣченія  $i''$  линій  $L_1A''$  и  $B''J$  лежитъ на вертикали точки встрѣчи  $i$  стержней  $O$  и  $U$ , или съ помощью ну-

левыхъ точекъ  $N_1, N_2, N_3$ , соотвѣтствующихъ простымъ балкамъ  $AC_1, AC_2, AB$  \*). Наконецъ можно было бы опредѣлить отрѣзокъ  $HL_1$  съ помощью количества  $[D]$ , см. фиг. 318 f и g.

На фиг. 322 е построена еще съ помощью линіи вліянія для  $A$  площадь вліянія для момента  $M_{c1}$  (опорный моментъ), который мы, краткости ради, обозначаемъ черезъ  $M_I$ ; множитель будетъ  $= l_1$ ; подобнымъ же путемъ можно съ помощью линіи вліянія для  $B$  построить площадь вліянія для опорного момента  $M_{c2} = M_H$ . Въ большинствѣ случаевъ мы имѣемъ дѣло съ симметричными фермами, поэтому линія вліянія для  $M_H$  будетъ зеркальнымъ изображеніемъ линіи вліянія для  $M_I$ . Между моментами  $M_I$  и  $M_H$  существуетъ слѣдующее соотношеніе, важное для дальнѣйшихъ изслѣдований. Если возьмемъ вправо отъ  $C_2$  только одинъ грузъ, лежащий на разстояніи  $\xi$  отъ  $C_2$  (фиг. 322), то этому грузу по фиг. 321 с отвѣтаетъ значение  $\delta_{m1} = \frac{\xi \delta_{ba}}{l_3}$ , и первое уравненіе (1) при  $\delta_a = 0, \delta_{at} = 0$  (и такъ какъ  $\delta_{ab} = \delta_{ba}$ ) обратится въ слѣдующее:

$$0 = P\delta_{ba} \frac{\xi}{l_3} - A\delta_{aa} - B\delta_{ba};$$

это уравненіе съ помощью уравненій

$$Al_1 = M_I \text{ и } Bl_3 - P\xi = M_H$$

легко преобразовать въ такое:

$$\frac{M_H}{M_I} = - \frac{l_3}{l_1} \frac{\delta_{aa}}{\delta_{ba}},$$

что приводить къ слѣдующему важному правилу:

*Когда нагруженъ только одинъ крайній пролетъ, то отношеніе  $M_H : M_I$  принимаетъ значение, независящее отъ величины и положенія грузовъ \*\*).*

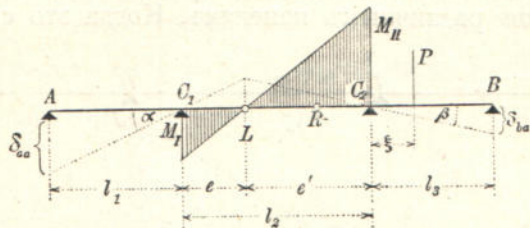
Линія моментовъ для пролета  $l_2$ , если нагруженъ только пролетъ  $l_3$ , выражается такимъ образомъ прямой линіей, проходящей черезъ постоянную точку  $L$ ; положеніе этой точки можетъ быть опредѣлено по способу, указанному на фиг. 323; а именно, мы находимъ:

$$-M_H : M_I = e' : e = \cotg \beta : \cotg \alpha = \left( \frac{l_3}{\delta_{ba}} \right) : \left( \frac{l_1}{\delta_{aa}} \right).$$

\*.) Вспомогательные линіи на фиг. 322 удалены; см. также фиг. 318 a и f.

\*\*) Зная такимъ образомъ вѣтви  $M_I$  — линіи, соотвѣтствующей пролету  $l_3$ , мы можемъ тотчасъ же построить соотвѣтствующую вѣтвь для  $M_H$  — линіи, или обратно. Если нагрузка внутри пролета  $l_3$  расположена такимъ образомъ, что  $M_I$  получаетъ наибольшее (по абсолютной величинѣ) значеніе, то этому положенію нагрузки будетъ соотвѣтствовать также и наибольшее значеніе  $M_H$ .

Совершенно такимъ же путемъ мы можемъ съ помощью величинъ  $\delta_{ab}$  и  $\delta_{aa}$  опредѣлить постоянную точку  $R$ , черезъ которую при нагрузкѣ одного пролета  $l_1$  проходитъ прямая линія моментовъ.



Фиг. 323.

Точки  $L$  и  $R$  называются *постоянными точками*<sup>\*\*</sup>; вертикальныя прямые, опредѣляющія ихъ положеніе, нанесены на фиг. 321 с и е пунктиромъ и обозначены буквами ( $L$ ), ( $R$ ).

Отношенія между отрѣзками, на которые дѣлится пролетъ  $l_2$  постоянными точками, будемъ обозначать дальше такъ:

$$\frac{e'}{e} = \frac{\overline{LC_2}}{\overline{LC_1}} = z; \quad \frac{\overline{RC_1}}{\overline{RC_2}} = z'.$$

Смотря потому какой пролетъ нагруженъ правый или только лѣвый, мы получимъ:

$$M_{II} = -z M_I \text{ и соответственно } M_I = -z' M_{II}.$$

**127. Извѣдованіе средняго пролета**, фиг. 324. Предположимъ сначала, что средній пролетъ раздѣленъ узловыми точками на равныя панели, и покажемъ, какъ можно вывести всѣ линіи вліянія изъ одной линіи, ординаты которой даютъ значенія  $\frac{1}{l_2} (M_{II} - M_I)$ , соотвѣтствующія различнымъ положеніямъ груза. Эта вспомогательная линія, простирающаяся отъ  $A''$  до  $B''$ , фиг. 324, отнесена къ горизонтальной нулевой линіи  $A''B''$ ; опредѣляется она при помощи линій вліяній для количествъ  $M_I$  и  $M_{II}$ , построенныхъ уже въ предыдущихъ изслѣдованіяхъ; эта линія строится такимъ образомъ, чтобы множитель ея былъ  $= 1$ <sup>\*\*\*</sup>).

Начнемъ съ *перерѣзывающихъ силъ*  $Q$  и найдемъ для  $m$ -ой панели (см. томъ I, выпускъ II, № 82, уравн. 2):

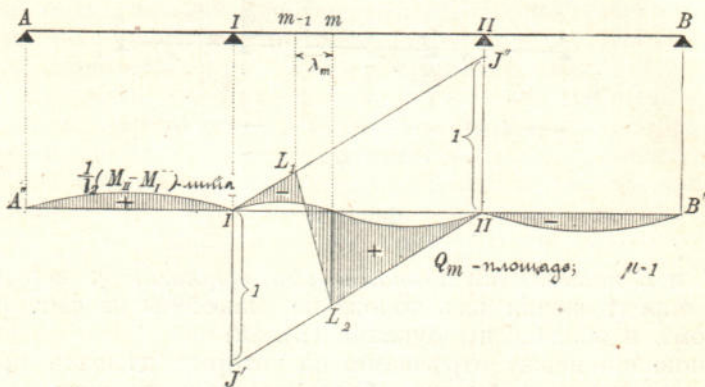
$$(6) \quad Q_m = Q_{om} + \frac{M_{II} - M_I}{l_2},$$

гдѣ  $Q_{om}$  означаетъ *перерѣзывающую силу* въ панели ( $m-1$ ) —  $m$  пристой балки  $I-II$ . Площадь вліянія для  $Q_m$ , получаемая изъ раз-

<sup>\*)</sup> Постоянныя точки перегиба.

<sup>\*\*)</sup>  Заштрихованную площадь на фиг. 322 е слѣдуетъ принять за площадь вліянія для количества  $M_I : l_1$  ( $\mu = 1$ ) и затѣмъ ординаты ея умножить графически на  $l_1 : l_2$ . Такимъ же способомъ опредѣляется  $M_{II} : l_2$ .

смотрѣнія ур. 6, построена на фиг. 324; это построеніе не нуждается въ поясненіяхъ: очевидно, что всѣ площади вліянія для  $Q$  опредѣляются двумя постоянными прямыми  $IJ''$  и  $IIJ'$  и линіей количествъ  $(M_m - M_1) : l_2$ . Для насъ необходимо провести только прямая  $L_1L_2$ , соотвѣтствующая различнымъ панелямъ. Когда это сдѣлано, то мы

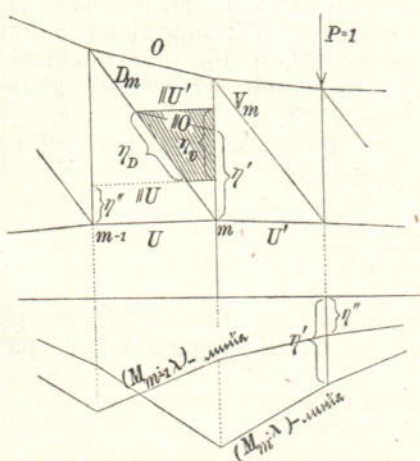


Фиг. 324.

имѣемъ возможность построить по очереди *площади вліянія* для  $M : \lambda$  по уравненію

$$(7) \quad \frac{M_m}{\lambda} = \frac{M_{m-1}}{\lambda} + Q_m,$$

исходя изъ построенія площади вліянія для  $M_1 : \lambda$ , опредѣленной раньше при помоши площади вліянія для  $M_1 : l_1$ . Когда крайняя значенія количествъ  $M : \lambda$  опредѣляются съ помошью линій вліянія, то крайняя значенія усилий въ поясахъ найдутся уже весьма просто по извѣстному намъ способу.

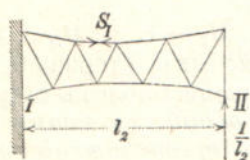


Фиг. 325.

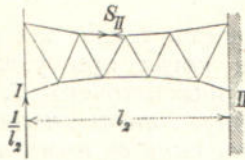
Точно также линіи вліянія для *промежуточныхъ* стержней можно быстро построить съ помошью линій вліянія для  $M : \lambda$ , примѣняя способъ Циммермана (см. томъ I, выпускъ IV—№ 164 и выпускъ V—№ 185). На фиг. 325, представляющей часть рѣшетки со стойками съ щездой поверху, показано, какъ изъ ординатъ  $\eta'$  и  $\eta''$  линій вліянія для количествъ  $M_m : \lambda$  и  $M_{m-1} : \lambda$  опредѣляются ординаты  $\eta_d$  и  $\eta_v$  линій вліянія для усилий  $D_m$  и  $V_m$ , соотвѣтствующія какому нибудь положенію груза  $P$ . Теперь слѣдуетъ построить только части линій вліянія, лежащія между опорами  $I$  и  $II$ , чтобы воспользоваться ими для опредѣленія вліянія гру-

зовъ, лежащихъ на среднемъ пролетѣ \*). Вліяніе нагрузки, лежащей на боковыхъ пролетахъ, на усилия въ стержняхъ средняго пролета можно опредѣлить весьма быстро по слѣдующимъ правиламъ.

Полагаемъ, что  $M_H = 0$  и  $M_I = 1$ , и для этого случая (см. фиг. 326, гдѣ свободная ферма съ лѣваго конца закрѣплена, а съ праваго конца несетъ силу  $= \frac{1}{l_2}$ ) опредѣляемъ усилия  $S_I$  для всѣхъ стержней средняго пролета—напр., при помощи діаграммы Кремоны.



Фиг. 326.



Фиг. 327.

Затѣмъ подобнымъ же путемъ изслѣдуемъ состояніе нагрузки  $M_I = 0$ ,  $M_H = 1$ , которое доставляетъ усилия  $S_H$ , фиг. 327. Тогда вліяніе опорныхъ моментовъ на какое нибудь усилие  $S$  выразится въ такой формѣ

$$(6) \quad S' = S_I M_I + S_H M_H;$$

теперь мы будемъ въ состояніи опредѣлить дѣйствіе грузовъ, лежащихъ на боковыхъ пролетахъ. Если нагрузить сначала только *правый боковой пролетъ*, то по № 126 (стр. 65) будемъ имѣть  $M_I = -\frac{1}{\chi} M_H$  \*\*); отсюда получимъ

$$S' = M_H \left( -\frac{S_I}{\chi} + S_H \right),$$

т. е. то выраженіе, наибольшее значеніе котораго можетъ быть опредѣлено съ помощью линіи вліянія для  $M_H$ . Точно такимъ же путемъ изслѣдуется случай загрузки *одного лѣваго бокового пролета*. Количество  $S'$  приводится здѣсь съ помощью выраженія  $M_H = -\frac{1}{\chi'} M_I$  къ такой формѣ:

$$(7) \quad S' = M_I \left( S_I - \frac{S_H}{\chi'} \right),$$

которое вычисляется съ помощью линіи вліянія для количества  $M_I$ .

\* ) Впрочемъ часто случается, что при загрузкѣ положительного или отрицательного протяженія средняго пролета часть поѣзда придется на крайнихъ пролетахъ (тому I, выпускъ II, фиг. 126); вліяніемъ этой части поѣзда слѣдуетъ пренебречь; основанія къ этому были высказаны въ № 89, выпускъ II, томъ I).

\*\*) Мы выражаемъ величину  $M_I$  въ зависимости отъ  $M_H$ , потому что линія вліянія для количества  $M_H$  имѣеть въ предѣлахъ рассматриваемаго пролета большія ординаты, чѣмъ линія вліянія для  $M_I$ ; поэтому опредѣленіе наибольшихъ значеній  $M_H$  даетъ болѣе точный результатъ.

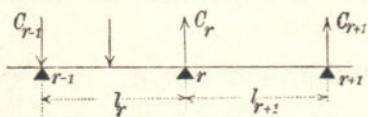
Найденные такимъ путемъ оба значенія  $S'$  имѣютъ обыкновенно разные знаки. Одно изъ значеній надо прибавить къ  $S_{max}$ , другое къ  $S_{min}$ .

Замѣтимъ еще, что усилиями  $S_I$  и  $S_{II}$  можно воспользоваться для того, чтобы весьма простымъ способомъ вывести линіи вліянія для усилия  $S$  изъ линій вліяній для  $M_I$  и  $M_{II}$ . Съ этой цѣлью пользуемся такимъ выражениемъ

$$(8) \quad S = S_0 + S_I M_I + S_{II} M_{II},$$

гдѣ  $S_0$  означаетъ усилие для состоянія  $M_I = 0$  и  $M_{II} = 0$ , т. е. для того случая, когда при удалении поясныхъ стержней, лежащихъ противъ опорныхъ точекъ  $C_1$  и  $C_2$ , средній пролетъ обращается въ простую балку. Этотъ способъ самый общий; въ этомъ его преимущество, такъ какъ съ нимъ не связано предположеніе о равенствѣ панелей.

**128. Сопротивленія среднихъ опоръ.** Пусть  $r - 1, r, r + 1$  будутъ три рядомъ стоящія опоры балки, лежащей на произвольномъ числѣ опоръ  $M_{r-1}, M_r, M_{r+1}$  опорные моменты,  $C_{r-1}, C_r, C_{r+1}$  сопротивленія опоръ. Пусть  $C_{or}$  означаетъ ту величину сопротивленія  $C_r$ , когда всѣ опорные моменты равны нулю, или иначе говоря, когда части фермы  $l_r$  и  $l_{r+1}$  обращаются въ простыя балки. Если простыя балки  $l_r$  и  $l_{r+1}$  производятся на опору  $r$  соотвѣтственно давленія  $B_r$  и  $A_{r+1}$ , то получимъ



Фиг. 328.

изъченія неразрѣзной балки, взятаго влево или вправо отъ  $r$ , опредѣлится по формуламъ

$$C_{or} = B_r + A_{r+1}.$$

Перерѣзывающая сила для съченія неразрѣзной балки, взятаго влево или вправо отъ  $r$ , опредѣлится по формуламъ

$$Q_1 = -B_r + \frac{M_{r-1} - M_r}{l_r} \text{ и соотвѣтств. } Q_2 = +A_{r+1} + \frac{M_{r+1} - M_r}{l_{r+1}},$$

а такъ какъ  $Q_2 = Q_1 - C_r$ , то мы получимъ общее выраженіе:

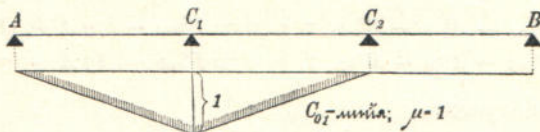
$$C_r = C_{or} + \frac{M_{r-1} - M_r}{l_r} + \frac{M_{r+1} - M_r}{l_{r+1}}.$$

Такимъ образомъ для сопротивленія опоры  $C_1$  въ трехпролетной фермѣ (моментъ  $M$  для крайней опоры = 0) получимъ выраженіе

$$C_1 = C_{o1} - \frac{M_I}{l_1} + \frac{M_{II} - M_I}{l_2};$$

поэтому линія вліянія для количества  $C_1$  опредѣляется линіей вліянія для  $C_{o1}$ , фиг. 329, и ранѣе построеннымъ линіямъ вліянія для

количество  $M_I : l_1$  и  $(M_H - M_I) : l_2$ . Подобнымъ же образомъ опредѣляется линія вліянія для количества  $C_2$ .



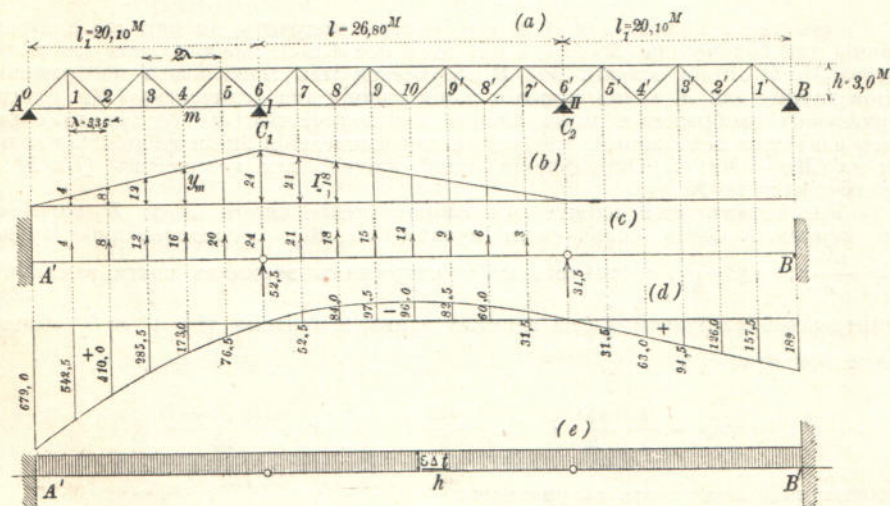
Фиг. 329.

**129.** При примѣненіи способа, описанного въ этомъ §, слѣдуетъ обратить вниманіе на то, что линіи вліянія для  $A$  и для опорныхъ моментовъ были вычертены повозможности точнѣе и не въ маломъ масштабѣ. Въ особенности рекомендуется опредѣлить ординаты этихъ линій аналитически, а для этого слѣдуетъ замѣтить, что площади прогибовъ на фиг. 321 можно представить какъ площади моментовъ для балки съ двумя задѣланными концами ( $A$  и  $B$ ), которая обращена въ статически опредѣлимую систему путемъ введенія двухъ шарнировъ, лежащихъ на вертикальныхъ точкахъ  $C_1$  и  $C_2$ .

Разъяснимъ это на *численномъ примерѣ*.—Имѣемъ симметричную ферму съ параллельными поясами; пролеты ея  $20,10$  м.,  $26,80$  м.,  $20,10$  м., фиг. 330. Всѣ панели одинаковы  $\lambda = 3,35$  м., высота  $h = 3,0$  м.

Грузы  $w$  могутъ быть взяты равными ординатамъ у треугольниковъ моментовъ  $I$  и  $\Pi$ , изъ которыхъ на фиг. 330 построены только первый (см. примѣненіе на стр. 57); высоты треугольниковъ надо такъ выбрать, чтобы для всѣхъ грузовъ  $w$  получились круглые числа. Возьмемъ высоту  $= 24$ .

Фиг. 330 съ представляетъ балку  $A'B'$  съ двумя задѣланными концами, въ которой ради статической опредѣлимости введены два шарнира; площадь моментовъ для этой балки, фиг. 330 d (построенная въ произвольномъ масштабѣ, что не играетъ никакой роли), можетъ разматываться какъ площадь прогибовъ для состоянія  $A = -1$ ; часть фермы, лежащая между шарнирами и нагрузкой.



Фиг. 330.

женная грузами  $21,18, \dots, 3$ , можетъ разматываться какъ простая балка; эта балка производить на шарниры давленія  $52,5$  и  $31,5$ , направленные снизу вверхъ.

При вычислении моментовъ для фермы  $A'B'$  можно принять, что длина панелей  $= 1$ ; тогда получатся числа, вписанные въ фиг. 330 d, а именно:  $b_{aa} = 679,0$ ,  $b_{ba} = 189,0$ ; напр., для узла 4:  $c_{ma} = 173,0$ . Площадь прогибовъ для

состоянія  $B = -1$  будетъ зеркальнымъ изображеніемъ фиг. 330 д; изъ нея получимъ:  $\delta_{ab} = 189,0$ ,  $\delta_{bb} = 679,0$ ,  $\delta_{mb} = 63,0$ <sup>\*</sup>).

Вычислимъ теперь ординаты линіи вліянія для количества  $A$  съ помощью уравненій:

$$o = P\delta_{ma} - A\delta_{aa} - B\delta_{ab}, \text{ т. е. } o = P\delta_{ma} - 679A - 189B$$

$$o = P\delta_{mb} - A\delta_{ba} - B\delta_{bb}, \text{ т. е. } o = P\delta_{mb} - 189A - 679B.$$

При  $P = 1$  получимъ:

$$A = \frac{679\delta_{ma} - 189\delta_{mb}}{425 \cdot 320},$$

напр. для узла 4:

$$A = \frac{679 \cdot 173,0 - 189 \cdot 63}{425 \cdot 320} = 0,2482$$

Вычисленныя подобнымъ путемъ ординаты сведены въ слѣдующую таблицу:

Узлы.	$A$	Узлы.	$A$	Узлы.	$A$
0	+ 1,0000	7	- 0,0698	6'	0
1	+ 0,7961	8	- 0,1074	5'	+ 0,0163
2	+ 0,5985	9	- 0,1190	4'	+ 0,0237
3	+ 0,4138	10	- 0,1106	3'	+ 0,0240
4	+ 0,2482	9'	- 0,0884	2'	+ 0,0190
5	+ 0,1081	8'	- 0,0585	1'	+ 0,0104
6	0	7'	- 0,0270	0'	0

Изъ линіи вліянія для  $A$  можно теперь получить, по фиг. 322 е, линію вліянія для количества  $(M_I : l_1)$ , а изъ этой послѣдней линію вліянія для количества  $M_I : \lambda$ . Линія вліянія для  $B$  получается изъ зеркального изображенія линіи вліянія для  $A$ , точно также и линія вліянія для количества  $(M_H : l_1)$  изъ зеркального изображенія линіи вліянія для количества  $(M_I : l_1)$ ; такимъ образомъ извѣстны всѣ данные, требуемыя для вычислениія линіи вліянія для количества  $(M_H - M_I) : l$ . Опредѣленіе линій вліяній для количествъ  $Q$  и  $M : \lambda$  производится по № 127.

Изслѣдуемъ еще вліяніе на сопротивленія опоръ  $A$  и  $B$  нагрѣванія верхняго пояса солнечными лучами ( $A_t$ ,  $B_t$ ). Сосредоточенные грузы  $w_t = \frac{\varepsilon \Delta t s}{r} = \varepsilon \Delta t \frac{2\lambda}{h}$ , соотвѣтствующіе стержнямъ верхняго пояса, замѣнимъ непрерывной нагрузкой  $\frac{\varepsilon \Delta t}{h}$  на единицу длины и найдемъ для  $A'$  и  $B'$  одинаковые моменты:

$$\delta_{at} = \delta_{bt} = \frac{1}{2} \frac{\varepsilon \Delta t}{h} l \cdot l_1 + \frac{\varepsilon \Delta t}{h} l_1 \cdot \frac{l_1}{2} = \frac{\varepsilon \Delta t l_1 (l_1 + l)}{2h},$$

которые надо подставить въ уравненія:

$$(I) \quad \left\{ \begin{array}{l} O = \delta_{at} - A_t \delta_{aa} - B_t \delta_{ab} \\ O = \delta_{bt} - A_t \delta_{ba} - B_t \delta_{bb}. \end{array} \right.$$

<sup>\*</sup>) См. также фиг. 321 е.

Но для  $\delta_{aa} = \delta_{bb}$  и  $\delta_{ab} = \delta_{ba}$  нельзя принять раньше найденные значения 679 и 189; необходимо обратить здѣсь внимание на то, что грузы  $w = \frac{y^8}{r^2 EF} = \frac{y \cdot 2\lambda}{h^2 EF}$  были замѣнены грузами  $w = y$ , затѣмъ высота треугольника моментовъ I была взята не  $l_1 = 20,10$ , а  $= 24,0$  и наконецъ, что для моментовъ на фиг. 330 была принята длина панелей  $= 1$ . На этомъ основаніи въ уравненія I надо ввести значенія:

$$\delta_{aa} = \delta_{bb} = 679 \frac{2\lambda}{h^2 EF} \frac{l_1}{24} \cdot \lambda; \quad \delta_{ab} = \delta_{ba} = 189 \frac{2\lambda}{h^2 EF} \frac{l_1}{24} \lambda,$$

тогда получимъ (при  $A_t = B_t$ ):

$$\frac{\varepsilon \Delta l_1 (l_1 + l)}{2h} = A_t \frac{2\lambda}{h^2 EF} \frac{l_1}{24,0} \lambda (679 + 189).$$

Если  $l_1 = 20,10$ ,  $l = 26,60$ ,  $\lambda = 3,35 = \frac{1}{14} (l_1 + l)$ ,  $h = 3,0$ ,  $\Delta t = 20^\circ$  Cels.,  $E = 240$  т/м<sup>2</sup>, то получимъ

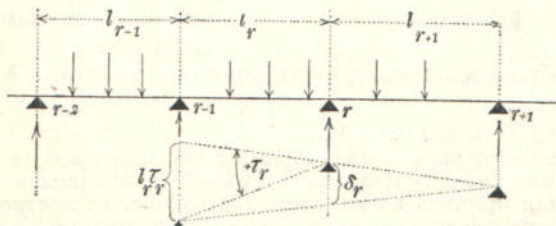
$$A_t = 416 F,$$

гдѣ  $F$  означаетъ среднюю площадь поперечного сѣченія. Такъ напр. при  $F = 130$  см<sup>2</sup>. = 0,013 м<sup>2</sup>. имѣли бы  $A_t = 416 \cdot 0,013 = 5,4$  т.

## § 14.

### Неразрѣзная балка на многихъ опорахъ.

**130. Условія упругости.** Балка, лежащая на  $(n+1)$  опорахъ, непрерываемая шарнирами, будетъ  $(n-1)$  разъ статически неопределенна, потому что для обращенія этой фермы въ статически опредѣлимую систему необходимо устранить  $(n-1)$  опоръ. Произведемъ сначала общее изслѣдованіе этой балки, не входя въ разсмотрѣніе того, будетъ ли она рѣшетчатая или сплошная. Обозначимъ три рядомъ лежащія опоры по порядку номерами  $r-1$ ,  $r$ ,  $r+1$ ; пусть горизонтальныя разстоянія между ними будутъ  $l_r$ ,  $l_{r+1}$ , фиг. 331. Прямая  $r-(r-1)$  и  $r-(r+1)$ , которая соединяютъ точку  $r$  съсосѣдними опорными точками, назовемъ *парою прямыхъ съ номеромъ r*, а уголъ, образуемый ими при осадкѣ опоръ, обо-



Фиг. 331.

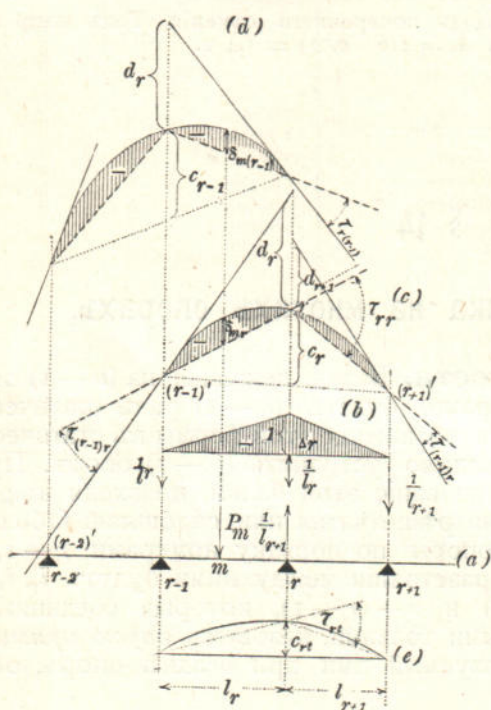
значимъ черезъ  $\tau_r$ . Пусть  $\delta_r$  означаетъ вертикальное перемѣщеніе опорной точки  $r$  относительно точекъ  $(r-1)$  и  $(r+1)$  (перемѣщеніе кверху считается положительнымъ), тогда получимъ уравненіе

$$(1) \quad l_r \tau_r = \delta_r \frac{l_{r+1} + l_r}{l_{r+1}}, \text{ или } \tau_r = \delta_r \frac{l_{r+1} + l_r}{l_r + l_{r+1}},$$

изъ котораго при наблюдаемомъ перемѣщеніи  $\delta_r$  можно получить величину угла вращенія  $\tau_r$ . Выразивъ теперь величину  $\tau_r$  въ зависимости отъ силъ, дѣйствующихъ на балку, и отъ измѣненія температуры, мы получимъ условіе упругости; послѣдовательное повтореніе этого способа доставитъ столько условій, сколько имѣется среднихъ опоръ, въ общемъ получимъ  $(n-1)$  условій.

За статически наопредѣлымъ величины слѣдуетъ принять опорные моменты  $M_1, M_2, \dots, M_{r-1}, M_r, M_{r+1}, \dots, M_{n-1}$ ; сначала потребуется построить линія прогибовъ для состояній

$$M_1 = -1, M_2 = -1, \dots, M_r = -1, M_{r+1} = -1,$$



Фиг. 332.

извѣстнымъ образомъ изъ треугольника моментовъ  $\Delta_r$  \*\*); вѣнчаніе

\*) См. № 16 и 17, выпускъ VI.

\*\*) Вычисление грузовъ  $w$  для рѣшетки производится по правиламъ § 12, № 117. Влияниемъ промежуточныхъ стержней обыкновенно пренебрегаютъ; если же требуется принять во вниманіе это влияніе, то построеніе линій прогибовъ должно производиться съ помощью диаграммъ по Виллю. Вычисление грузовъ  $w$  для сплошныхъ балокъ, къ которымъ примѣнимы выше приведенные равенства, будетъ показано во второмъ отдѣлѣ этого тома (см. выпускъ X).

и опредѣлить взаимныя вращенія паръ прямыхъ, соответствующихъ среднимъ опорамъ  $1, 2, \dots, r-1, r, r+1, \dots, n-1$ . Обозначимъ при этомъ буквой  $\tau_{pq}$  уголъ поворота пары прямыхъ номера  $p$  отъ дѣйствія причины  $M_q = -1$  и припомнимъ кстати о зависимости, полученной изъ теоремы Максуелля

$$(2) \quad \tau_{pq} = \tau_{qp}.$$

На фиг. 332 б показана площадь моментовъ для состоянія  $M_r = -1$ , вызываемаго единичной нагрузкой пары прямыхъ съ номеромъ  $r$ , причемъ эта нагрузка состоитъ изъ четырехъ силъ  $\left(\frac{1}{l_r}, \frac{1}{l_{r+1}}\right)$  \*). На фиг. 332 с построена соответствующая линія прогибовъ, т. е. веревочный многоугольникъ для грузовъ  $w$ , вычисленныхъ

построена соответствующая линія прогибовъ, т. е. веревочный многоугольникъ для грузовъ  $w$ , вычисленныхъ

бока веревочнаго многоугольника будуть представлять линії прогибовъ для частей балки, лежащихъ влѣво отъ  $r - 1$  и вправо отъ  $r + 1$ , которая не испытываютъ напряженій отъ состоянія  $M_r = -1$ ; отсюда слѣдуетъ, что рассматриваемый случай нагрузки имѣеть вліяніе только на взаимное вращеніе паръ прямыхъ съ номерами  $(r - 1)$ ,  $r$  и  $(r + 1)$ , а потому получаемъ

$$(3) \quad \begin{cases} \tau_{(r-2)r} = 0, & \tau_{(r-3)r} = 0, \\ \tau_{(r+2)r} = 0, & \tau_{(r+3)r} = 0, \end{cases} \dots$$

Выразивъ поэтому вращеніе  $\delta_r$  въ зависимости отъ грузовъ  $P$ , статически неопредѣлимыхъ величинъ  $M$  и измѣненій температуры и, принявъ во вниманіе уравненіе (3), получимъ условіе упругости, соотвѣтствующее опорѣ  $r$ :

$$(4) \quad \tau_r = \Sigma P_m \delta_{mr} - \tau_{(r-1)r} M_{r-1} - \tau_{rr} M_r - \tau_{r(r+1)} M_{(r+1)} + \tau_{rt},$$

гдѣ  $\tau_{rt}$  означаетъ вліяніе измѣненія температуры.

Значенія  $\delta_{mr}$ ,  $\tau_{(r-1)r} = \tau_{(r-1)r}$ ,  $\tau_{rr}$ ,  $\tau_{r(r+1)} = \tau_{(r+1)r}$  опредѣляются линіей прогибовъ на фиг. 332 с; величину же  $\tau_{rt}$  можно представить съ помощью веревочнаго многоугольника для грузовъ  $w$  (фиг. 332 е) въ такой формѣ

$$(5) \quad \tau_{rt} := c_{rt} \frac{l_{r+1} + l_r}{l_{r+1} l_r}.$$

Если здѣсь ввести еще такія соотношенія, имѣющія мѣсто для случая весьма малыхъ деформаций, которыми мы исключительно и занимаемся, а именно:

$$(6) \quad \tau_{(r-1)r} = \frac{d_r}{l_r}; \quad \tau_{rr} = c_r \frac{l_{r+1} + l_r}{l_{r+1} l_r}; \quad \tau_{r(r+1)} = \frac{d_{r+1}}{l_{r+1}},$$

то равенства (4) обратятся въ слѣдующія:

$$(7) \quad M_{r-1} \frac{d_r}{l_r} + M_r \left( \frac{c_r}{l_r} + \frac{c_r}{l_{r+1}} \right) + M_{r+1} \frac{d_{r+1}}{l_{r+1}} = N_r, \text{ гдѣ}$$

$$(8) \quad N_r = - \left\{ \Sigma P_m \delta_{mr} + \frac{l_r + l_{r+1}}{l_r l_{r+1}} (\delta_r + c_{rt}) \right\}.$$

Причемъ знакъ передъ членомъ  $\Sigma P_m \delta_{mr}$  взять обратный, потому что теперь подъ  $\delta_{mr}$  должна подразумѣваться всегда абсолютная величина рассматриваемой ординаты линіи прогибовъ.

Уравненія числомъ ( $n - 1$ ), составленныя по формѣ уравненія 7, называются основными уравненіями; впослѣдствіи мы будемъ писать ихъ въ болѣе удобной формѣ:

$$(9) \quad \alpha_r M_{r-1} + \beta_r M_r + \alpha_{r+1} M_{r+1} = N_r,$$

гдѣ

$$(10) \quad \alpha_r = \tau_{(r-1)r} = \tau_{(r-1)r}; \quad \beta_r = \tau_{rr}; \quad \alpha_{r+1} = \tau_{(r+1)r} = \tau_{(r+1)r}.$$

Прежде чѣмъ перейти къ разрѣшенію этихъ уравненій, обратимъ вниманіе на то предположеніе, которое мы дѣлали, а именно, что линіи прогибовъ были построены при полюсномъ разстояніи = 1 и что грузы  $w$  вычислялись изъ измѣненій длины стержней рѣшетки. Если теперь взять полюсное разстояніе =  $w_p$  и придать треугольнику  $\Delta_r$  произвольно выбранную, но постоянную для всѣхъ опорныхъ точекъ высоту  $y_e$  и положить, наконецъ,  $w = \frac{ys}{r^2} \frac{F_e}{F}$

вместо  $w = \frac{ys}{r^2 EF}$  (стр. 56), то мы должны будемъ умножить количества  $d$ ,  $c$  и  $\delta_{mr}$  еще на  $w_p: EFy_e$  или — что одно и тоже — разделить на это же выраженіе членъ  $\delta_r + c_{rt}$ . Если кромѣ того грузы  $w_t$  были вычислены для  $\epsilon = 1$  (стр. 60), то величину  $c_t$  въ уравн. (8) надо умножить еще на  $\epsilon$ , и тогда, если полюсное разстояніе веревочного многоугольника для грузовъ  $w_t$  было взято =  $w_{tp}$ , получимъ:

$$(11) \quad N_r = - \left\{ \Sigma P_m \delta_{mr} + \frac{EF_e (l_r + l_{r+1}) y_e}{w_p l_r l_{r+1}} \left( \delta_r + \epsilon c_{rt} \frac{w_{tp}}{w_p} \right) \right\}.$$

Отрѣзки  $\delta_{mr}$ ,  $y_e$ ,  $\delta_r$ ,  $c_{rt}$ ,  $l_r$ ,  $l_{r+1}$  надо измѣрить въ одномъ и томъ же линейномъ масштабѣ;  $w_p$  и  $w_{tp}$  (также какъ и  $w$ ) представляютъ числа.  $EF_e$  представляетъ силу,  $N_r$  — моментъ.

Перемѣщеніями опорныхъ точекъ большою частью пренебрегаютъ ( $\delta_r = 0$ ); также пренебрегаютъ обыкновенно и влияніемъ измѣненія температуры ( $c_{rt} = 0$ ), хотя нагрѣваніе верхняго пояса солнечными лучами можетъ оказать существенное влияніе на напряженія мостовыхъ фермъ. Если же изслѣдуется только влияніе грузовъ  $P$ , то необходимо обратить вниманіе на слѣдующее, а именно, чтобы всѣ треугольники моментовъ  $\Delta$  имѣли одну и ту же высоту  $y_e$  и чтобы всѣ веревочные многоугольники были построены при одномъ и томъ полюсномъ разстояніи  $w_p$ ; тогда величины  $y_e$  и  $w_p$  не будутъ играть никакой роли.

**131. Постоянныя точки  $L$  и  $R$ . Первый способъ разрѣшенія уравненій упругости.** Мы займемся теперь изслѣдованиемъ только влиянія грузовъ  $P$ , т. е. примемъ, что  $\delta_r = 0$  и  $c_{rt} = 0$ ; предположимъ также, что силы  $P$  приложены только въ пролетахъ  $l_r$ ,  $l_{r+1}$ . Линіи моментовъ для частей балки  $l_r$ ,  $l_{r+1}$  будутъ состоять тогда изъ двухъ прямыхъ, опредѣляемыхъ опорными моментами  $M_{r-1}$ ,  $M_r$ ,  $M_{r+1}$  съ нулевыми точками  $L_r$ ,  $L_{r+1}$ , причемъ для этихъ трехъ моментовъ будутъ имѣть место уравненія

$$(12) \quad \alpha_r M_{r-1} + \beta_r M_r + \alpha_{r+1} M_{r+1} = 0$$

$$(13) \quad M_{r-1} = -M_r \frac{a}{b}; \quad M_{r+1} = -M_r \frac{b'}{a'} \quad (\text{см. фиг. 333}),$$

изъ которыхъ получается простая зависимость такого рода

$$\beta_r = \alpha_r \frac{a}{b} + \alpha_{r+1} \frac{b'}{a'}.$$

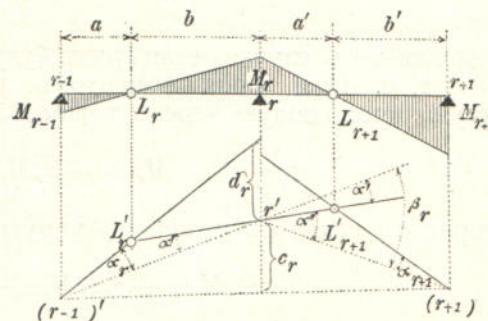
Съ помощью этой формулы легко опредѣлить положеніе одной

изъ нулевыхъ точекъ, если только будетъ задано положеніе другой. Если донести вертикали точекъ  $L_r$  и  $L_{r+1}$  до пересѣченія въ точкахъ  $L'_r$  и  $L'_{r+1}$  съ виѣшними сторонами линій прогибовъ, построенной для случая нагрузки  $M_r = -1$ , то получимъ:

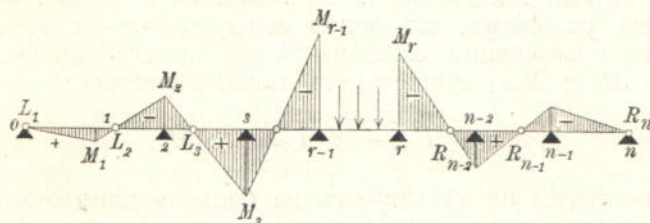
$$\angle L'_r r' (r-1)' = \alpha' = \alpha_r \frac{a}{b} \text{ *)}; \quad \angle L'_{r+1} r' (r+1)' = \alpha'' = \alpha_{r+1} \frac{b'}{a'},$$

или  $\beta_r = \alpha' + \alpha''$ ; а отсюда слѣдуетъ, что *три* точки  $L'_r$ ,  $r'$  и  $L'_{r+1}$  лежатъ на одной прямой \*\*).

Предположимъ, что нагруженъ только пролетъ номера  $r$  и что опорные моменты  $M_{r-1}$ ,  $M_r$  найдены по тому или другому способу. На протяженіи не нагруженаго пролета линія моментовъ состоить изъ прямой, фиг. 334. Пусть нулевые точки этой прямой будутъ: влѣво отъ нагруженаго пролета  $L_1$ ,  $L_2$ ,  $L_3$  . . . вправо отъ него  $R_n$ ,  $R_{n-1}$ ,  $R_{n-2}$ , . . . Точка  $L_1$  совпадаетъ съ точкой опоры о; такимъ образомъ ея положеніе опредѣлено, а вмѣстѣ съ этимъ опредѣлится по порядку, по только что доказанному предложенію, положеніе точекъ



Фиг. 333.



Фиг. 334.

$L_2$ ,  $L_3$ , . . . Подобнымъ же путемъ мы можемъ, исходя отъ  $R_n$ , найти по порядку всѣ точки  $R_{n-1}$ ,  $R_{n-2}$ , . . .

Положеніе точекъ  $L$  и  $R$  совершенно не зависитъ отъ нагрузки балки; положеніе ихъ вполнѣ опредѣляется изъ линій прогибовъ, соотвѣтствующихъ состояніямъ  $M_1 = -1$ ,  $M_2 = -1$ , . . . Поэтому точки эти и называются *постоянными* точками; опредѣлениe ихъ составляетъ первую работу, которую слѣдуетъ произвести

\*) Вспомнимъ, что здѣсь идетъ рѣчь о весьма малыхъ деформаціяхъ. На фиг. 333 построены только точки  $(r-1)', r', (r+1)'$  и виѣшняя стороны разсматриваемой линіи прогибовъ: ср. также фиг. 322 с.

\*\*) Особенный случай подобной зависимости былъ описанъ уже раньше въ § 13.

при изслѣдованиіи многопролетной балки. Зная точки  $L$  и  $R$ , мы легко можемъ опредѣлить по фиг. 334 вліяніе нагрузки какого нибудь пролета на моменты всѣхъ остальныхъ пролетовъ, если только будуть найдены моменты для опорныхъ точекъ, ограничивающихъ этотъ нагруженный пролетъ.

Обозначимъ буквами  $a_r$ ,  $b_r$  и соотвѣтственно  $\alpha'_r$ ,  $\beta'_r$  отрѣзки, на которые дѣлится пролетъ  $l_r$  постоянными точками  $L_r$  и  $R_r$ , фиг. 335, и положимъ, что

$$(14) \quad \frac{b_r}{a_r} = \alpha_r, \quad \frac{\beta'_r}{a_r} = \beta'_r;$$

тогда для того случая, если грузы будутъ приложены только вправо отъ  $r$ , т. е. если линія моментовъ для пролета  $l_r$  представляеть прямую, проходящую черезъ точку  $L_r$ , получимъ формулу

$$M_r = -\alpha_r M_{r-1},$$

которая въ связи съ условіемъ упругости

$$\alpha_{r-1} M_{r-2} + \beta_{r-1} M_{r-1} + \alpha_r M_r = 0$$

приводить къ уравненію

$$(15) \quad \alpha_{r-1} M_{r-2} + \beta_{r-1} M_{r-1} = \alpha_r \alpha_r M_{r-1};$$

это уравненіе можетъ быть примѣнено и тогда, когда грузы лежать между  $r-1$  и  $r$ , потому что эти грузы не вліяютъ на отношенія между моментами  $M_{r-2}$  и  $M_{r-1}$ . Примѣнимость уравн. (15) связана только тѣмъ условіемъ, что ферма между о и  $r-1$  остается ненагруженна; совершенно подобнымъ же путемъ можно показать, что между  $M_r$  и  $M_{r+1}$  существуетъ такая зависимость:

$$(16) \quad \alpha_{r+1} M_{r+1} + \beta_r M_r = \alpha'_r \alpha_r M_r,$$

если только грузы не дѣйствуютъ на балку вправо отъ  $r$ . Такимъ образомъ, когда нагруженъ только пролетъ  $l_r$ , то имѣютъ мѣсто уравн. (15) и (16), два же условія упругости

$$\begin{aligned} \alpha_{r-1} M_{r-2} + \beta_{r-1} M_{r-1} + \alpha_r M_r &= -\Sigma P_m \delta_{m(r-1)} \\ \alpha_r M_{r-1} + \beta_r M_r + \alpha_{r+1} M_{r+1} &= -\Sigma P_m \delta_{mr} \end{aligned}$$

примутъ такой видъ

$$(17) \quad \left\{ \begin{array}{l} \alpha_r M_{r-1} + M_r = -\Sigma P_m \frac{\delta_{m(r-1)}}{\alpha_r} = -\Sigma P_m \frac{\delta_{m(r-1)}}{d_r} l_r \\ M_{r-1} + \alpha'_r M_r = -P_m \frac{\delta_{mr}}{\alpha_r} = -\Sigma P_m \frac{\delta_{mr}}{d_r} l_r; \end{array} \right.$$

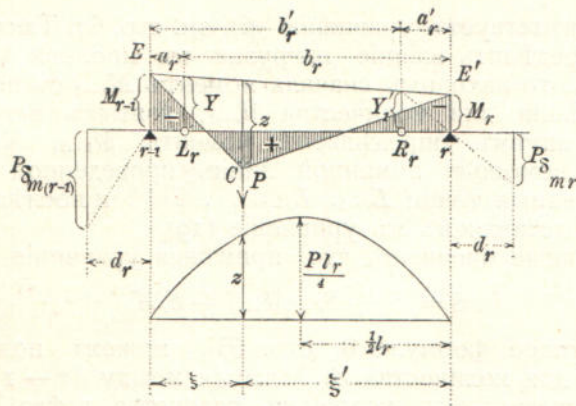
эти выраженія приводятъ къ слѣдующему весьма простому изображенію моментовъ  $M_{r-1}$  и  $M_r$ .

Отложимъ отъ точекъ  $(r-1)$  и  $r$  величины  $M_{r-1}$  и  $M_r$ , какъ

ординаты, фиг. 335, и соединимъ конечныя точки ихъ прямую; ординаты этой прямой для точекъ  $L_r$  и  $R_r$  будутъ равняться

$$Y = M_{r-1} \frac{b_r}{l_r} + M_r \frac{a_r}{l_r} = \frac{a_r}{l_r} (M_{r-1} z_r + M_r)$$

$$Y' = \frac{a'_r}{l_r} M_r z'_r + M_{r-1}),$$



Фиг. 335.

откуда, принимая во вниманіе уравн. (17), получимъ:

$$(18) \quad Y = - \frac{a_r}{d_r} \Sigma P_m \delta_{m(r-1)}; \quad Y' = - \frac{a'_r}{d_r} \Sigma P_m \delta_{mr},$$

а эти значения легко опредѣлить графически. Напр., на фиг. 335 показано определеніе величинъ  $Y$  и  $Y'$  для того случая, когда дѣйствуетъ только одинъ сосредоточенный грузъ  $P$ ; такимъ образомъ задача по построенію части  $(r-1) - r$  линіи вліянія для  $M_{r-1}$  и  $M_r$  разрѣшена.

Желая опредѣлить вліяніе груза  $P=1$  не только на величины  $M_{r-1}$  и  $M_r$ , но и на всѣ моменты для пролета  $l_r$ , мы должны построить площадь моментовъ, заштрихованную на фиг. 335; эта площадь опредѣляется ординатой  $z = P \frac{\xi \xi'}{l_r}$ , потому что треугольникъ  $ECE'$  представляетъ площадь моментовъ для простой балки  $l_r$ . Отрѣзокъ же  $z$  получается какъ ордината параболы со стрѣлкой  $= 0,25 Pl_r$ .

Теперь всѣ вопросы по изслѣдованию балки рѣшаются подобно тому, какъ это было сдѣлано для балки на 4 опорахъ, изслѣдованной въ § 13. Съ этой цѣлью потребуется построить для каждого опорного момента только тѣ обѣ вѣтви линіи вліянія, которыя принадлежать двумъ пролетамъ, смежнымъ съ рассматриваемой опорой. Такимъ образомъ линію вліянія для  $M_1$  надо строить отъ опоры 0 до опоры 2, линію вліянія для  $M_2$  — только между 1 и 3, и т. д.

Пусть напр. требуется изслѣдовать пролѣтъ  $l_r$ , причемъ этотъ

пролетъ имѣть равныя панели  $\lambda$ ; для этого строимъ между  $(r-1)$  и  $r$  линію вліянія для количества  $(M_r - M_{r-1}) : l_r$ ; изъ нея получаемъ всѣ линіи вліянія для  $Q$  и затѣмъ, исходя изъ линіи вліянія для  $M_r : \lambda$ , находимъ всѣ линіи вліянія для  $M : \lambda$  и наконецъ (по стр. 66, фиг. 325) линіи вліянія для усилій въ промежуточныхъ стержняхъ. Вліяніе нагрузки въ остальныхъ пролетахъ на усилія въ стержняхъ пролета  $l_r$  находимъ съ помощью уравненія

$$(19) \quad S = S_{r-1}M_{r-1} + S_rM_r,$$

которое соотвѣтствуетъ уравненію (6). см. стр. 67. Такъ напр., если требуется опредѣлить вліяніе нагрузки въ пролетѣ  $l_r$ , лежащемъ вправо отъ  $l_r$ , то находимъ сначала моментъ  $M_{v-1}$  съ помощью вѣтви линіи вліянія для количества  $M_{r-1}$ , взятыхъ между опорами  $(v-1)$  и  $v$ , затѣмъ опредѣляемъ моменты  $M_{v-2}, M_{v-3}, \dots, M_r, M_{r-1}$  съ помощью ломанной линіи, проведенной на фиг. 334 черезъ постоянныя точки  $L_{v-2}, L_{v-3}, \dots, L_{r+1}$ , и послѣдняя значенія моментовъ подставляемъ въ уравненіе (19).

Точно также очевидно, что, примѣня уравненіе

$$S = S_0 + S_{r-1}M_{r-1} + S_rM_r$$

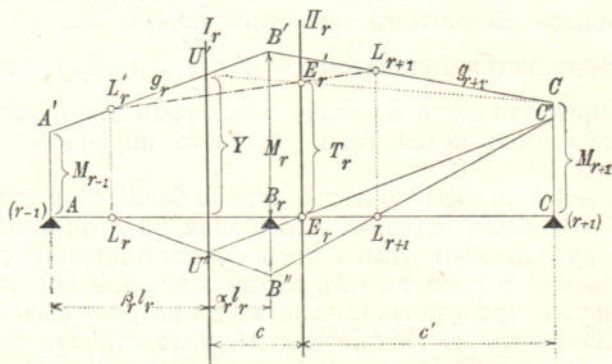
(соотвѣтствующее формулѣ 8, стр. 68), можемъ получить вѣтви линій вліянія для количества  $S$ , лежащія между  $(r-1)$  и  $r$ ; этотъ способъ не связанъ съ условіемъ равенства всѣхъ панелей.

Въ особенности просто изслѣдованіе крайняго пролета. Такъ напр. всѣ линіи вліянія, относящіяся до пролета  $l_1$ , могутъ быть выведены по способу, описанному въ № 126, изъ линіи вліянія для сопротивленія  $A$  крайней опоры, которая строится съ помощью линіи вліянія для количества  $M_1$ . Здѣсь требуется решить задачу, обратную задачѣ въ № 126, гдѣ линія вліянія для  $M_1$  была выведена изъ линіи вліянія для  $A$ .

### 132. Второй способъ ршенія основныхъ уравненій.

$$(19) \quad \alpha_r M_{r-1} + \beta_r M_r + \gamma_{r+1} M_{r+1} = N_r.$$

Рассмотримъ произвольное состояніе нагрузки и состояніе температуры, отложимъ на фиг. 336 опорные моменты какъ орди-



Фиг. 336.

ната, соединимъ ихъ концы прямымъ  $g_1, g_2, \dots$  и назовемъ полученну подобнымъ путемъ ломанную линию *многоугольникомъ количествъ*  $M$ . На фиг. 33б представлены  $(r-1)^{\text{аз}}$  и  $r^{\text{аз}}$  панели этого многоугольника. Если провести вертикаль  $I_r$  такъ, что отсѣкаемая части пролета  $l_r$  относились другъ къ другу какъ  $\alpha_r$  къ  $\beta_r$ , то ордината, отсѣкаемая прямой  $g_r$  на вертикалѣ  $I_r$ , равняется:

$$(20) \quad Y = \frac{M_{r-1}\alpha_r + M_r\beta_r}{\alpha_r + \beta_r},$$

поэтому основное уравненіе номера  $r$  можно написать въ такой формѣ:

$$(21) \quad (\alpha_r + \beta_r) Y + \alpha_{r+1} M_{r+1} = N_r.$$

Если провести теперь вертикаль  $II_r$  такъ, чтобы отрѣзокъ  $l_{r+1} + \alpha_r l_r$  дѣлился на части по такой пропорціи

$$(22) \quad c' : c = (\alpha_r + \beta_r) : \alpha_{r+1},$$

то прямая  $U'C'$ , соединяющая конечныя точки  $Y$  и  $M_{r+1}$ , отсѣкаеть на вертикалѣ  $II_r$  ординату

$$(23) \quad T_r = \frac{Yc' + M_{r+1}c}{c' + c} = \frac{Y(\alpha_r + \beta_r) + M_{r+1}\alpha_{r+1}}{\alpha_r + \beta_r + \alpha_{r+1}}.$$

а изъ сравненія этого выраженія съ выраженіемъ (21) можно вывести такое правило:

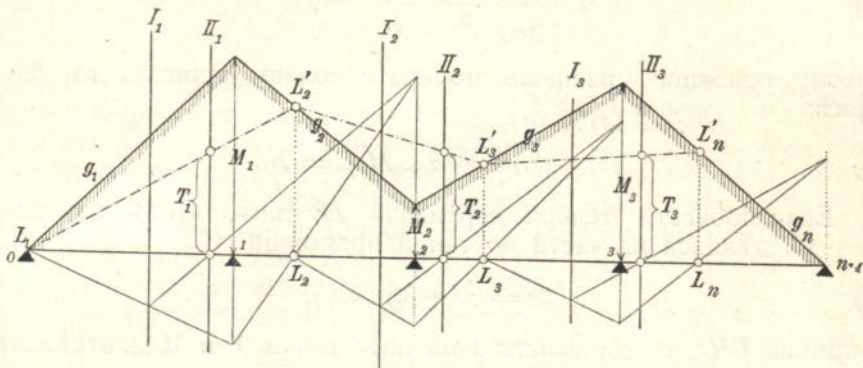
*Прямая  $U'C'$ , опредѣленная съ помощью вертикалѣ  $I_r$ , отсѣкаеть на вертикалѣ  $II_r$  величину даннаго момента:*

$$(24) \quad \overline{E_r E'_r} = T_r = \frac{N_r}{\alpha_r + \beta_r + \alpha_{r+1}}.$$

Теперь примемъ, что точка  $L'_r$  прямой  $g_r$  задана. Вообразимъ, что черезъ точку  $L'_r$  проходятъ различныя прямые; для каждой изъ этихъ прямыхъ можно найти соотвѣтствующую прямую  $g_{r+1}$ , если изъ точки  $U'$ , въ которой пересѣкаются прямые  $g_r$  и  $I_r$ , провести черезъ постоянную точку  $E'_r$ , прямую  $U'E'_rC'$  и соединить  $C'$  съ  $B'$ . Всѣ прямые  $g_{r+1}$ , которыя могутъ быть построены такимъ образомъ по отношенію къ различнымъ прямымъ  $g_r$ , пересѣкаются въ точкѣ  $L'_{r+1}$ ; эта точка лежить на прямой, опредѣленной точками  $L'_r$  и  $E'_r$ ; находится же эта точка, какъ точка пересѣченія прямой  $L'E'_r$  съ прямой  $g_{r+1}$ , проведенной къ соотвѣтствующей произвольной прямой  $g_r$  \*).

\*.) Это слѣдуетъ изъ слѣдующаго извѣстнаго предложенія геометріи положенія: если вершины  $(U', B', C')$  треугольника перемѣщаются по тремъ лучамъ  $(I_r, B'B', C'C)$  одного пучка лучей, причемъ двѣ стороны треугольника  $(g_r$  и  $U'C')$  проходятъ черезъ постоянныя точки  $(L'_r$  и  $E'_r)$ , то третья сторона  $(g_{r+1})$  должна пройти также черезъ постоянную точку  $(L'_{r+1})$ , которая съ двумя другими постоянными точками лежить на одной прямой.

Нагляднѣе будетъ опредѣленіе точки  $L_{r+1}$ , если начать построеніе съ точки  $L_r$ , лежащей на вертикали подъ  $L''_r$ . Проводимъ черезъ  $L_r$  произвольную прямую, которая пересѣкаетъ вертикали  $I_r$  и  $B'B$  въ точкахъ  $U''$  и соотвѣтственно  $B''$ , затѣмъ черезъ  $U''$  и  $E_r$  проводимъ прямую до  $C''$  — точки пересѣченія съ вертикалью точки  $C$  и наконецъ наносимъ прямую  $C''B''$ . Послѣдняя прямая и опредѣлить точку  $L_{r+1}$ .



Фиг. 337.

Съ помощью предыдущихъ изслѣдований мы имѣемъ возможность построить многоугольникъ количествъ  $M$ . Прямая  $g_1$ , фиг. 337, проходитъ черезъ точку опоры  $o$  (такъ какъ  $M_o = 0$ ); такимъ образомъ точка  $L_1$  совпадаетъ съ  $o$ . Изъ положенія точки  $L_1$  опредѣляемъ по предыдущимъ правиламъ положеніе точки  $L_2$ , а затѣмъ положеніе точекъ  $L_3, L_4, \dots$  и строимъ ломанную  $L'_1 L'_2 L'_3 \dots$ , стороны которой отсѣкаются на вертикаляхъ  $II_1, II_2, II_3, \dots$  данные моменты  $T_1, T_2, T_3, \dots$ . Теперь въ каждомъ пролетѣ известна одна точка  $L'$  многоугольника количествъ  $M$ , а такъ какъ прямая  $g_n$  должна пройти не только черезъ  $L'_n$ , но также и черезъ точку опоры  $n$ , то ломанная линія  $g_n, g_{n-1}, \dots, g_1$  такимъ образомъ вполнѣ опредѣлена.

Можно было бы, конечно, поступить такимъ образомъ, чтобы начать построеніе не съ точки  $L_1$ , а съ точки  $R_n$  послѣдняго пролета, совпадающей съ точкой опоры  $n$ ; для чего пришлось бы опредѣлить сначала въ предыдущихъ пролетахъ точки  $R_{n-1}, R_{n-2}, \dots, R_1$  подобно тому, какъ опредѣляли раньше точки  $L_2, L_3, \dots$ , затѣмъ построить съ помощью количествъ  $T_{n-1}, T_{n-2}, \dots$  ломанную линію  $R'_{n-1} R'_{n-2}$  и наконецъ провести прямую  $g_1$  черезъ  $L_1$  и  $R'_1$ . Для опредѣленія точки  $R$  необходимо провести вертикаль  $I'_r$  (вмѣсто  $I_r$ ) которая дѣлить  $l_{r+1}$  въ отношеніи  $\alpha_{r+1} : \beta_r$ , фиг. 338.

Легко убѣдиться, что точки  $L$  и  $R$  совпадаютъ съ опредѣленными раньше постоянными точками  $L$  и  $R$ . Съ этой цѣлью нагружимъ только одинъ пролетъ и зачеркнемъ въ выраженіи  $T$  членъ, зависящій отъ измѣненій температуры и отъ осадки опоръ. Тогда прямая  $g$  для пролетовъ, лежащихъ влѣво отъ нагруженного пролета, проходить черезъ точку  $L$ , а прямая  $g$  для правыхъ пролетовъ проходить черезъ точку  $R$ . Отсюда слѣдуетъ, что оба описанныхъ здѣсь способа опредѣленія опорныхъ моментовъ можно соединить въ одинъ, причемъ точки  $L$  и  $R$  будуть опредѣлаться

по ранѣе указанному способу съ помощью линій прогибовъ, а многоугольникъ количествъ  $M$  построится изъ моментовъ  $T$ . Этотъ путь слѣдуетъ примѣнять при изслѣдованіи вліянія измѣненія температуры на ферму, для которой осталъныя изслѣдованія производились съ помощью линій вліянія по правиламъ № 131. Моменты  $T$  опредѣляются здѣсь по такой формулѣ

$$T_r = \frac{-1}{\alpha_r + \beta_r + \alpha_{r+1}} \frac{\epsilon E F_c (l_r + l_{r+1})}{l_r l_{r+1}} \frac{y_c}{w_{rp}} c_{rl}.$$

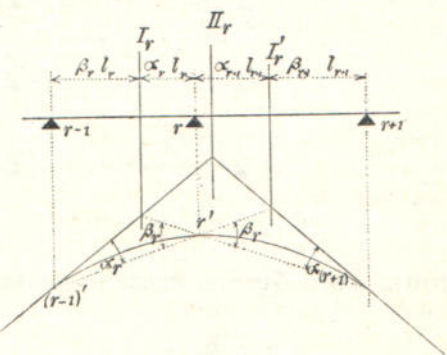
Если отрицательныя значенія  $T$  откладывались на фиг. 337 кверху отъ оси  $o-n$ , то опорные моменты, когда они изображаются ординатами, лежащими выше  $o-n$ , будутъ тоже отрицательны.

На фиг. 338 показано еще, какъ съ помощью линій прогибовъ для состоянія  $M_r = -1$  могутъ быть найдены вертикали  $I_r$ ,  $\Pi_r$ ,  $I'_r$ . Вертикаль  $\Pi_r$  проходитъ черезъ точку пересѣченія вѣнчихъ боковъ веревочнаго многоугольника, вертикали  $I_r$  и  $I'_r$  проходятъ черезъ точки, въ которыхъ пересѣкаются крайніе бока съ замыкающими линіями  $(r+1)'-r'$  и  $(r-1)'-r'$ . Доказать это весьма легко.

Наконецъ укажемъ на то, что второй способъ разрѣшенія условій упругости гораздо общнѣе, чѣмъ графическое толкованіе уравненій, имѣющихъ ту же форму, что и уравненіе

$$\alpha_r M_{r-1} + \beta_r M_r + \alpha_{r+1} M_{r+1} = N_r;$$

уравненія этого рода весьма часто примѣняются на практикѣ при статическихъ расчетахъ. Весьма важное примѣненіе этого будетъ сдѣлано при изслѣдованіи дополнительныхъ напряженій, которымъ будетъ посвящена третья часть этого сочиненія.



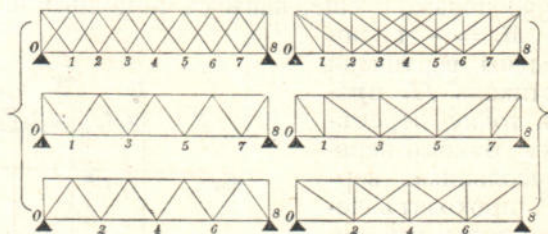
Фиг. 338.

## § 15.

### Сложныя статически неопредѣлимыя рѣшетчатыя балки на двухъ опорахъ.

**133.** Рѣшетки съ панелями, длина которыхъ по отношенію къ высотѣ невелика, устраиваютъ часто съ двумя или нѣсколькими пересѣченіями раскосовъ, дабы избѣгнуть крутаго расположенія одиночныхъ раскосовъ. Если число пересѣченій раскосовъ  $n$ , то рѣшетка будетъ называться сложною съ  $n$  пересѣченіями раскосовъ

Подобная система вообще статически неопределены<sup>\*)</sup>; расчетъ такихъ рѣшетокъ производится обыкновенно такимъ образомъ, что сложная рѣшетка съ  $n$  пересѣченіями раскосовъ разбивается на  $n$  простыхъ статически опредѣлимыхъ рѣшетокъ (фиг. 339, 340) и каждая изъ нихъ расчитывается на  $\frac{1}{n}$  часть нагрузки; затѣмъ простыя рѣшетки соединяются опять въ одну сложную, причемъ усилия въ стержняхъ или въ частяхъ стержней, совпадающихъ одинъ съ другимъ, складываются. При полигональныхъ поясахъ подобное разложеніе приводить къ изогнутымъ стержнямъ, которые, конечно, нужно замѣнить прямолинейными. Такъ напр. при расчетѣ промежуточныхъ стержней, фиг. 341, вмѣсто поясовъ  $abc$  и  $bcd$  вводятся стержни  $ac$  и  $bd$ . Усилия  $O$  и  $U$  слѣдуетъ опредѣлять при



Фиг. 339.

Фиг. 340.

этомъ, какъ будетъ сказано дальше, по наибольшимъ изгибающимъ моментамъ  $M$  для нагрузки, недѣленной на части. Для стержня  $bc$ , рассматриваемаго какъ стержень части рѣшетки  $bcd$  ( $m+1$ ) надо положить

$$O_m = -\frac{1}{2} \frac{M_{m+1}}{h_{m+1} \cos \beta_m},$$

а для того же стержня, но рассматриваемаго какъ стержень части рѣшетки  $acm$ , получимъ:

$$O_m = -\frac{1}{2} \frac{M_m}{h_m \cos \beta_m},$$

а въ суммѣ найдемъ:

$$O_m = -\frac{1}{2} \left( \frac{M_m}{h_m} + \frac{M_{m+1}}{h_{m+1}} \right) \cdot \frac{1}{\cos \beta_m},$$

гдѣ подъ  $\beta_m$  подразумѣвается уголъ наклоненія стержня  $bc$ .

Подобнымъ же путемъ найдемъ для горизонтальнаго стержня  $U_m$ :

$$U_m = +\frac{1}{2} \left( \frac{M_{m-1}}{h_{m-1}} + \frac{M_{m-2}}{h_{m-2}} \right).$$

<sup>\*)</sup> Задачи на сложныя статически опредѣлимые рѣшетки находятся въ I томѣ (выпускъ III, № 148) и въ § 6 II-го тома (выпускъ VII).

Усилія, полученные по этому способу согласуются иногда вполнѣ хорошо съ результатами, основанными на точной теорії, которая была изложена въ § 5 (выпускъ VII); но очень часто согласование это настолько неудовлетворительно, что инженеру, мало знакомому съ точнымъ расчетомъ, можно посовѣтовать не примѣнять сложныхъ рѣшетокъ, тѣмъ болѣе, что основаній для предпочтенія этихъ рѣшетокъ другимъ, кажется не существуетъ.

Покажемъ здѣсь на частномъ примѣрѣ примѣнимость правиль, описанныхъ въ § 5 (выпускъ VII), и сравнимъ результаты точного расчета съ результатами, полученными при раздѣленіи рѣшетки на нѣсколько составныхъ. Кромѣ того опишемъ еще одинъ приблизительный способъ и проверимъ его примѣнимость.

**134. Численный примѣръ** (фиг. на листѣ чертежей 6). Изслѣдуемъ рѣшетчатую ферму, показанную на фиг. 342. Пролѣтъ 36 м., высота по серединѣ 6 м., по концамъ 2 м., длина панели 3,6 м. Узлы поясовъ лежатъ на параболахъ. Ферма представляетъ простую статически неопредѣлимую систему. За статически неопредѣлимую величину можно принять усиліе  $X$  въ стержнѣ  $U$ .

На фиг. 345 опредѣлены сначала усилія ( $S_i$ ) для состоянія  $X = -1$  и построены съ этой цѣлью многоугольники силъ по порядку для узловъ  $I, II, k, k', i, i' \dots$ . Растигивающія усилія вычерчены синимъ, сжимающія—краснымъ. Усилія въ поясахъ месяютъ знакъ черезъ панель, также месяютъ знакъ и усилія въ раскосахъ. Достаточно построить усилія для лѣвой половины фермы; вправо отъ середины усилія получаются тѣ же величины, но месяютъ свои знаки. Результатъ вписанъ на фиг. 347 (см. числа).

Слѣдующая работа состоить въ построениіи линіи прогибовъ для состоянія  $X = -1$ . Если обозначить буквами:

$\delta_{ll}$  — взаимное перемѣщеніе пары точекъ по направленію  $X = -1$  и отъ причины  $X = -1$ ,  
 $\delta_{ml}$  — перемѣщеніе точки приложенія  $m$  груза  $P_m$  въ направленіи  $P_m$  и отъ причины  $X = -1$ ,  
то вліяніе силы  $P_m$  на величину  $X$  будетъ таково:

$$(1) \quad X = P_m \frac{\delta_{ml}}{\delta_{ll}}.$$

Когда единица грузовъ измѣряется отрѣзкомъ длиною  $\delta_{ll}$ , то грузъ, равный единицѣ, приложенный къ узлу  $m$ , вызываетъ въ лишнемъ стержнѣ усиліе  $X = \delta_{ml}$ . Рассматриваемая линія прогибовъ будетъ тогда служить линіей вліянія для  $X$ ; для опредѣленія ея необходимо установить выборъ поперечныхъ сѣченій, причемъ необходимо принять только взаимное отношеніе поперечныхъ сѣченій, такъ какъ въ уравн. (1) входитъ только отношеніе между двумя ординатами линіи прогибовъ. На этомъ же основаніи можно принять  $E = 1$ , если  $E$  имѣеть одно и тоже значеніе для всѣхъ стержней, что здѣсь и предполагается. Числа въ лѣвой половинѣ фиг. 346 означаютъ длину стержней въ дециметрахъ, въ правой половинѣ— выбранныя отношенія поперечныхъ сѣченій; красные числа на фиг. 347 означаютъ измѣненія длины стержней, вычисленные для состоянія  $X = -1$ . Напр. раскосу въ третьей панели соответствуетъ значение

$$\Delta s_l = \frac{S_l s}{E F} = + \frac{0,50 \cdot 61}{1 \cdot 0,6} = +5,1.$$

Въ какихъ единицахъ выражено это—совершенно безразлично, такъ какъ мы имѣемъ въ виду только отношенія  $\delta_{ml} : \delta_{ll}$ . Построеніе линій прогибовъ дѣлается съ помощью діаграммы перемѣщений по Виллю. Сначала принимаются неподвижными точка *a* и направление стержня *aa'* и *aa'* берется равнымъ измѣненію длины  $\Delta$  о стержня *o*. Къ *a* и *a'* присоединяется *b* съ помощью  $\Delta_1$  и  $\Delta_2$ , а затѣмъ опредѣляется точка *b'*, лежащая симметрично точкѣ *b* относительно горизонтальной прямой, проходящей черезъ середину *aa'*; потомъ опредѣляютъ точку *c* посредствомъ  $\Delta_3$  и  $\Delta_s$ , и точку *c'*, какъ симметричную точкѣ *c*, и т. д. \*). (Сравни подробное описание способа Виллю въ § 1, а именно изслѣдованіе въ № 34, фиг. 39,—выпускъ VI,—гдѣ объясняется способъ получения линій прогибовъ изъ діаграммы перемѣщений. Сплошная зигзагообразная линія на фиг. 343 представляетъ линію прогибовъ *при пѣдь понизу*, пунктирная линія—*при пѣдь по верху*; обѣ отнесены къ прямой *al*, какъ къ нулевой оси. Такъ какъ въ діаграммѣ перемѣщений точка *l'* лежитъ выше точки *l* (точно также какъ и въ рѣшеткѣ), то взаимное перемѣщеніе  $\delta_{ll}$  пары точекъ *l*, *l'* положительно, поэтому по уравненію (1) положительному перемѣщенію  $\delta_{ml}$ , т. е. направленному внизъ, соответствуетъ также положительное значеніе *X*. На фиг. 343 наглядно выдѣлены синей и красной штриховкой положительные и отрицательные вѣтви линіи вліянія для *X*, разматривающейся какъ линія прогибовъ. Такъ какъ отрѣзокъ  $\delta_{ll}$  получается равнымъ  $\delta_{ll} = 42,7$  мм., то масштабъ для линіи вліянія для количества *X* будетъ: 1 т. = 42,7 мм.

Линіи вліянія для остальныхъ усилій легко опредѣляются, если только построена линія вліянія для *X*. Сдѣлаемъ изслѣдованіе только для одного раскоса и для одного стержня пояса.

1. *Определение усиления D въ раскосъ h'g*, фиг. 348. Обозначимъ буквой *D<sub>o</sub>* то усиление въ раскосѣ *D*, когда рѣшетка при удаленіи стержня *ll'* обратится въ статически опредѣлимую систему; для всякаго состоянія нагрузки будетъ тогда имѣть мѣсто уравненіе

$$(2) \quad D = D_o - S_i X = D_o + 0,43 X.$$

Для определенія линіи вліянія для *D<sub>o</sub>* воспользуемся первымъ способомъ, описаннымъ въ § 6 (выпускъ VII), а съ этой цѣлью статически опредѣлимую главную систему обратимъ въ кинематическую цѣль, путемъ устраненія стержня *h'g*. Примемъ сначала жесткую сочененную часть *aa'g'hga* за неподвижную, сообщимъ точкѣ *h'* произвольную по величинѣ скорость и опредѣлимъ по способу Виллю по порядку скорости точекъ *i*, *i* и т. д. Точки *g*, *g'*, *h* діаграммы скоростей на фиг. 349 а совпадаютъ съ полюсомъ; *g'h'* будетъ перпендикулярно къ направленію стержня *g'h'*, точно также будетъ *h'i*  $\perp$  *h'i*, *hi*  $\perp$  *hi* и т. д. Сплошная зигзагообразная линія на фиг. 349 б. отнесенна къ нулевой оси *la*, доставляетъ вертикальные составляющія скоростей для точекъ нижняго пояса рѣшетки; пунктирная же линія—для точекъ верхняго пояса. Если, напр., точкѣ *i* соответствуетъ ордината  $\delta_i$ , а буквой  $\delta$  обозначена проек-

\*) Вспомогательная линія, за исключеніемъ служащихъ для определенія точки *a*, могутъ быть стерты. Масштабъ выбирается такъ, чтобы измѣненіе длины  $\Delta s = 10$  измѣрялось отрѣзкомъ длиною въ 5 мм.

ція скорости  $g'h'$  на направлениі раскоса  $D$ , то вліяніе груза, равнаго 1 тоннѣ и приложеннаго въ точкѣ  $i$ , на усилие  $D_0$  опредѣлится изъ уравненія

$$D_0\delta + 1 \cdot \delta_i = 0,$$

и при масштабѣ силъ 1 т. =  $\delta$  получимъ

$$D_0 = -\delta_i.$$

Обѣ ломанныхъ линіи на фиг. 349 б представятъ такимъ образомъ линіи вліянія для  $D_0$ , сплошная при *пъздѣ понизу*, пунктирная при *пъздѣ поверху*. Вправо отъ  $g$ ,  $g'$  обѣ линіи вліянія совпадаютъ. Положительныя и отрицательныя вѣтви этихъ линій отмѣчены синей или красной штриховкой. Масштабъ былъ принятъ: 25 мм. = 1 тон.

На фиг. 350 а и 351 а построены линіи вліянія для количествъ  $D$ , выведенныя изъ линій вліяній для  $D_0$  съ помощью уравненія (2). Определеніе при этомъ значенія 0,43  $X$  было сдѣлано съ помощью прямой, которая наносится на фиг. 343 б слѣдующимъ образомъ: черезъ верхнюю крайнюю точку отрѣзка  $\delta_{ii}$  проводимъ прямую параллельно нулевой оси и откладываемъ на ней, начиная съ вертикаліи точки  $a$ , величину усилия  $S_i = 0,43$ , соотвѣтствующаго стержню  $h'g$ . Это усилие берется изъ диаграммы, построенной для состоянія  $X = -1$  также въ масштабѣ 25 мм. = 1 тон., фиг. 345. Различіе въ масштабахъ линій вліянія для  $X$ , фиг. 343, и линій вліянія для  $D$ , исправляется расчетомъ; здѣсь ординаты линій вліянія для 0,43  $X$  можно прямо сложить съ ординатами линій вліянія для 0,43  $X$  (принимая во вниманіе знакъ!). Напримѣръ, по абсолютной величинѣ

$$\tau_i = \delta_i - \delta'_i \text{ (фиг. 350 а, 349 а и 343 б);}$$

$\tau_i$  — отрицательно, потому что  $\delta_i > \delta'_i$  \*).

Рядомъ съ точнымъ способомъ приведемъ здѣсь также и *приближенный способъ*. Предположимъ, что раскость  $hg'$  не напряженъ и что такимъ образомъ вертикальное сѣченіе, проведенное черезъ  $h'g$ , встрѣтить только три напряженныхъ стержня. Линія вліянія будетъ тогда состоять, какъ при *пъздѣ понизу*, такъ и при *пъздѣ поверху*, изъ трехъ прямыхъ  $AL_1$ ,  $L_1L_2$ ,  $L_2B$  (фиг. 350 б и 351 б); для построенія этихъ прямыхъ откладывается отрѣзокъ  $AJ$ , равный усилию  $D_A$  въ разматриваемомъ раскосѣ, вызываемому сопротивленіемъ опоры  $A = 1$ ; затѣмъ откладывается отрѣзокъ  $L_2H$ , равный составляющей  $[D]$ , которая получается при разложеніи единицы нагрузки по направлениямъ  $U$  и  $D$ . Определеніе  $D_A$  сдѣлано на фиг. 352 по способу Кульмана; для чего точки пересѣченія стержней ( $U$ ,  $A$ ) и ( $O$ ,  $D$ ), фиг. 348, соединяются прямой ( $L$ ), затѣмъ сила  $A = 1$  т. разлагается по направлениямъ  $U$  и  $L$ , и наконецъ  $L$  — разлагается по направлениямъ  $O$  и  $D$ . Когда такимъ образомъ ломанная линія  $AL_1L_2B$  определена, тогда дѣлаютъ предположеніе, что грузы, ко-

\*) При *пъздѣ поверху* ординаты линіи вліянія для  $D$  въ точкахъ  $l'$  и  $a$  не равны нулю; эти ординаты настолько малы, что могутъ быть приняты равными нулю (авторомъ былъ сдѣланъ чертежъ въ двойномъ масштабѣ и всетаки эти ординаты получились очень малыми).

торые приложены въ узлахъ  $k$ ,  $i'$ ,  $h$ ,  $g'$ ,  $f$ ,  $e'$ ,  $d$ ,  $c'$ ,  $b$  ломанной линії, не содержащейъ въ себѣ разсматриваемаго раскоса  $D$ , не оказываютъ никакого вліянія на усилие  $D$ , т. е. предполагаютъ, что эти грузы дѣйствуютъ извѣстнымъ образомъ на другую часть рѣшетки; на основаніи этого предположенія получаются приблизительныя площиади вліянія для усиленія  $D$ , заштрихованная на фиг. 350 б и 351 б \*).

Сравнимъ теперь результаты точнаго и приближенаго способовъ; возьмемъ поѣздъ—разстоянія между осями и нагрузка на ось показаны на фиг. 350 а. Средняя ось тендера отстоитъ отъ средней оси локомотива на разстояніи двойной длины панели, предложеніе—весьма невыгодное для расчета. Для положеній поѣзда, показанныхъ на чертежахъ, имѣемъ слѣдующія значенія:

<i>Поѣзда понизу:</i>	<i>Поѣзда поверху:</i>
$\begin{cases} \max D_p = \Sigma P \eta = +31 \text{ т.} \\ \min D_p = -\Sigma P \eta = -11 \text{ т.} \end{cases}$	$\begin{cases} \max D_p = +24 \text{ т.} \\ \min D_p = -19 \text{ т.} \end{cases}$
$\begin{cases} \max D_p = +25,5 \text{ т. (ошибка } 21\%) \\ \min D_p = -11 \text{ т.} \end{cases}$	$\begin{cases} \max D_p = +19 \text{ т. (ошибка } 21\%) \\ \min D_p = 20 \text{ т.} \end{cases}$

Пусть постоянная нагрузка  $g = 1,74 \text{ т./м.}$ , т. е. по  $1,74 \cdot 3,6 = 6,3 \text{ т.}$  на каждый узелъ. Въ этомъ случаѣ какъ точный, такъ и приближенный способъ даютъ сходные результаты, а именно

$$\begin{aligned} \text{при } \text{пѣздѣ понизу } D_g &= 6,3 \cdot 0,62 = 4 \text{ т.} \\ \text{при } \text{пѣздѣ поверху } D_g &= 0. \end{aligned}$$

2. Усилие въ стержнѣ пояса. Методъ изслѣдованія останется такой же, какой былъ принятъ при изслѣдованіи раскосовъ. Устранивъ стержень  $i'h'$ , для котораго требуется определить усилие  $O$  (фиг. 353), мы обратимъ статически опредѣлимую главную систему въ кинематическую цѣль; затѣмъ построимъ съ помощью диаграммы Вилліо линію вліянія для усилий  $O_0$  въ обоихъ случаяхъ, какъ при *пѣздѣ понизу*, такъ и при *пѣздѣ поверху*. Скорость  $hi'$  точки  $i'$  выберемъ, такъ, чтобы проекція  $hi'$  на направление  $O$  равнялась 25 мм. Тогда масштабъ силъ къ линіямъ вліянія для  $O$  будетъ такой: 1 т. = 25 мм.

Стержню  $i'h'$  соотвѣтствуетъ  $S_i = -0,30$ , поэтому

$$O = O_0 - S_i X = O_0 + 0,30 X;$$

такимъ образомъ линія вліянія для  $O$  опредѣлена; эта линія вліянія построена въ меньшемъ масштабѣ (1 т. = 12,5 мм.)—*при пѣздѣ понизу* на фиг. 355 а, и *при пѣздѣ поверху* на фиг. 356 а \*\*).

\* Впервые подобнымъ путемъ изслѣдовали сложныя рѣшетки съ параллельными поясами Френкель (Fränkel).

\*\*) Для перехода отъ масштаба 1 т. = 25 мм. къ масштабу 1 т. = 12,5 мм. можно воспользоваться вспомогательнымъ угломъ (выше, см. фиг. 345).

На фиг. 355 в и 356 в нанесены результаты приближенной теоріи; здѣсь достаточно будетъ описать построение фиг. 355 а. Разсматриваемый стержень пояса лежитъ въ одной изъ обѣихъ составныхъ рѣшетокъ противъ узла  $h$ , въ другой—противъ узла  $i$ . Пусть  $M_h$  и  $M_i$  будутъ изгибающіе моменты относительно узловъ  $h$  и  $i$ , а  $r_h$  и  $r_i$  перпендикуляры, опущенные изъ  $h$  и  $i$  на  $O$ , тогда, смотря потому какое изъ усилій въ стержнѣ  $i'h'$  или въ стержнѣ  $i'h$  будетъ принято равнымъ нулю, получимъ:

$$-O = \frac{M_h}{r_h} \text{ или } -O = \frac{M_i}{r_i}.$$

Линія вліянія для  $(M_h : r_h)$  состоитъ изъ прямыхъ  $A'H$  и  $HB'$  эта линія вліянія опредѣляется съ помощью отрѣзка

$$\frac{HH'}{lr_i} = \frac{x_h x'_h}{lr_i} = \frac{(3 \cdot 3,6)(7 \cdot 3,6)}{(10 \cdot 3,6) \cdot 5,34} = 1,42,$$

линія же вліянія для количества  $(M_i : r_i)$ , состоящая изъ прямыхъ  $A'J$  и  $JB'$ , опредѣляется съ помощью отрѣзка

$$\frac{J'J}{lr_i} = \frac{x_i x'_i}{lr_i} = \frac{(2 \cdot 3,6)(8 \cdot 3,6)}{(10 \cdot 3,6) \cdot 4,51} = 1,28.$$

Линія вліянія для количества  $(M_h : r_h)$  даетъ возможность опредѣлить вліяніе грузовъ, приложенныхъ къ узламъ  $k$ ,  $h$ ,  $f$ ,  $d$ ,  $b$ ; линія же вліянія для количества  $(M_i : r_i)$  опредѣляетъ вліяніе остальныхъ узловыхъ грузовъ; остается затѣмъ соединить концы, опредѣленныхъ такимъ образомъ ординатъ прямymi линіями. Фиг. 356 в построена подобнымъ же путемъ. Положеніямъ поѣзда, показаннымъ на чертежахъ и постоянной нагрузкѣ  $g = 1,74$  т. соответствуютъ слѣдующія значенія:

*Бѣда понизу.*

$$\begin{cases} O_p = -\Sigma P \eta = -125 \text{ т.} \\ O_g = -g \lambda \Sigma \eta = -43 \text{ т.} \end{cases}$$

$$\begin{cases} O_p = -119 \text{ т. (ошибка } 5\% \text{)} \\ O_g = -43 \text{ т.} \end{cases}$$

*Бѣда поверху.*

$$\begin{cases} O_p = -\Sigma P \eta = -114 \text{ т.} \\ O_g = -g \lambda \Sigma \eta = -41 \text{ т.} \end{cases}$$

$$\begin{cases} O_p = -112 \text{ т.} \\ O_g = -42 \text{ т.} \end{cases}$$

Такимъ образомъ результаты приближенного расчета весьма близко согласуются съ результатами точнаго расчета.

Обыкновенное разложеніе на двѣ простыхъ рѣшетки, изъ которыхъ каждая расчитывается на половинную нагрузку, приводитъ къ слѣдующей формулѣ

$$(3) \quad O = -\frac{1}{2} \left( \frac{M_i}{r_i} + \frac{M_h}{r_h} \right),$$

причемъ для стержня пояса  $i'h'$  сохранено дѣйствительное направление его; дабы избѣгнуть здѣсь излишней точности примемъ, что количества  $M_i$  и  $M_h$  по-

лучаютъ свои наибольшія значенія одновременно, не смотря на то, что эти значения соотвѣтствуютъ различнымъ положеніямъ поѣзда. Въ № 77—выпускъ II (томъ I) было получено \*):

$$M_i = 702 \text{ тм.}; M_h = 918 \text{ тм.}, \text{ откуда}$$

$$O = -\frac{1}{2} \left( \frac{702}{4,51} + \frac{918}{5,34} \right) = -164 \text{ т.} = -U;$$

раньше же получили

$$\text{при поѣзде понизу: } O = -125 - 43 = -168 \text{ т.}$$

$$\text{при поѣзде поверху: } O = -114 - 41 = -155 \text{ т.}$$

Такимъ образомъ формула 3 можетъ быть принята для опредѣленія попечныхъ сбѣній во всѣхъ тѣхъ случаяхъ, когда требуется болѣе точное изслѣдованіе. По мнѣнію автора уравненіе 3 можетъ служить и для окончательного расчета.

Совсѣмъ иное получается съ раскосами. Приближенный способъ не давалъ вполнѣ удовлетворительныхъ результатовъ; еще меньшее точностью обладаетъ способъ расчета, основанный на разложеніи фермы на простыя рѣшетки, на которыхъ дѣйствуютъ половинныя нагрузки.

Разсмотримъ, напр., опредѣленіе усилия  $\max D_p$  въ стержнѣ  $h'g$  простой рѣшетки  $lk'h'g$ , фиг. 357. Пусть поѣздъ будетъ продвинутъ до  $h'$ ; нагрузкой въ узлѣ  $i$ , которая вызываетъ въ раскосѣ  $D$  сжатіе, можно пренебречь,— во всякомъ случаѣ это предположеніе очень невыгодное. Сопротивленіе лѣвой опоры будетъ тогда равняться  $A = 26$  т. \*\*); примѣняя кинематический способъ, описанный въ № 162 (выпускъ III, томъ I), получимъ

$$\max D_p = +12 \text{ т.},$$

тогда какъ раньше было получено  $\max D_p = +31$  т. Такимъ образомъ ошибка составляетъ 41%.

Слѣдуетъ упомянуть здѣсь, что линіи вліянія для всѣхъ количествъ, когда уже построена линія вліянія для количества  $X$ , могутъ быть опредѣлены и по другимъ способамъ, а не только по только что описанному. Такъ напримѣръ, линія вліянія для усилия  $D$  могла бы быть опредѣлена послѣ построенія линій вліянія для усилий  $O$  и  $U$  по способу, описанному въ № 170 (томъ I, выпускъ IV), а также по правиламъ, приведеннымъ на стр. 80 (выпускъ VII). Наконецъ, въ третьихъ, линіи вліянія для усилий въ стержняхъ 19', 20', 19, 20, и т. д. могли бы быть опредѣлены по порядку съ помощью составленія условій равновѣсія для узловъ  $l', l, k', k, \dots$ .

Четвертый способъ заключается въ томъ, чтобы, приложивъ единицу нагрузки по порядку къ каждому изъ узловъ, построить диаграмму усилий для всей рѣшетки и для каждого изъ этихъ случаевъ нагрузки. Полученные подобнымъ путемъ диаграммы будутъ

\*.) Эти наибольшіе моменты были вычислены для балки въ 36 м. съ панелями по 3,6 м., причемъ  $g = 1,74$  т./м. Железнодорожный поѣздъ въ примѣрѣ выпуска II не вполнѣ соотвѣтствуетъ поѣзду, принятому въ данномъ примѣрѣ; если же примѣняется уравн. 3, то поѣздъ слѣдуетъ взять съ обыкновенно употребительными разстояніями между осами, а не съ тѣми, которыя взяты на листѣ чертежей VI.

\*\*) По таблицѣ, помѣщенной на стр. 74 (выпускъ IV, томъ I), для данного положенія поѣзда имѣемъ:  $A\lambda = 185,82$ , откуда  $A = \frac{185,82}{3,6} = 52$  т.; такимъ образомъ для простой рѣшетки надо принять 26 т. Конечно величину  $A$  можно было бы получить также изъ многоугольника опорныхъ сопротивлений  $A$ .

содержать всѣ ординаты и для всѣхъ линій вліянія. На фиг. 344 (листъ чертежей 6) построена часть такой діаграммы, которой соотвѣтствуетъ грузъ = 1, приложенный къ узлу  $h$ .

## § 16.

### Построеніе линій прогибовъ изъ линій моментовъ.

**185.** Закончимъ наше изслѣдованіе плоской рѣшетки слѣдующимъ предложеніемъ: опредѣлить линіи прогибовъ изъ линій моментовъ такимъ образомъ, чтобы для построенія прогибовъ для ряда нагрузокъ требовалось каждый разъ только новое построеніе линій моментовъ, причемъ всѣ величины, зависящія отъ размѣровъ поперечныхъ сѣченій и отъ длины стержней, должны быть вычислены всего одинъ разъ.

Для этого положимъ, что усилия въ зависимости отъ моментовъ . . .  $M_{m-1}$ ,  $M_m$ ,  $M_{m+1}$ , . . . , взятыхъ относительно узловъ . . .  $(m-1)$ ,  $m$ ,  $(m+1)$  . . . , выражаются въ такой формѣ

$$(1) \quad S = \dots + \psi_{m-1} M_{m-1} + \psi_m M_m + \psi_{m+1} M_{m+1} + \dots,$$

гдѣ подъ  $\psi$  подразумѣваются значения, не зависящія отъ взятыхъ состояній нагрузокъ. Тогда по стр. 21 (выпускъ VII) вліяніе измѣненія  $\Delta s$  длины стержня  $s$  на грузы  $w$  будетъ таково:

$$(2) \quad \dots; w_{m-1} = \psi_{m-1} \Delta s; w_m = \psi_m \Delta s; w_{m+1} = \psi_{m+1} \Delta s; \dots$$

или, подставивъ  $\Delta s = \frac{Ss}{EF}$  и  $S$ , опредѣленное изъ уравненія (1), получимъ:

$$w_{m-1} = \frac{\psi_{m-1} s}{EF} (\dots \psi_{m-1} M_{m-1} + \psi_m M_m + \psi_{m+1} M_{m+1} \dots)$$

$$w_m = \frac{\psi_m s}{EF} (\dots \psi_{m-1} M_{m-1} + \psi_m M_m + \psi_{m+1} M_{m+1} \dots).$$

Образовавъ такимъ образомъ тѣ доли грузовъ  $w$ , которыя соотвѣтствуютъ отдѣльнымъ стержнямъ, мы получимъ окончательно выражения такого вида:

$$w_m = \dots + \frac{M_{m-1}}{a_{(m-1)m}} + \frac{M_m}{a_{m \cdot m}} + \frac{M_{m+1}}{a_{(m+1)m}} + \dots,$$

гдѣ значения  $a$  зависятъ отъ формы рѣшетки, отъ размѣровъ поперечныхъ сѣченій, но не отъ состояній нагрузокъ.

Теперь вместо того, чтобы опредѣлять прогибы съ помощью

веревочнаго многоугольника, построеннаго для грузовъ  $w$  съ полюснымъ разстояніемъ, равнымъ единицѣ, можно поступить слѣдующимъ образомъ: грузъ  $w_m$  (а также и всѣ остальные грузы  $w$ ) замѣнить грузами

$$\dots M_{m-1}, M_m, M_{m+1}, \dots$$

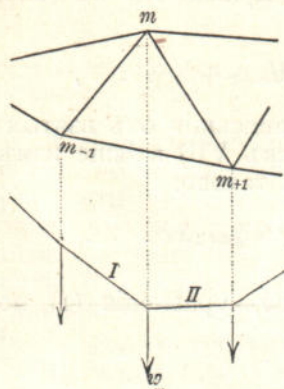
лежащими на разстояніяхъ

$$\dots a_{(m-1)m}, a_{mm}, a_{(m+1)m} \dots$$

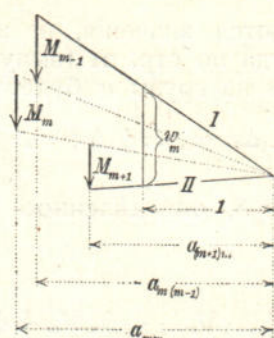
отъ полюса  $O$ . Дѣйствительно, лучи, проведенные къ конечнымъ точкамъ грузовъ  $\dots M_{m-1}, M_m, M_{m+1} \dots$  разлагаются  $w_m$  на части:

$$\dots, M_{m-1} \frac{I}{a_{(m-1)m}}, M_m \frac{I}{a_{mm}}, M_{m+1} \frac{I}{a_{(m+1)m}}, \dots,$$

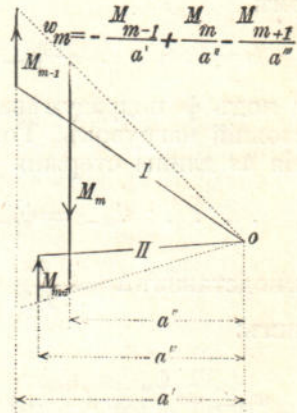
см. фиг. 358 б, гдѣ разматривается одинъ изъ грузовъ  $w$ , зависящій отъ трехъ моментовъ. Когда имѣемъ отрицательныя  $a$ , то соответствующія  $M$  разматриваются какъ отрицательные грузы, какъ это, напр., показано на фиг. 358 с.



Фиг. 358 а.



Фиг. 358 б.



Фиг. 358 с.

Такимъ образомъ описаныя измѣненія въ многоугольникахъ силъ приводятъ насъ къ поставленной цѣли. Значенія  $a$ , не зависящія отъ грузовъ, вычисляются разъ навсегда; изслѣдованіе новаго состоянія нагрузкіи потребуетъ только одного построенія новой линіи моментовъ. Пояснимъ это на частномъ примѣрѣ.

**186. Численный примѣръ.** Разсмотримъ главную ферму желѣзно-дорожнаго моста пролетомъ въ 36 м. съ 10 панелями, фиг. 360.

Усплѣ въ стержнѣ верхняго пояса равняется (фиг. 359):

$$O_m = - \frac{M_m}{r_m};$$

измѣненіе длины стержня  $O_m$  оказываетъ вліяніе только на количество  $\omega_m$ ; это измѣненіе вызываетъ:

$$w_m = -\frac{\Delta o_m}{r_m} = -\frac{O_m \omega_m}{E F_m r_m} = +\frac{M_m \omega_m}{E F_m r_m^2};$$

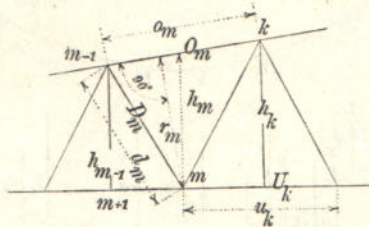
въ нижеслѣдующей таблицѣ вписаны данные размѣры поперечныхъ съченій и соотвѣтствующія доли грузовъ  $w_1, w_3, w_5$ , вычисленныя сначала для  $E=1$ :

Стержни	$o_m$	$r_m$	$F_m$	
$o_1$	7,31	3,58	0,0160	$w_1 = 35,64 M_1$
$o_2$	7,23	4,58	0,0320	$w_3 = 10,77 M_3$
$o_3$	7,20	4,92	0,0120	$w_5 = 9,30 M_5$
метр.		мтр <sup>2</sup> .		

Стержню нижняго пояса  $u_r$  соотвѣтствуетъ (при  $r_k = h_k$ ):

$$w_k = \frac{M_k u_k}{E F_k h_k^2}, \text{ т. е.}$$

Стержни.	$u_k$	$r_k$	$F_k$	
$u_2$	7,20	4,28	0,0240	$w_2 = 16,38 M_2$
$u_4$	7,20	4,92	0,0320	$w_4 = 9,30 M_4$



Фиг. 359.

Для раскоса въ  $m$ -ої панели получимъ:

$$D_m = \left( \pm \frac{M_m}{h_m} \mp \frac{M_{m-1}}{h_{m-1}} \right) \frac{d_m}{\lambda_m},$$

гдѣ верхній знакъ относится къ раскосу, подымашемуся влѣво, нижній—къ раскосу, подымашемуся вправо. Изъ уравненія для  $D_m$  имѣмъ:

$$w_m = \pm \frac{\Delta d_m}{h_m} \cdot \frac{d_m}{\lambda_m} = \pm \frac{D_m d_m}{E F_m h_m} \cdot \frac{d_m}{\lambda_m} = \pm \frac{d_m^3}{E F_m \lambda_m^2 h_m^2} M_m - \frac{d_m^3}{E F_m \lambda_m^2 h_{m-1} h_m} M_{m-1}$$

$$w_{m-1} = \mp \frac{\Delta d_{m-1}}{h_{m-1}} \frac{d_m}{\lambda_m} = \mp \frac{D_m d_m}{E F_m h_{m-1}} \frac{d_m}{\lambda_m} = - \frac{d_m^3}{E F_m \lambda_m^2 h_{m-1} h_m} M_m + \frac{d_m^3}{E F_m \lambda_m^2 h_{m-1}^2} M_{m-1}$$

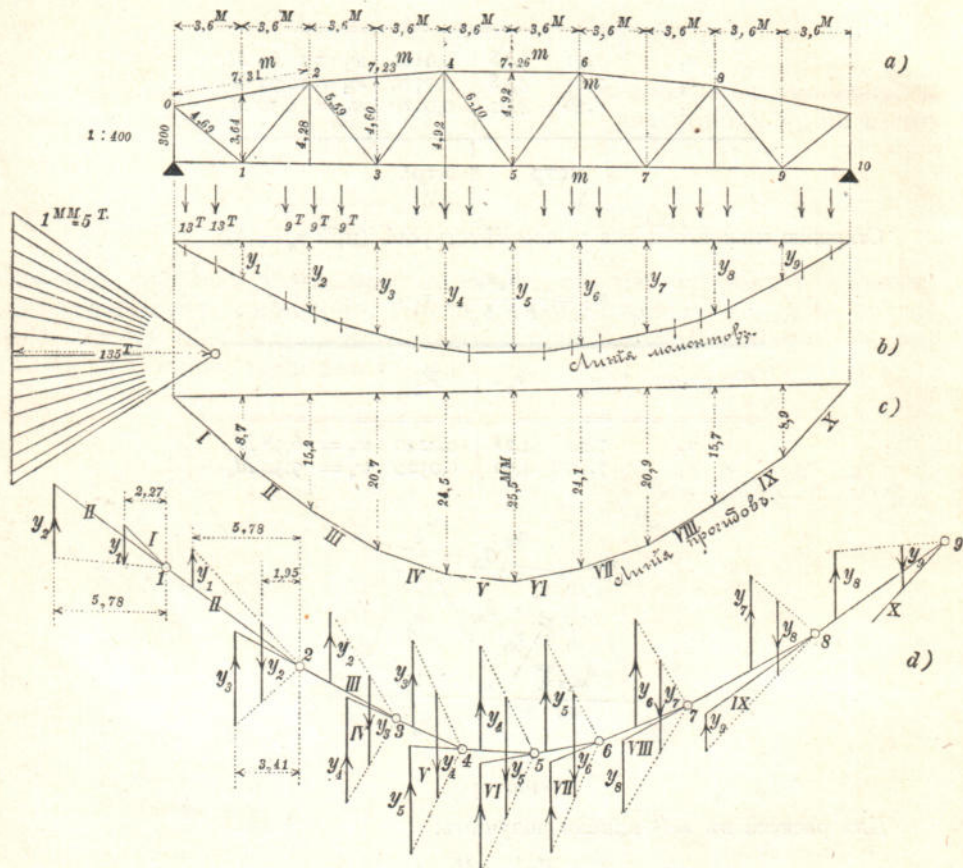
Стержни	$d_m$	$F_m$	
$d_1$	4,69	0,0210	$w_1 = 28,61 M_1$
$d_2$	5,59	0,0150	$w_2 = 49,05 M_2 - 57,68 M_1; w_1 = -57,68 M_2 + 67,82 M_1$
$d_3$	5,59	0,0070	$w_3 = 90,99 M_3 - 97,80 M_2; w_2 = -97,80 M_3 + 105,11 M_2$
$d_4$	6,10	0,0060	$w_4 = 120,59 M_4 - 128,98 M_3; w_3 = -128,98 M_4 + 137,95 M_3$
$d_5$	6,10	0,0060	$w_5 = 120,59 M_5 - 120,59 M_4; w_4 = -120,59 M_5 + 120,59 M_4$

Для лѣвой крайней стойки получимъ:

$$V_0 = -\frac{M_1}{\lambda}, \text{ т. е. } w_1 = -\frac{\Delta h_0}{\lambda} = -\frac{V_0 h_0}{E F_0 \lambda} = +\frac{M_1 h_0}{E F_0 \lambda^2},$$

а при  $F_0 = 0,0160 \text{ м}^2$ . найдемъ

$$w_1 = 14.47 M_1.$$



Фиг. 360.

Для стойки  $m m$ , фиг. 360 а, получимъ

$$V_m = +K_m = Q_{m+1} - Q_m = \frac{M_{m+1} - M_m}{\lambda} = \frac{M_m - M_{m-1}}{\lambda},$$

гдѣ  $K_m$  означаетъ нагрузку узла  $m$ , а также найдемъ

$$w_{m+1} = \frac{\Delta h_m}{\lambda}, \quad w_m = -\frac{2}{\lambda} \Delta h_m, \quad w_{m-1} = +\frac{\Delta h_m}{\lambda}$$

гдѣ надо положить:

$$\Delta h_m = \frac{V_m h_m}{E F} = \frac{h_m}{E F \lambda} (M_{m+1} - 2M_m + M_{m-1}).$$

Подобное сложное изслѣдованіе измѣненій длины  $\Delta h$  промежуточныхъ стоек становится въ данномъ примѣрѣ излишнимъ. Представимъ себѣ, что эти стойки устраниены, и тогда построимъ линію прогибовъ, которая намъ дастъ вертикальныя перемѣщенія узловъ 1, 3, 5, 7, 9 нижняго пояса и узловъ 2, 4, 6, 8, 10 верхняго пояса; наконецъ, обратимъ вниманіе на то, что перемѣщенія узловъ, связанныхъ однимъ стержнемъ, отличаются на измѣненіе длины этого стержня (см. стр. 9—выпускъ VII).

При сложеніи грузовъ  $w$ , дѣйствующихъ на одни и тѣ же узлы, получаемъ:

$$\begin{aligned} w_1 &= 35,64 M_1 + 28,61 M_2 - 57,68 M_3 + 67,82 M_4 + 14,47 M_5, \text{ т. е.} \\ w_1 &= 146,55 M_1 - 57,68 M_2 \text{ и точно также:} \\ w_2 &= -57,68 M_1 + 170,54 M_2 - 97,80 M_3 \\ w_3 &= -97,80 M_2 + 239,71 M_3 - 128,98 M_4 \\ w_4 &= -128,98 M_3 + 250,48 M_4 - 120,59 M_5 \\ w_5 &= -120,59 M_4 + 250,48 M_5 - 120,59 M_6 *) ; \end{aligned}$$

эти значенія примѣнимы при  $E = 1$  800 000 к/см<sup>2</sup>. = = 18 000 000 т/м<sup>2</sup>, то всѣ количества  $w$  придется раздѣлить на 18 000 000.

Моменты  $M$  удобнѣе всего представить съ помощью веревочного многоугольника въ формѣ

$$M_m = Hy_m,$$

гдѣ  $H$ —означаетъ полюсное разстояніе. Если  $H$  выражено въ тоннахъ, то величины  $y$  надо измѣрить по линейному масштабу для фермы и выразить въ метрахъ. Грузы  $w$  представляютъ собою числа.

Въ нашемъ примѣрѣ приняты масштабы для фермы 1:400, для прогибовъ 1:1 и затѣмъ  $H = 135$  т. Тогда въ выраженія, найденные для грузовъ  $w$ , мы должны подставить

$$M_m = \frac{135 \cdot y_m}{18 \text{ 000 000}} \cdot \frac{400}{1} = \frac{3y_m}{1000} ;$$

сдѣлавъ это, получимъ:

$$w_1 = 146,55 \frac{3 \cdot y_1}{1000} - 57,68 \frac{3y_2}{1000} = \frac{y_1}{2,27} - \frac{y_2}{5,78}$$

и подобнымъ же образомъ:

$$\left| \begin{array}{l} w_2 = -\frac{y_1}{5,78} + \frac{y_2}{1,95} - \frac{y_3}{3,41} \\ w_3 = -\frac{y_2}{3,41} + \frac{y_3}{1,39} - \frac{y_4}{2,58} \\ w_4 = -\frac{y_3}{2,58} + \frac{y_4}{1,33} - \frac{y_5}{2,76} \\ w_5 = -\frac{y_4}{2,76} + \frac{y_5}{1,33} - \frac{y_6}{2,76} \end{array} \right| \left| \begin{array}{l} w_6 = -\frac{y_5}{2,76} + \frac{y_6}{1,33} - \frac{y_7}{2,76} \\ w_7 = -\frac{y_6}{2,58} + \frac{y_7}{1,39} - \frac{y_8}{2,58} \\ w_8 = -\frac{y_7}{3,41} + \frac{y_8}{1,95} - \frac{y_9}{3,41} \\ w_9 = -\frac{y_8}{5,78} + \frac{y_9}{2,27} . \end{array} \right.$$

Числа въ знаменателяхъ представляютъ полюсныя разстоянія  $a$  для грузовъ  $y$  въ метрахъ; эти разстоянія отложены въ масштабѣ 1:400.

Окончивъ эти предварительныя вычислениія, которыя необходимо сдѣлать для каждой рѣшетки одинъ разъ навсегда, мы можемъ теперь построить линію прогибовъ I, II, III, . . . для какогонибудь состоянія нагрузкіи, выводя ее изъ веревочного многоугольника, представляющаго линію моментовъ.

Направленіе стороны I выбирается сначала произвольнымъ. Съ помощью  $y_1$  и  $y_2$  опредѣляется направленіе стороны II, затѣмъ съ помощью  $y_1, y_2, y_3$  направление III и т. д. Ср. фиг. 360 д, которая получена путемъ послѣдовательнаго примѣненія способа, показаннаго на фиг. 358 с; дальнѣйшихъ разъясненій эта фигура не требуетъ.

\*) Вычисленіе  $w_6$  потребуется для опредѣленія вліянія усилія  $D_6$ .

Точки 1, 2, 3, . . . этой фигуры взяты другъ отъ друга на такомъ большомъ разстояніи, что многоугольники силъ  $U_{m-1}, U_m, U_{m+1}$  для соответствующихъ узловъ получаются вполнѣ отчетливыми.

**137.** Описанный способъ определенія линіи прогибовъ можетъ быть примѣненъ также просто и къ случаю вѣшнихъ силъ, произвольно направленныхъ, потому что примѣнение это требуетъ только определенія усилий съ помощью изгибающихъ моментовъ.

Такъ напр., когда имѣемъ решетку со стойками, фиг. 361, то изъ изгибающихъ моментовъ  $M^o$  и  $M^u$  относительно узловъ верхняго или нижняго пояса найдемъ слѣдующія количества въ самой общей формѣ \*).

$$(1) \quad O_m = -\frac{M^u_m}{h_m \cos \beta_m}; \quad U_m = +\frac{M^o_{m+1}}{h_{m-1} \cos \gamma_m} \quad \left. \begin{array}{l} \text{примѣнимы при ъзда} \\ \text{поверху и при ъзда} \\ \text{изъ} \end{array} \right\}$$

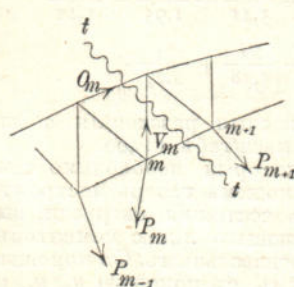
$$(2) \quad D_m \cos \varphi_m = \frac{M^o_m}{h_m} - \frac{M^o_{m-1}}{h_{m-1}} = \frac{M^u_m}{h_m} - \frac{M^u_{m-1}}{h_{m-1}}$$

$$(3) \quad V_m = \frac{M^o_{m-1}}{\lambda_m} - \frac{M^o_m h'_{m-1}}{\lambda_m h_m} \quad (\text{ъзда поверху}).$$

$$(4) \quad V_m = \frac{M^u_m h''_{m-1}}{\lambda_{m+1} h_m} - \frac{M^u_{m+1}}{\lambda_{m+1}} \quad (\text{ъзда изъ}).$$

Отрѣзки  $h'_{m-1}$  и  $h''_{m+1}$  опредѣляются съ помощью измѣненій длины стержней  $O_m$  и  $U_{m+1}$ . Изъ уравненій 1—4 получаемъ слѣ-

\*.) Эти уравненія, 1 до 3, были выведены нами на стр. 22 (выпускъ VIII). Въ данномъ исчислениі подъ  $H$  подразумѣвается равнодѣйствующая вѣшнихъ горизонтальныхъ силъ, приложенныхъ лѣвѣ сѣченія, проведенного черезъ решетку. Мы узнаемъ тогда, что рассматриваемыя уравненія могутъ быть примѣнены въ самомъ общемъ случаѣ. Уравненіе (4) получается такимъ же путемъ, какъ и уравн. (3). Мы приведемъ здѣсь еще одинъ способъ получения этого уравненія (4); проведемъ на фиг. 362 сѣченіе  $tt$  и приравняемъ нулю сумму моментовъ силъ, дѣйствующихъ вѣтво отъ  $tt$ , относительно нижняго узла ( $m+1$ ). Плечи  $O_m$  и  $V_m$  будутъ:  $h''_{m+1} \cos \beta_m$  и  $\lambda_{m+1}$ ; поэтому получимъ



Фиг. 362.

$$M^u_{m+1} + O_m h''_{m+1} \cos \beta_m + V_m \lambda_{m+1} = 0,$$

а отсюда, подставляя  $O_m \cos \beta_m = -M^u_m : h_m$ , найдемъ для  $V_m$  значеніе, опредѣляемое уравненіемъ (4). Подобнымъ же путемъ можемъ полу-

чить также уравненія 2 и 3. Термины „ъзда поверху“, „ъзда изъ“ означаютъ, что грузы  $P$  приложены или къ узламъ только верхняго или только нижняго пояса.

дующія выраженія измѣненій длины, служащія для опредѣленія вліянія ихъ на количества  $\Delta o_m$ ,  $\Delta u_m$ ,  $\Delta d_m$ ,  $\Delta h_m$ .

$$\left. \begin{array}{l} w_m = -\frac{\Delta o_m}{h_m \cos \beta_m}; \quad w_{m-1} = +\frac{\Delta u_m}{h_{m-1} \cos \gamma_m} \\ w = \frac{\Delta d_m}{h_m}; \quad w_{m-1} = -\frac{\Delta d_m}{h_{m+1}} \end{array} \right\} \text{Примѣнено для линіи прогибовъ верхняго и нижняго поясовъ.}$$

$$\left. \begin{array}{l} w_{m-1} = +\frac{\Delta h_m}{\lambda_m} \\ w_m = -\frac{\Delta h_m}{\lambda_m} \frac{h'_{m-1}}{h_m} \end{array} \right\} \text{Примѣнено только для линіи прогибовъ верхняго пояса.}$$

$$\left. \begin{array}{l} w_m = +\frac{\Delta h_m h''_{m+1}}{\lambda_{m+1} h_m} \\ w_{m+1} = -\frac{\Delta h_m}{\lambda_{m+1}} \end{array} \right\} \text{Примѣнено только для линіи прогибовъ нижняго пояса.}$$

Съ помощью этихъ уравненій мы можемъ выразить грузы  $w$  въ зависимости отъ моментовъ  $M^o$  и  $M^u$ .



## Литература ко II-му отдѣлу.

(ВЫПУСКИ VIII и IX)

**Mohr**, *Beitrag zur Theorie des Fachwerks*. Zeitschr. des Archit. u. Ing.-Ver. zu Hannover, 1874, стр. 509 и 1875 стр. 17. Основная работа, которая уже упоминалась въ литературѣ къ I отдѣлу.

**Fränkel**, *Anwendung der Theorie des augenblicklichen Drehpunktes auf die Bestimmung der Formänderung von Fachwerken* и т. д. Civilingenieur, 1875, стр. 121.

**Winkler**, *Beitrag zur Theorie der Bogenträger*. Zeitschr. des Archit. u. Ing.-Ver. zu Hannover, 1879, стр. 199.

**Mohr**, *Beitrag zur Theorie der Bogenfachwerkträger*. Zeitschr. des Archit. u. Ing.-Ver. zu Hannover, 1881, стр. 243.

**Müller-Breslau**, *Theorie der durch einen Balken versteiften Kette*. Zeitschr. des Archit. u. Ing.-Ver. zu Hannover, 1881, стр. 57 и 1883, стр. 347. Содержитъ впервые точную теорію этой системы.

**Müller-Breslau**, *Theorie des durch einen Balken verstärkten steifen Bogens*. Civilingenieur 1883, стр. 13. Отдѣльный оттискъ изданія Arthur Felix въ Лейпцигѣ.

**Müller-Breslau**, *Infuenzlinien für continuirliche Träger mit drei Stützpunkten*. Wochenschrift f. Archit. u. Ing. 1883, стр. 353.

- Müller-Breslau**, *Zur Theorie der Versteifung labiler und flexibler Bogenträger*. Zeitschr. f. Bauwesen, 1883, стр. 312.
- Swain**, *On the application of the principle of virtual velocities to the determination of the deflection and stresses of frames*. Journal of the Franklin Institute, 1883, Февр. до Апрѣля, стр. 102, 194, 250.
- Stelzel**, *Berechnung der Ferdinandsbrücke in Graz*. Находится въ сочинениі v. Gabriely и Winter'a, Ferdinandsbrücke in Graz, Mittheilungen des Polytechnischen Klubs in Graz, 1883.
- Müller-Breslau**, *Beitrag zur Theorie des durch einen Balken versteiften Bogens*. Zeitschr. f. Bauwesen, 1884, стр. 323.
- Krohn**, *Der Satz von der Gegenseitigkeit der Verschiebungen und Anwendung desselben zur Berechnung statisch unbestimmter Fachwerkträger*. Zeitschr. des Archit. u. Ing.-Ver. zu Hannover 1884, стр. 269. Примѣненіе теоремы Максюелля въ связи съ диаграммой перемѣщеній по Виллю.
- Müller-Breslau**, *Vereinfachung der Theorie der statisch unbestimmten Bogenträger*. Zeitschr. des Archit. u. Ing.-Ver. zu Hannover, 1884, стр. 575. Отдѣльный оттискъ изданъ у Schmorl и von Seefeld въ Ганноверѣ.
- Melan**, *Beitrag zur Berechnung statisch unbestimmter Stabsysteme*. Zeitschr. des österr. Archit. u. Ing.-Ver., 1884, стр. 100.
- Melan**, *Theorie der eisernen Bogenbrücken*, см. Handbuch der Ingenieurwissenschaften, II Band, IV Abtheilung, 1888.
- Land**, *Ueber die Ermittlung und die gegenseitigen Beziehungen der Einflusslinien für Träger*. Здѣсь между прочимъ показано опредѣленіе постоянныхъ точекъ неразрѣзной балки съ помощью линій прогибовъ (стр. 75, фиг. 333 этого выпуска). Предложенная нами на фиг. 182 (выпускъ VII) общая теорема выведена Land'омъ только для частнаго случая. Zeitsch. f. Bauwesen, 1890, стр. 165.
- Müller-Breslau**, *Ueber einige Aufgaben der Statik, welche auf Gleichungen der Clapeyronschen Art führen*. Содержитъ рѣшеніе уравненій  $\alpha_r M_{r-1} + \beta_r M_r + \dots + \alpha_{r+1} M_{r+1} = N_r$ , приведенное въ № 132 этого выпуска, а также и различныя примѣненія этого уравненія. Centralblatt d. Bauverwalt. 1891 Отдѣльный оттискъ у Ernst u. Sohn, Berlin \*).

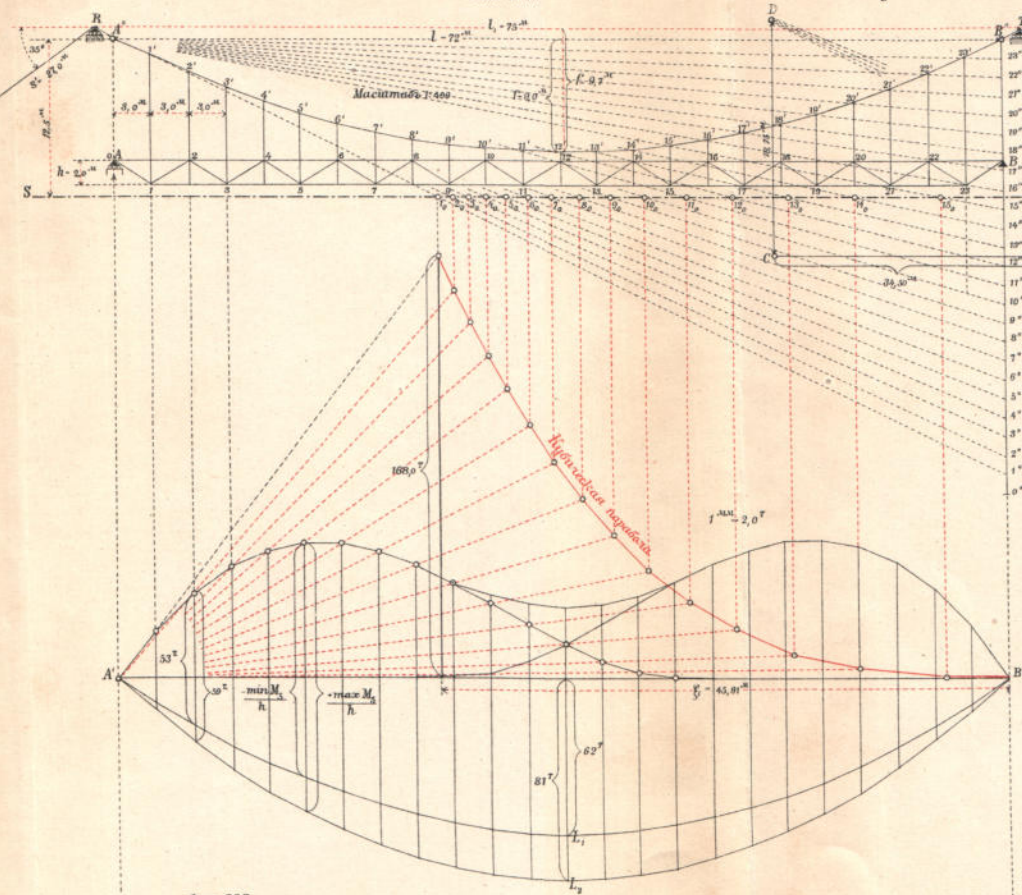
\*) См. также:

- Müller-Breslau**, *Ueber die Berechnung statisch unbestimmter Auslegerbrücken*, Centralblatt der Bauverwaltung, 1897 (въ русскомъ переводе Г. Кривошеина въ Извѣст. Собр. Инжен. Пут. Сообщ. 1898, № 8).
- Bruno Schulz**, *Ueber die Berechnung mehrfach statisch unbestimmter Systeme*, Zeitschr. f. Archit. u. Ing., 1898, Heft. II (въ русскомъ переводе Г. Кривошеина въ Извѣст. Собр. Инжен. Пут. Сообщ. 1898, № 10).
- Bruno Schulz**, *Ueber die Berechnung mehrfach statisch unbestimmter Systeme*, Zeitschr. f. Archit. u. Ing. 1898, Heft 2, 3.

Примѣч. перевод.

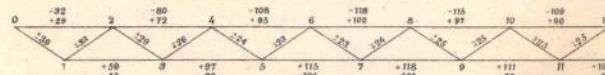
## Цынь, усиленная жесткой балкой (№103).

Фиг. 290.



Фиг. 293.

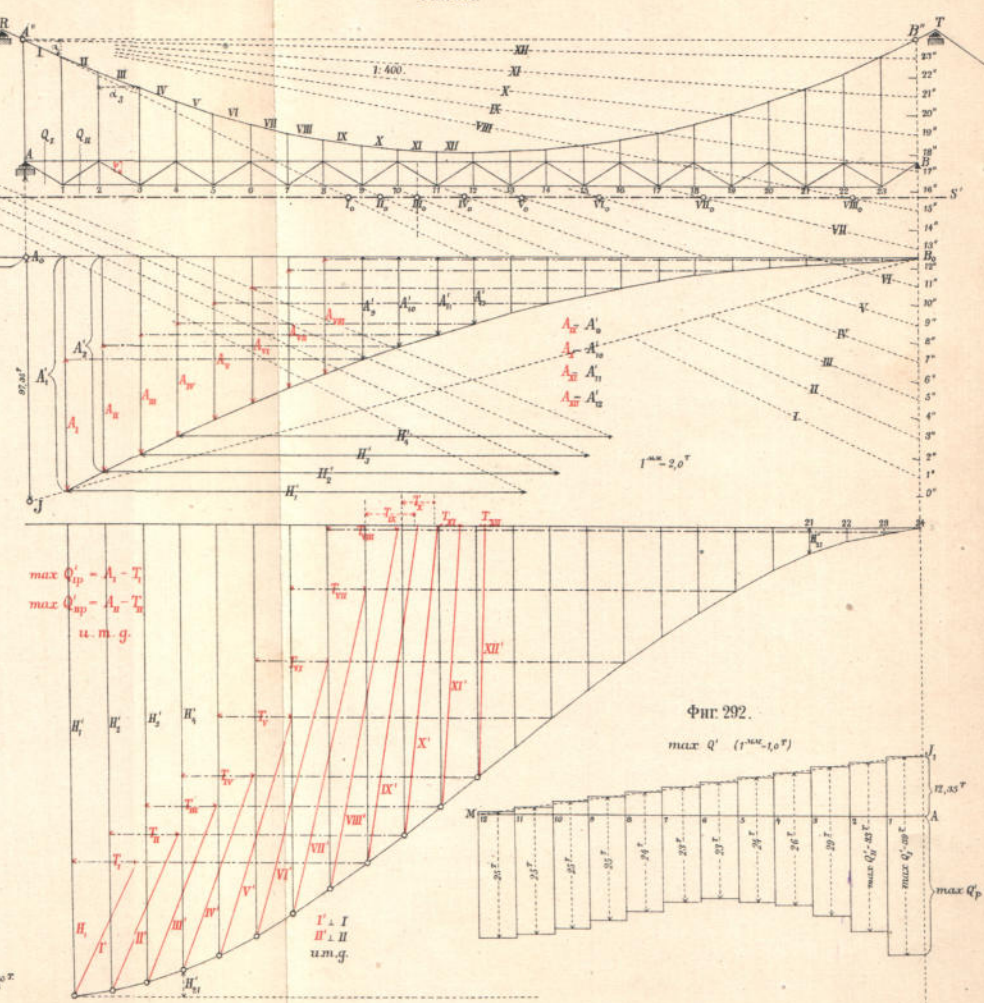
Напряжения въ тонахъ.



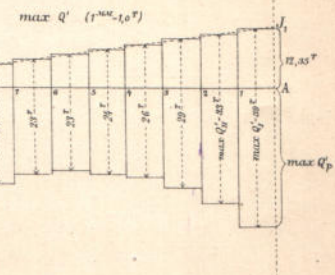
Масштаб силъ 1 км = 20 т.

ЛПТ. З. ГАУШТЕДЕРГ. С.Б.

Фиг. 291.



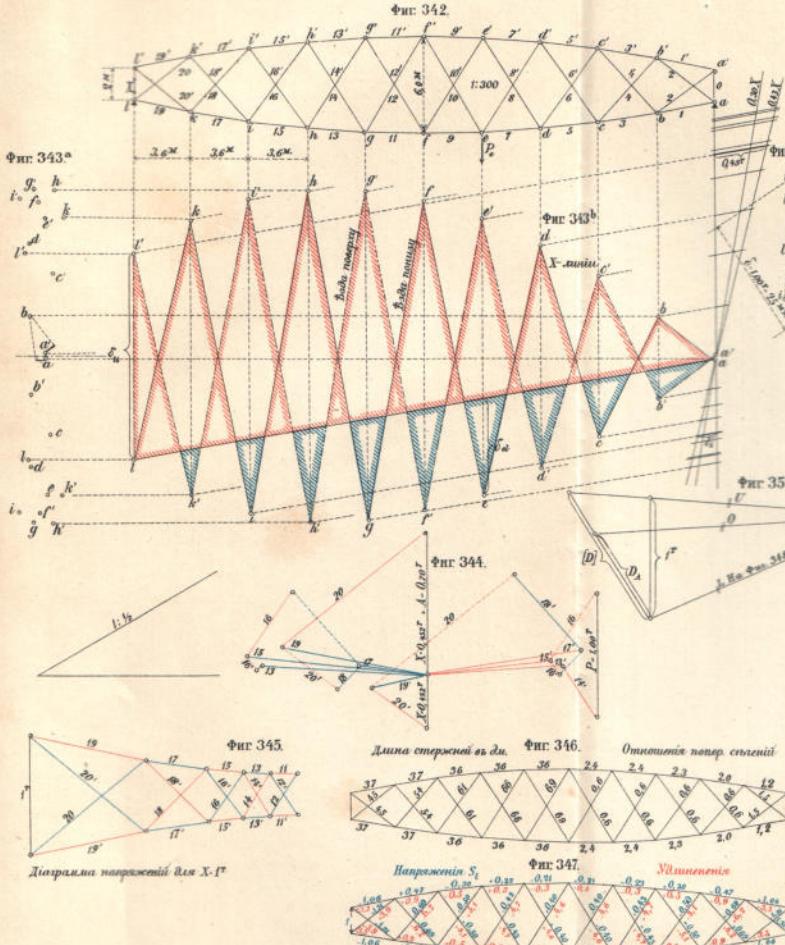
Фиг. 292.



Фиг. 290, 291 и 292.

Наданіе Инженера П.И.Казина.

## Желѣзодорожный мостъ со сложной рѣшеткой (N 134).





# ЦѣНА ПОЛНаго ИЗДАНІЯ

2 тома—10 выпусковъ, объемъ около 65 печатныхъ листовъ съ 1000 чертежами въ текстѣ и 16 литографированными таблицами)

по подпискѣ въ книжныхъ магазинахъ — **12** рублей.

---

Для гг. студентовъ техническихъ заведеній по подпискѣ у издателя—(С.-Петербургъ, Фонтанка 24, кв. 9)—  
**8** рублей.

---

За пересылку по вѣсу и разстоянію налагается платежъ.

---

Отдѣльные выпуски продаваться не будутъ.

Напечатаны слѣдующіе выпуски: I, II, III, IV, V (томъ I),  
VI, VII, VIII, IX (томъ II).

Послѣдній (дѣсятый) выпускъ выйдетъ въ сентябрѣ 1900 года.

